#### REPUBLIQUE ALGERIENNE DEMOCRATIQUE ET POPULAIRE

MINISTERE DE L'ENSEIGNEMENT SUPERIEUR ET DE LA RECHERCHE SCIENTIFIQUE

UNIVERSITE « Dr. TAHAR MOULAY » DE SAIDA FACULTE DES SCIENCES



## **MEMOIRE**

Présenté en vue de l'obtention du diplôme de

### **MASTER**

Spécialité: PHYSIQUE

**Option: Physique des rayonnements** 

Par

#### **BELGOUR Yamina**

Sur le thème

# Prédiction du spectre infrarouge de la bande $\nu_{12}$ – GS de la molécule $^{12}C_2H_4$

Soutenu le : 21/06/2018 devant le jury composé de :

BOUTALEB Habib.	M.C.B	U. Saida	Président
MESKINE Mohamed	M.C.A	U. Saida	Rapporteur
KHELFAOUI Friha	M.A.A	U. Saida	Examinateur
TEMMAR Fatma	M.A.A	U. Saida	Examinateur

Année Universitaire 2017 - 2018

# Remerciements

Avant tout je remercie **Allah** le tout puissant, de m'avoir guidées toutes ces années d'études et nous avoir données la volonté, la patience et le courage pour terminer notre travail.

Nous voudrons tout d'abord exprimer notre profonde reconnaissance à monsieur « MESKINE Mohamed » notre encadreur, qui à diriger notre travail; ses conseils et ses commentaires précieux nous ont permis de surmonter nos difficultés et de se progresser dans notre mémoire de fin d'étude. Un grand remerciement à Monsieur « Aber Abderrahim » pour son aide, son orientation et ses efforts.

En suite nous tenons à remercier **les membres du jury** Qui nous ont fait l'honneur d'accepter de lire ce mémoire et de l'évaluer.

Nous adressons aussi nos vifs remerciements à tous **nos enseignants (es).** 

Mercí pour tous les gens qui ont contribué de prés ou de loin dans la réalisation de ce travail.

 $\ensuremath{\mathcal{A}}$  nos collègues de la promotion de master : protection



Je dédie ce modeste travail:

A Ceux qui m'ont donné l'aide sans rien attendre en retour

A ceux qui m'ont encouragé et soutenu aux moments les plus difficiles

A mes chers parents qui ont toujours veillé à mon

bien être, pour leur soutien et leur sacrifice,

leur patience, leurs conseils, et leurs encouragements continus.

A toute la famille **Belgour** 

A mes frères : Mohamed, Tedj et Mourad

A mes sœurs : Soheiba, Hafidha et Hayat

A tous mes amís

A Tous mes professeurs
A toute la promo de Physique
A tous les étudiants en Physique

# Liste des tableaux

Tab I-1	Système d'axes et des plans de symétrie des groupes ponctuels	09
Tab I-2	Table de caractère d'un groupe $\mathbf{D_2h}$	15
Tab I-3	Table de caractère d'un groupe $\mathbf{D_2h}$	20
Tab I-4	Table de caractères (vibrations et rotations) du groupe $D_2h$	21
Tab I-5	Symétries des modes de vibrations des molécules du groupe $\mathbf{D_2h}$	22
Tab II-1	Coefficients de Stone	35
Tab II-2	Règles de sélection pour les opérateurs moment dipolaire et polarisabilité	37
Tab III-1	Les paramètres de l'Hamiltonien relatif à la bande $\nu_{12}$ de la molécule $^{12}C_2H_4$	46
Tab III-2	Prédiction du spectre des transitions rovibrationnelles de la bande $\nu_{12}$ de la molécule $^{12}C_2H_4$ pour Jmax=39	48

# Liste des figures

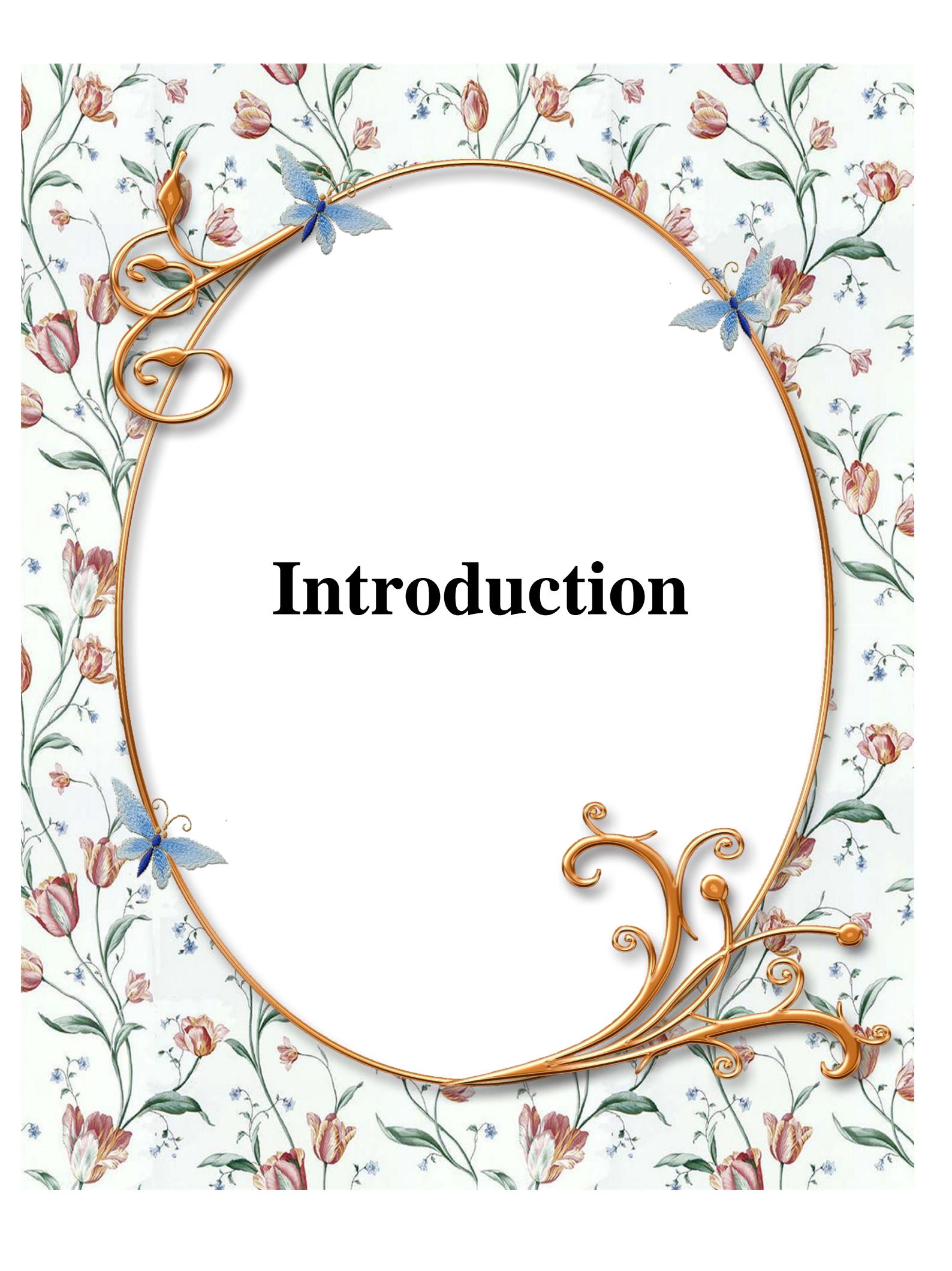
Fig I-1	L'effet de rotation de l'axe C <sub>2</sub>	04
Fig I-2	Effet de l'opération de symétrie plan	05
Fig I-3	Les plans $\sigma_d$	05
Fig I-4	Effet de l'opération d'inversion i sur la molécule de SF <sub>6</sub>	06
Fig I-5	Rotation impropre S <sub>4</sub>	06
Fig I-6	L'espace physique	09
Fig I-7	Représentation d'un l'espace physique	10
Fig I-8	Rotation propre autour $\overrightarrow{e_3}$	11
Fig I-9	Symétrie par rapport à plan contenant $\overrightarrow{e_3}$	11
Fig I-10	Symétrie par rapport à un plan perpendiculaire au $\overrightarrow{e_3}$	12
Fig I-11	Rotation impropre $S_n$	12
Fig I-12	Symétrie par rapporte un point i	13
Fig I-13	La molécule $C_2H_4$ dans le group $D_2h$	13
Fig I-14	Eléments de symétrie du groupe $D_2h$	15
Fig I-15	Valeurs relatives des diverses énergies moléculaires	23
Fig I-16	Diagramme des niveaux d'énergie	24
Fig I-17	Diagramme des niveaux d'énergie de la molécule en rotation	25
Fig III-1	L'onglet "Creat a job" dans XTDS	42
Fig III-2	Description schématique des répertoires de HTDS	43
Fig III-3	Description schématique de calcul du spectre.(pour le spectre Raman dipmod et dipmat sont remplacés par polmod et polmat respectivement)	44
Fig III-4	Spectre des transitions rovibrationnelles de la bande $\nu_{12}$ de la molécule $^{12}C_2H_4$ pour Jmax=39	47
Fig III-5	Diagramme des niveaux d'énergie rovibrationnels de la bande $\nu_{12}$ de la molécule $^{12}C_2H_4$ pour la valeur de Jmax=39	52

# **SOMMAIRE**

Dédicaces Remerciements Liste des tableaux Liste des figures Introduction

	`	1
•	1	
٠,		

nap	oitre I	Symétries moléculaires et théorie des représentations
[-1-	Introduction	
[-2-	Elément et c	pérations de symétrie
	I-2-1-	Symétrie moléculaire
	I-2-2-	
	I-2-3-	Les groupes ponctuels finis de symétrie
[-3-	Représentati	on des différentes symétries dans l'espace physique
	I-3-1-	Le groupe $D_2h$
	I-3-2-	Produit direct des représentations
[-4-	Détermination	on des modes normaux de vibrations des molécules XY <sub>6</sub>
[-5-		nergie
	I-5-1-	Vibration moléculaire
	I-5-2-	Rotation moléculaire
[-6-	Activité des	fréquences fondamentales
	I-6-1-	Spectre infrarouge
	I-6-2-	Spectre Raman
Chap	oitre II	Formalisme tensoriel pour le groupe D2h
II-1-	Hamiltonie	n Moléculaire
	II-1-1-	Operateurs rovibrationnels
	II-1-2-	Hamiltonien initial et base couplée
	II-1-3-	Hamiltonien transformé effectif et base propre
	II-1-4-	Eléments matriciels et règles de sélection
[I-2-		le transition
	II-2-1-	Moments de transition initiaux
	II-2-2-	Moments de transition findadx  Moments de transition transformés
	II-2-2- II-2-3-	Eléments matriciels et règles de sélection
II-3-	_	es transitions
11-3-	II-3-1-	Généralités
	II-3-1- II-3-2-	Intensités dipolaires électriques et Raman
Char	oitre III	
Cnap		Spectre infrarouge de la bande $\nu_{12}$ de la molécule $^{12}$
III-1-		n
III-2-	_	n de logiciel XTDS
III-3-		n de D2hTDS
III-4-	Calcul des III-4-1-	transitions rovibrationnelles de la $v_{12}$ de la molécule $^{12}C_2H_4$ Introduction
	III-4-1- III-4-2-	Développement de l'Hamiltonien
III-5-		x d'énergies réduits
Concl	usion généra	ıle



#### Introduction

La spectroscopie moléculaire joue un rôle de plus en plus important et ce rôle ne fera que progresser dans l'identification des composants minoritaires et des atmosphères planétaires.

Pour les spectroscopistes, il est nécessaire de découvrir des méthodes faciles à appliquer, et qui permettent d'interpréter les résultats expérimentaux (spectres, propriétés physiques, ...), et d'en tirer des informations sur la structure des molécules. C'est ici que la théorie des groupes joue un rôle primordial, elle fournit à l'expérimentateur un outil pour interpréter et expliquer ses résultats expérimentaux, et au théoricien un guide indispensable pour affronter le problème complexe de corrélation des résultats expérimentaux avec la structure moléculaire. [1]

Un des enjeux industriels majeurs est la réduction des rejets de substances polluantes dans le milieu naturel, et notamment de gaz à effet de serre dans l'atmosphère. Afin de préserver l'environnement de ces effluents, la récupération et le recyclage de ces substances peuvent être mises en œuvre grâce aux solides microporeux de type zéolithes sur lesquelles elles vont s'adsorber, En effet, leur structure cristalline comporte des cavités capables de capturer les molécules polluantes.

Le Laboratoire de Physique de l'Université de Bourgogne travaille depuis longtemps sur la spectroscopie des molécules toupies sphériques (groupes  $T_d$  [2] et  $O_h$ [3]). Les études de spectres menées à Dijon utilisent la théorie des groupes et le calcul algébrique tensoriel. Ces méthodes ont été récemment appliquées à des molécules de symétrie différente ( $C_{4v}$ [4]  $C_{3v}$ [5]  $C_{2v}$ [6]). Des logiciels informatiques TDS (Top Data System) ont été mis au point pour étudier les spectres de molécules de symétrie  $T_d$  (STDS [7]),  $O_h$ (HTDS [8]),  $C_{4v}$  ( $C_{4v}$  TDS [9]),  $C_{2v}$  ( $C_{2v}$  TDS [10]). Ces outils informatiques sont utilisés pour le calcul des spectres à haute résolution et l'ajustement des paramètres du modèle.

L'intérêt que suscite la spectroscopie de d'éthylène n'est pas limité à l'étude des zéolithes. Des spectres de cette molécule ont été enregistrés et analysés par différents auteur pour certains domaines de nombres d'onde ou certaines bandes vibrationnelles. On peut donner à titre d'exemple la bande  $v_{12}$  de d'éthylène naturel [11] et celle de d'éthylène isotopique  $(C_2H_4)$  [12]. D'une manière générale, il y a un besoin d'explorer plus en détails la spectroscopie haute résolution de d'éthylène, étant donné son interêt croissant dans diverses études : fondamentales [13], atmosphériques [14], industrielles [15,16] ou encore en astrophysique [17,18]. Par exemple, d'éthylène rentre dans la synthèse de plastiques, de fibres. C'est également un agent et un produit de la maturation des fruits [19]. Il est un polluant pour l'atmosphère terrestre [20] et se trouve dans les atmosphères des planètes géantes gazeuses [21,22], ainsi qu'au sein des nuages circumstellaires [23,24].

Des études sur l'effet Stark ont déjà été effectuées à Dijon pour les molécules toupies sphériques, de groupes  $T_d$  [25] et  $O_h$  [2]. Une méthode générale pour les toupies symétriques a été présentée par Tanaka dans la Référence [26] Le méthode le plus utilisé pour les toupies asymétriques [27] consiste dans une correction aux énergies au second ordre de la théorie des perturbations. De tels calculs ont été utilisés par Chen et Oka [28] dans l'analyse de transitions de la bande  $v_7$  de l'éthylène.

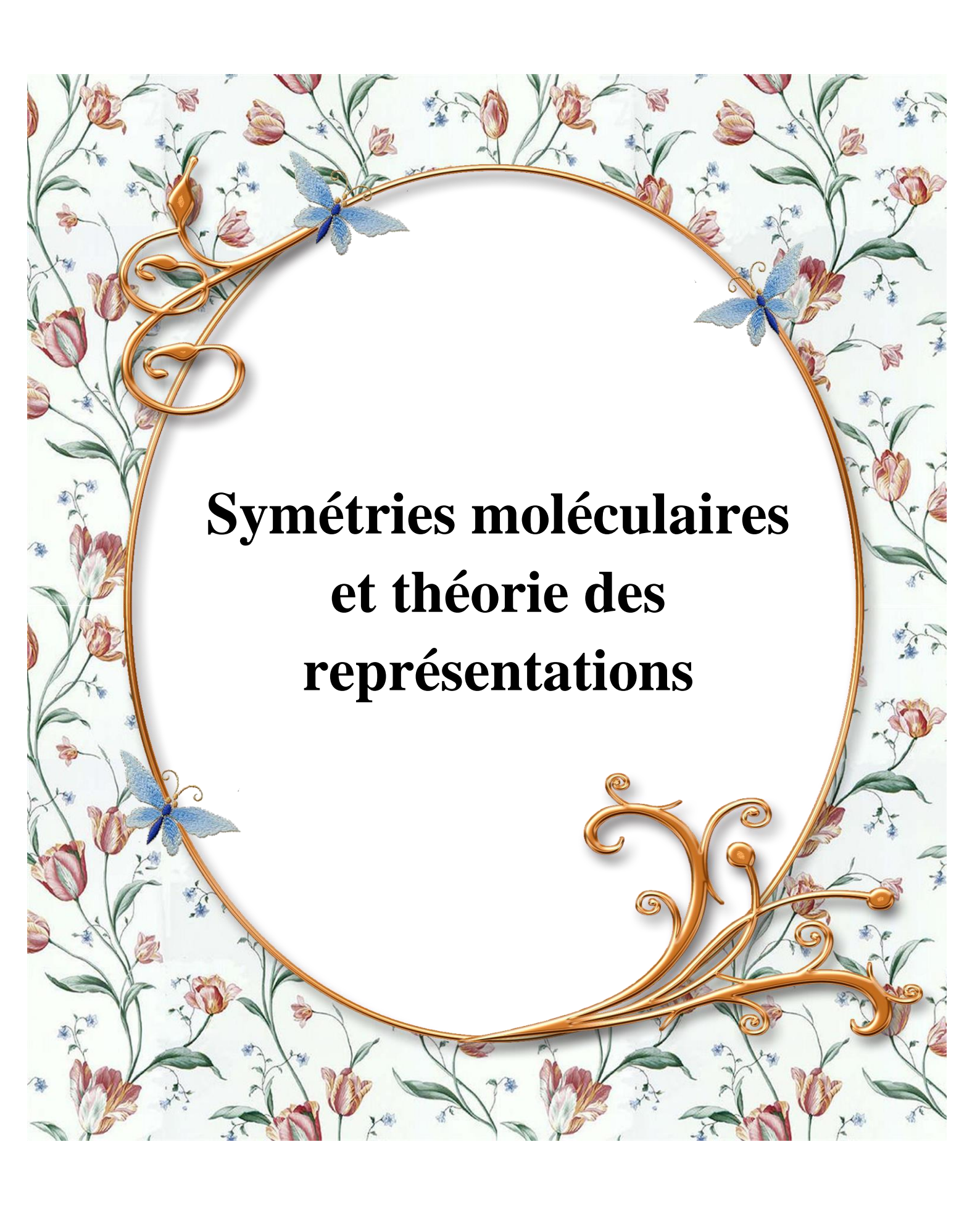
Des expériences et simulation (par dynamique moléculaire ou calculs *ab initio*) ont été faites sur les molécules de méthane [29] et d'éthylène [30-32] absorbées dans des zéolithes. Il existe un effet Stark très important du fait de ces structures cristallines. Les modifications affectant les spectres des molécules absorbées ont déjà fait l'objet de travaux par Cohen de Lara (pour le méthane) [33-37].

Un formalisme tensoriel adapté au cas des molécules de type  $X_2Y_4$  a été développes [38], appartenant au groupe de symétrie  $D_{2h}$  Sur le même principe que l'autre logiciel TDS, nous avons mis au point le logiciel  $D_{2h}$  TDS [39] qui permet, en particulier, de traiter le cas des molécules isolées de type  $X_2Y_4$ . Une fois le modèle Stark développé, nous avons complété la suite de programmes  $D_{2h}$  TDS [40] dans le but calculer les spectres pour tout amplitude de champ électrique

Afin de tester notre modèle et notre logiciel  $D_{2h}$  TDS, nous avons analysé des spectres infrarouges de l'éthylène enregistrés. L'ajustement des données expérimentales a permis de déterminer des paramètres de L'Hamiltonien et des moments de transition. Le spectre de la molécule étant connu avec précision.

#### Ce mémoire est divisé comme suit :

- Le premier chapitre et vu l'importance des notions de base de la spectroscopie moléculaire, nous avons tenu à rappeler les notions essentielles sur la théorie des groupes, et de déterminer les symétries des modes de vibrations des molécules  $X_2Y_4$ .
- Le Deuxième chapitre, sera consacré au développement complet de l'Hamiltonien et du moment dipolaire des molécules X<sub>2</sub>Y<sub>4</sub>.
- $\triangleright$  Le Troisième chapitre présente les différents programmes infrarouge qui forment le logiciel  $D_{2h}$ TDS et permettent le calcul et l'analyse de spectres haute résolution. Nous allons aussi donner nos résultats obtenus avec discussion.
- Nous terminerons ce travail avec une conclusion et des perspectives.



#### I) Symétries moléculaires et théorie des représentations

#### I-1- Introduction

L'étude des symétries d'une molécule est fondée sur l'étude de son infrastructure géométrique constituée par les noyaux de ses atomes (atomes supposés occuper des positions fixe dans l'espace) la molécule peut contenir des noyaux identique et occupant, dans l'infrastructure des positions équivalentes du point de vue physique. Dans la théorie de la, nous considérerons, parmi les permutations de noyaux identiques et physiquement équivalents, la permutation obtenues par des rotations de l'infrastructure considérée comme un solide indéformable, ou par des symétries par rapport à un plan (on obtient alors l'image dans un miroir de l'infrastructure), ou encore par des combinaisons de ces deux type de transformation

Nous appellerons symétries toutes ces transformations : l'effet d'une symétrie sur une molécule est d'amener l'infrastructure moléculaire dans une position tell que l'infrastructure coïncide exactement avec sa position initiale et que ses deux positions soient physiquement indiscernables

Les *symétries* n'ont aucun effet sur les propriétés physiques de la *molécule*, toutes les applications de la théorie de la symétrie moléculaire découlent de cette remarque et de ses conséquences

Notre première tâche sera de décrire les diverses sortes de symétrie que Prut posséder une molécule, Il en existe en tout cinq sortes différentes, elles seront étudiée ci-dessous.

#### I-2- Eléments et opérations de symétrie

#### I-2-1- Symétrie moléculaire

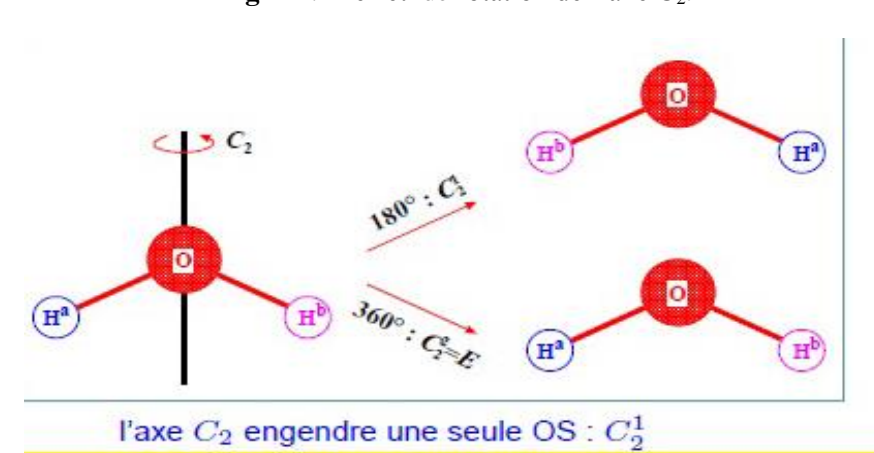
L'élément de symétrie est l'objet par rapport à quel on effectue une opération de symétrie, cet élément peut être une droit, un plan ou un point, l'élément de symétrie par rapport auquel la rotation a été effectué est une droit perpendiculaire au plan de l'objet au point, Chaque élément de symétrie est associée une ou plusieurs opération de symétrie. [1-41]

Jusqu'à maintenant on a parlé de la symétrie dans le cas général (symétrie des objets), cette rotation est aussi empotée par les chimistes et les physiciens sur les molécules. C'est ce qu'on appelle la symétrie moléculaire .cette dernière, nous fournit une méthode formelle pour la description de la géométrie des molécules et aussi pour étudier quelques propriétés chimique surtout la spectroscopie moléculaire. Les éléments et les opérations de symétrie des molécules sont classés leurs forme.

#### I-2-2- Les opérations de symétrie

- a) L'identité : L'identité E est une opération de symétrie qui consiste à ne rien faire à la molécule. Ainsi, chaque atome reste dans sa position de symétrie
- **b) Axe propres de rotation Cn :** Un axe propre de symétrie est une droit autour de quelle on effectue une rotation propre de symétrie.

La molécule d'eau possède une structure plane, les deux hydrogène et l'oxygène appartiennent au même plan, une rotation propre de  $\alpha$ =180 autour de l'axe bissecteur de l'angle  $H_1$ -O- $H_2$  laisse la molécule inchangée .cette rotation est associée à l'axe propre de rotation  $C_2$  d'ordre  $n=2\pi/2=2\pi/\pi=2$ 



**Fig I-1**: L'effet de rotation de l'axe  $C_2$ .

#### c) Plans de symétries $\sigma$ :

Il existe trois types de plan de symétrie selon son positionnement par rapport à l'axe principal :

- **Plan**  $\sigma_h$ : Le plan de symétrie est noté  $\sigma_h$  s'il est perpendiculaire à l'axe principal.la lettre "h" en indice signifie horizontal
- Plan σv : Le plan de symétrie est noté  $\sigma_v$  s'il contient l'axe principal, la lettre "v" en indice signifie vertical.

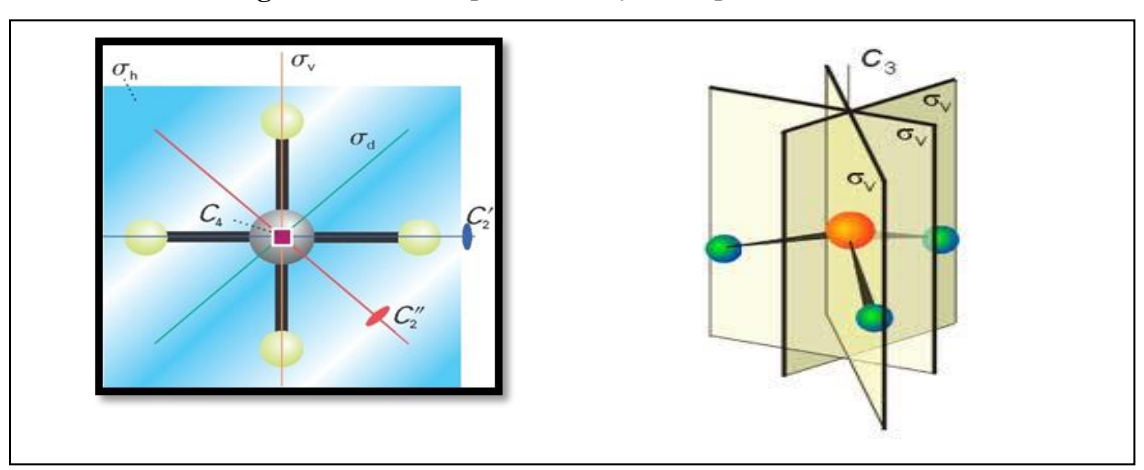
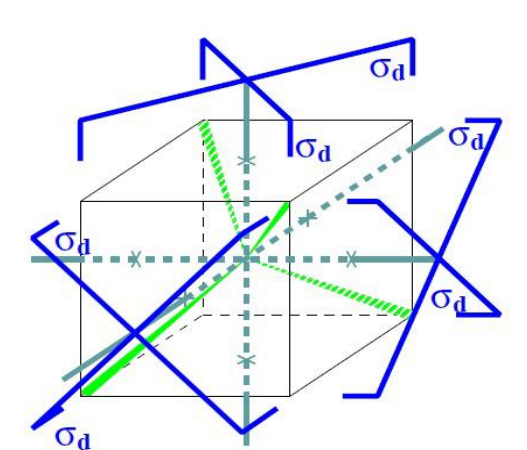


Fig I-2: Effet de l'opération de symétrie plan.

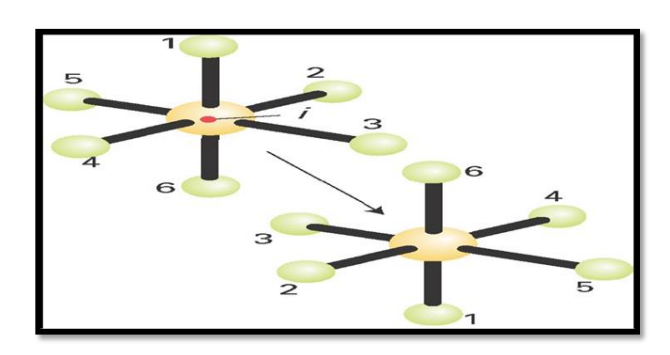
▶ *Plan*  $\sigma_d$ : Le plan de symétrie est note  $\sigma_d$  s'il contient l'axe principal et au même temps il est bissecteur d'un angle formé par deux axes  $C_2$ , la Lattre "d" en indice signifie diagonal.



**Figure I-3**: Les plans  $\sigma_d$ 

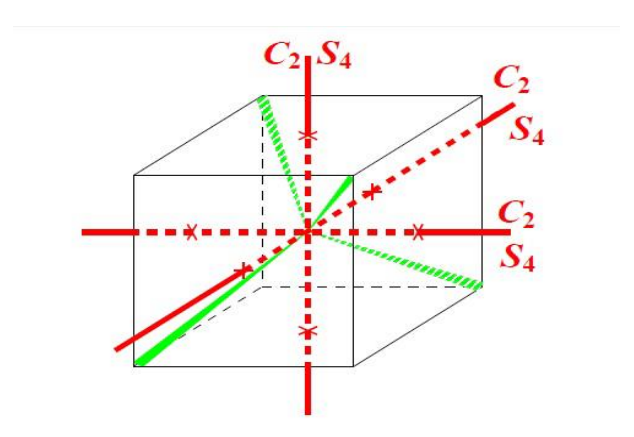
**d)** Centre d'inversion « i » :L'opération de symétrie associée à un centre d'inversion consiste à faire une réflexion par rapport à un point, est noté par la Lattre " i "

Fig I-4 : Effet de l'opération d'inversion i sur la molécule de SF<sub>6</sub>



e) Axe de rotation impropre Sn: Rotation impropre  $2\pi/4$  ou  $6\pi/4$  auteur d'axe S<sub>4</sub> sont orientes dans les directions des axes X, Y, Z.

**Figure 1-5**: Rotation impropre S<sub>4</sub>



#### I-2-3- Les groupes ponctuels finis de symétrie

Tous les axes et les plans de symétrie d'une molécule doivent avoir au moins un point commun, si toutes les transformations d'un groupe de symétrie d'une molécule conservent inchangé au moins un point, les groupe de symétrie des molécules sont appelés groupe ponctuels de symétrie.

Une molécule ne peut possède tous les éléments de symétrie, aussi on groupe les molécules possédant les mêmes éléments de symétrie, et on les classe par rapport à ces éléments : [42]

#### • Les groupes C:

- ✓ C₁: Contient seulement l'identité.
- ✓ C<sub>i</sub>: Contient l'identité et un centre d'inversion.
- ✓ Cs : Contient l'identité et un plan de réflexion.
- ✓ C<sub>n</sub>: Contient l'identité et un axe de rotation d'ordre n.
- ✓  $C_{nv}$ : Contient l'identité, une rotation d'ordre n et n miroirs  $\sigma_{v}$ .
- ✓  $C_{nh}$ : Contient l'identité, un axe de rotation d'ordre n et 1 miroirs  $\sigma_{h}$ .

#### • Les groupes D :

- ✓  $\mathbf{D_n}$ : Contient l'identité, un axe de rotation d'ordre n et n axes d'ordre 2
- ✓  $\mathbf{D}_{nh}$ : Comme  $D_n$  avec en plus un miroir  $\sigma_h$
- ✓  $\mathbf{D}_{nd}$ : Comme  $\mathbf{D}_n$  avec en plus n miroirs  $\sigma_d$

#### • Les groupes Sn :

Seulement un axe impropre  $S_n$  ces groupes n'est utilisé que pour n pair, car pour n impair ils se ramènent à d'autres groupes.

- ✓  $S_2$ : équivalent à i est noté C  $_i$  Ex : cl Br. HC-CH Br. cl
- ✓  $S_4$ : implique  $C_2$
- ✓  $S_6$ : implique  $C_3$  et i

Les groupe suivants sont les groupe cubiques qui contiennent plusieurs axes principaux .ils sont séparé en groupes **tétraédriques** et **octaédriques**.

#### • Les groupes T :

Ce sont les groupes tétraédriques qui font partie des groupes cubiques, les groupe tétraédrique se subdivisent en traies groupes :

- ✓ <u>Les groupes T</u>: comme Td mais sans plans
- ✓ <u>Les groupes</u>  $T_d$ : contient tous les éléments de symétrie d'un **tétraèdre** régulier : 4 axes d'ordre 3,3 d'ordre 2,  $6\sigma_d$  et 3axes impropre d'ordres 4

Exemple: NH4, CH4

✓ <u>Le groupe</u>  $T_h$ : si ou ajoute à la symétrie  $T_d$  un centre d'inversion i, ou obtient les groupe  $T_h$  Ex aucune molécule connue à ce jour.

#### • Les groupes O:

Ces groupes appartiennent également au groupe cubique et se subdivisent en deux groupes.

- ✓ <u>le groupe O</u>: Les éléments de symétrie sont : 3C<sub>4</sub> mutuellement perpendiculaires plus 4C<sub>3</sub> respectivement de même orientation que le C<sub>2</sub> et le C<sub>3</sub> du tétraèdre .En conséquence le groupe O possède aussi 6C<sub>2</sub> en plus des C<sub>2</sub> coïncidant avec les C<sub>4</sub>.Ce groupe est moins symétrique que l'octaèdre régulier.
- ✓ <u>Le groupe O<sub>h</sub></u>: Contient tous les éléments de symétrie d'un **octaèdre** régulier : 6 axes d'ordre 4,8 d'ordres 3,6 d'ordres 2, 8axes impropre d'ordres 6, 6d'ordre 4, 3σ<sub>d</sub> ,6σ<sub>d</sub> et un centre d'inversion. [43]

Cs	Plan de symétrie
Ci	Centre de symétrie
C <sub>n</sub>	Axe de symétrie d'ordre n
S <sub>2n</sub>	Axe de symétrie impropre d'ordre 2n
C <sub>nh</sub>	Axe de symétrie d'ordre n + plan horizontal
C <sub>nv</sub>	Axe de symétrie d'ordre n + n plans verticaux
D <sub>n</sub>	Axe de symétrie d'ordre n + n axes horizontaux d'ordre 2
D <sub>nh</sub>	Axe de symétrie d'ordre n + n axes horizontaux d'ordre 2 + un plan horizontal + n plans verticaux contenant les axes d'ordre 2
D <sub>nd</sub>	Axe de symétrie d'ordre n + n axes horizontaux d'ordre 2 + n plans verticaux bissecteurs des angles formés par les axes horizontaux d'ordre 2
$T_d$	Tétraèdre
O <sub>h</sub>	Octaèdre ou cube

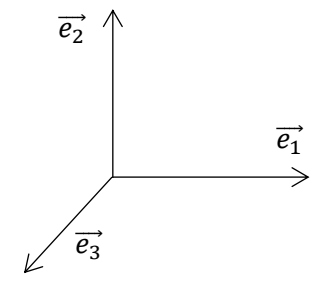
**Tab I-1:** Système d'axes et des plans de symétrie des groupes ponctuels.

#### I-3- Représentation des différentes symétries dans l'espace physique :

Soit R une symétrie de la molécule :

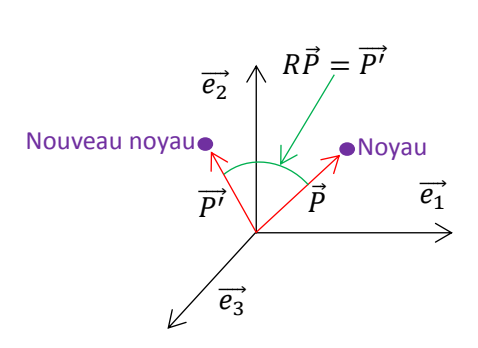
$$\begin{cases} R\vec{e_1} = r_{11}\vec{e_1} + r_{21}\vec{e_2} + r_{31}\vec{e_3} \\ R\vec{e_2} = r_{12}\vec{e_1} + r_{22}\vec{e_2} + r_{32}\vec{e_3} \\ R\vec{e_3} = r_{13}\vec{e_1} + r_{23}\vec{e_2} + r_{33}\vec{e_3} \end{cases}$$
(I.1)

Fig I-6: L'espace physique



$$\begin{cases}
\vec{P} = x_1 \vec{e_1} + x_2 \vec{e_2} + x_3 \vec{e_3} \\
R\vec{P} = \vec{P'} = x_1' \vec{e_1} + x_2' \vec{e_2} + x_3' \vec{e_3} \\
R(x_1 \vec{e_1} + x_2 \vec{e_2} + x_3 \vec{e_3}) = \vec{P'}
\end{cases}$$
(I.2)

Fig I-7: Représentation d'un l'espace physique



$$x_1 R \overrightarrow{e_1} + x_2 R \overrightarrow{e_2} + x_3 R \overrightarrow{e_3} = x_1' \overrightarrow{e_1} + x_2' \overrightarrow{e_2} + x_3' \overrightarrow{e_3}$$
 (I.3)

$$x_{1}(r_{11}\overrightarrow{e_{1}} + r_{21}\overrightarrow{e_{2}} + r_{31}\overrightarrow{e_{3}}) + x_{2}(r_{12}\overrightarrow{e_{1}} + r_{22}\overrightarrow{e_{2}} + r_{32}\overrightarrow{e_{3}}) + x_{3}(r_{13}\overrightarrow{e_{1}} + r_{23}\overrightarrow{e_{2}} + r_{33}\overrightarrow{e_{3}})$$

$$= x_1' \overrightarrow{e_1} + x_2' \overrightarrow{e_2} + x_3' \overrightarrow{e_3}$$

$$(I.4)$$

$$(r_{11}x_1 + r_{12}x_2 + r_{13}x_3) \overrightarrow{e_1} + (r_{21}x_1 + r_{22}x_2 + r_{23}x_3) \overrightarrow{e_2} + (r_{31}x_1 + r_{32}x_2 + r_{33}x_3) \overrightarrow{e_3}$$

$$= x_1' \overrightarrow{e_1} + x_2' \overrightarrow{e_2} + x_3' \overrightarrow{e_3}$$
 (I.5)

$$\begin{cases}
x'_1 = r_{11}x_1 + r_{12}x_2 + r_{13}x_3 \\
x'_2 = r_{21}x_1 + r_{22}x_2 + r_{23}x_3 \\
x'_3 = r_{31}x_1 + r_{32}x_2 + r_{33}x_3
\end{cases}
\Rightarrow
R = \begin{pmatrix}
r_{11} & r_{12} & r_{13} \\
r_{21} & r_{22} & r_{23} \\
r_{31} & r_{32} & r_{33}
\end{pmatrix}$$
(I.6)

✓ L'identité R = E:

$$E\overrightarrow{e_1} = 1\overrightarrow{e_1} + 0\overrightarrow{e_2} + 0\overrightarrow{e_3}$$
 (I.7)

$$E\overrightarrow{e_2} = 0\overrightarrow{e_1} + 1\overrightarrow{e_2} + 0\overrightarrow{e_3} \qquad \Rightarrow \qquad E = \begin{pmatrix} 1 & 0 & 0 \\ 0 & 1 & 0 \\ 0 & 0 & 1 \end{pmatrix}$$
 (I.8)

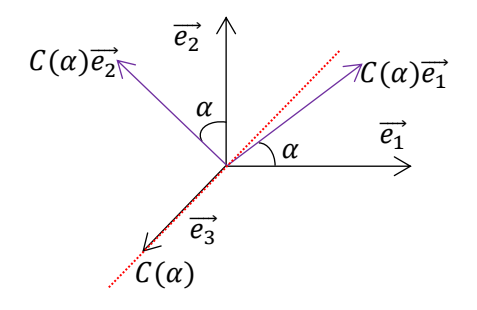
$$E\overrightarrow{e_3} = 0\overrightarrow{e_1} + 0\overrightarrow{e_2} + 1\overrightarrow{e_3}$$
 (1.9)

## **V** Rotation propre autour de $\overrightarrow{e_3}$ :

$$\begin{cases} C(\alpha)\overrightarrow{e_1} = \cos(\alpha)\overrightarrow{e_1} + \sin(\alpha)\overrightarrow{e_2} + 0\overrightarrow{e_3} \\ C(\alpha)\overrightarrow{e_2} = -\sin(\alpha)\overrightarrow{e_1} + \cos(\alpha)\overrightarrow{e_2} + 0\overrightarrow{e_3} \\ C(\alpha)\overrightarrow{e_3} = 0\overrightarrow{e_1} + 0\overrightarrow{e_2} + 1\overrightarrow{e_3} \end{cases}$$
(I.10)

$$C(\alpha) = \begin{pmatrix} \cos(\alpha) & -\sin(\alpha) & 0\\ \sin(\alpha) & \cos(\alpha) & 0\\ 0 & 0 & 1 \end{pmatrix}$$
 (I.11)

**Fig I-8**: Rotation propre autour  $\overrightarrow{e_3}$ 

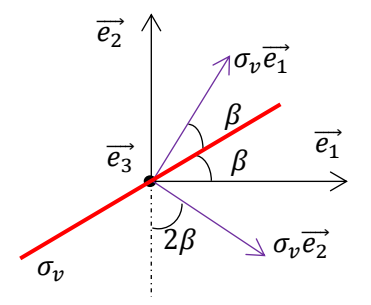


#### ✓ Symétrie par rapport à un plan contenant $\overrightarrow{e_3}$ :

$$\begin{cases}
\sigma_{v}\overrightarrow{e_{1}} = \cos(2\beta)\overrightarrow{e_{1}} + \sin(2\beta)\overrightarrow{e_{2}} + 0\overrightarrow{e_{3}} \\
\sigma_{v}\overrightarrow{e_{2}} = \sin(2\beta)\overrightarrow{e_{1}} - \cos(2\beta)\overrightarrow{e_{2}} + 0\overrightarrow{e_{3}} \\
\sigma_{v}\overrightarrow{e_{3}} = 0\overrightarrow{e_{1}} + 0\overrightarrow{e_{2}} + 1\overrightarrow{e_{3}}
\end{cases}$$
(I.12)

$$\sigma_{v}(\beta) = \begin{pmatrix} \cos(2\beta) & \sin(2\beta) & 0\\ \sin(2\beta) & -\cos(2\beta) & 0\\ 0 & 0 & 1 \end{pmatrix}$$
 (I.13)

Fig I-9: Symétrie par rapport à plan contenant  $\overrightarrow{e_3}$ 

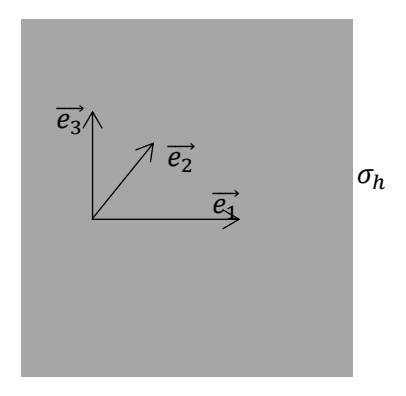


#### ✓ Symétrie par rapport à un plan perpendiculaire au $\overrightarrow{e_3}$ :

$$\begin{cases}
\sigma_{h}\overrightarrow{e_{1}} = 1\overrightarrow{e_{1}} + 0\overrightarrow{e_{2}} + 0\overrightarrow{e_{3}} \\
\sigma_{h}\overrightarrow{e_{2}} = 0\overrightarrow{e_{1}} + 1\overrightarrow{e_{2}} + 0\overrightarrow{e_{3}} \\
\sigma_{h}\overrightarrow{e_{3}} = 0\overrightarrow{e_{1}} + 0\overrightarrow{e_{2}} - 1\overrightarrow{e_{3}}
\end{cases}$$
(I.14)

$$\sigma_h = \begin{pmatrix} 1 & 0 & 0 \\ 0 & 1 & 0 \\ 0 & 0 & -1 \end{pmatrix} \tag{I.15}$$

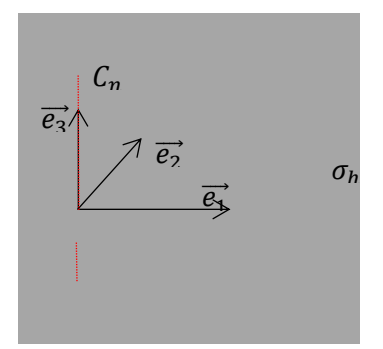
Fig I-10 : Symétrie par rapport à un plan perpendiculaire au  $\overrightarrow{e_3}$ 



#### ✓ Rotation impropre $S_n$ :

$$S_n = \begin{pmatrix} \cos(\alpha) & -\sin(\alpha) & 0\\ \sin(\alpha) & \cos(\alpha) & 0\\ 0 & 0 & -1 \end{pmatrix}$$
 (I.16)

**Fig I-11**: Rotation impropre  $S_n$ 

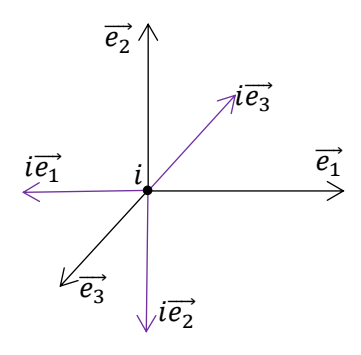


#### ✓ Symétrie par rapport à un point i:

$$\begin{cases} i\overrightarrow{e_1} = -1\overrightarrow{e_1} + 0\overrightarrow{e_2} + 0\overrightarrow{e_3} \\ i\overrightarrow{e_2} = 0\overrightarrow{e_1} - 1\overrightarrow{e_2} + 0\overrightarrow{e_3} \\ i\overrightarrow{e_3} = 0\overrightarrow{e_1} + 0\overrightarrow{e_2} - 1\overrightarrow{e_3} \end{cases}$$
(I.17)

$$\mathbf{i} = \begin{pmatrix} -1 & 0 & 0 \\ 0 & -1 & 0 \\ 0 & 0 & -1 \end{pmatrix} \tag{I.18}$$

Fig I-12 : Symétrie par rapporte un point i



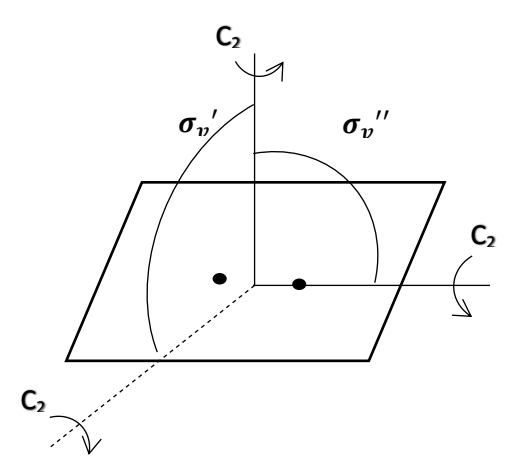
#### 1-3-1- Le groupe $D_2h$

#### ✓ Le groupe $D_n h$ :

Si le plan passant par  $\mathcal{C}_2'$  est un plan de symétrie donc, on montre que les n plan verticaux passant chacun par  $\mathcal{C}_n$  et l'un de  $\mathcal{C}_2'$  son plan vertical de symétrique

 $Ex : D_2h(C_2H_4)$ 

Fig I-13 : La molécule  $C_2H_4$  dans le group  $D_2h$ 



#### ✓ Le groupe de symétrie $D_2h$ :

L'éthylène est une molécule plane de type  $X_2Y_4$  et a pour groupe de symétrie le groupe  $D_2h$ . Le groupe  $D_nh$  est le groupe de symétrie de prisme régulier à base n-gonale. Ce groupe contient les groupes  $D_n$  et  $C_i$  comme sous-groupes et peut être obtenu par produit direct :

$$D_2 h = D_n \otimes C_i \tag{I.19}$$

où

$$D_2 h = D_2 \otimes C_i \tag{I.20}$$

pour le cas n = 2. Le groupe  $D_2$  possède les quatre éléments de symétrie suivants:

$$E, C_2(x), C_2(y), C_2(z),$$

où E est l'identité,  $C_2(i)$  (i = x, y, z) sont les axes de symétrie du deuxième ordre. Un axe de symétrie d'ordre n est un axe tel qu'une rotation de  $2\pi/n$  ramène le milieu sur lui-même. Donc, la rotation du système de symétrie  $D_2$  autour les axes x, y et z sur l'angle  $\pi$  ramène ce système à la situation initiale.

Le groupe  $C_i$  est le groupe de l'inversion :

$$\{E,I\},$$

où *E* est l'identité et I est l'inversion.

Nous obtenons les huit éléments de symétrie du groupe  $D_2h$  par produit des éléments de ces sous-groupes sachant que

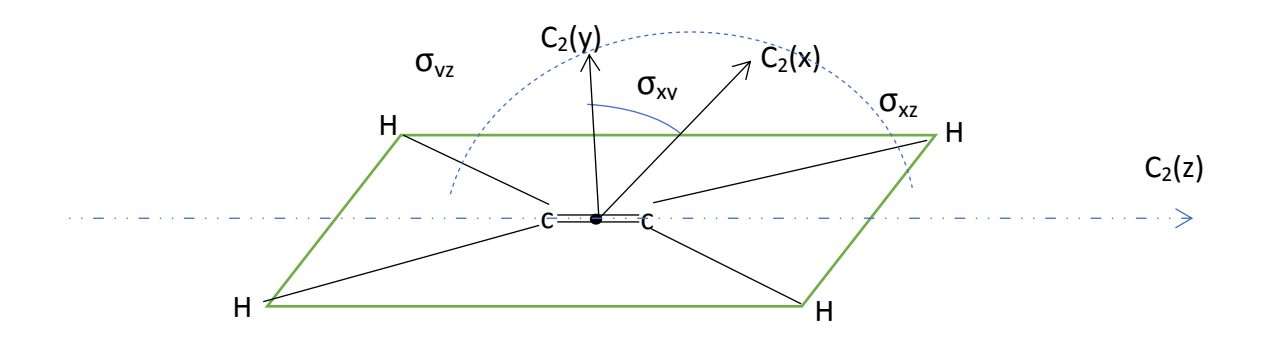
$$C_2(i) \times I = \sigma_{ik}, i, j, k = x, y, z, \tag{I.21}$$

Où  $\sigma_{jk}$  est un plan de symétrie perpendiculaire à l'axe  $C_2(i)$ .

Les éléments de symétrie du groupe  $\boldsymbol{D_2h}$  sont :

$$E$$
,  $C_2(x)$ ,  $C_2(y)$ ,  $C_2(z)$ ,  $I$ ,  $\sigma_{xy}$ ,  $\sigma_{xz}$ ,  $\sigma_{yz}$ 

Fig I-14 : Eléments de symétrie du groupe  $D_2h$ 



#### I-3-2- Produit direct des représentations

En utilisant la table de caractère du groupe  $\mathcal{D}_2 h$  :

$D_{2h}$	Ε	$C_2(z)$	$C_2(y)$	$C_2$	(x)	i	$\sigma_{xy}$	$\sigma_{\chi_Z}$	$\sigma_{yz}$
$A_{g}$	1	$\chi^{\Gamma_1}$	$\chi^{\Gamma_1}$	$x^{\Gamma_1}$	$\chi^{\Gamma_1}$	$\chi^{\Gamma_1}$	$\chi^{\Gamma_1}$	$\chi^{\Gamma_1}$	
$B_{1g}$	1	$\chi^{\Gamma_2}$	$\chi^{arGamma_2}$	$\chi^{\Gamma_2}$	$\chi^{\Gamma_2}$	$\chi^{\Gamma_2}$	$\chi^{\Gamma_2}$	$x^{\Gamma_2}$	
$B_{2g}$	1	$\chi^{\Gamma_3}$	$\chi^{\Gamma_3}$	$\chi^{\Gamma_3}$	$\chi^{\Gamma_3}$	$\chi^{\Gamma_3}$	$\chi^{\Gamma_3}$	$\chi^{\Gamma_3}$	
$B_{3g}$	1	$\chi^{\Gamma_4}$	$\chi^{arGamma_4}$	$\chi^{\Gamma_4}$	$\chi^{\Gamma_4}$	$\chi^{\Gamma_4}$	$\chi^{\Gamma_4}$	$\chi^{\Gamma_4}$	
$A_{\mathrm{u}}$	1	$\chi^{\Gamma_5}$	$\chi^{\Gamma_5}$	$\chi^{\Gamma_5}$	$\chi^{\Gamma_5}$	$x^{\Gamma_5}$	$\chi^{\Gamma_5}$	$\chi^{\Gamma_5}$	
$B_{1u}$	1	$\chi^{\Gamma_6}$	$\chi^{\Gamma_6}$	$\chi^{\Gamma_6}$	$x^{\Gamma_6}$	$x^{\Gamma_6}$	$x^{\Gamma_6}$	$\chi^{\Gamma_6}$	
$B_{2u}$	1	$\chi^{\Gamma_7}$	$\chi^{\Gamma_7}$	$x^{\Gamma_7}$	$\chi^{\Gamma_7}$	$x^{\Gamma_7}$	$x^{\Gamma_7}$	$x^{\Gamma_7}$	
$\mathbf{B}_{3u}$	1	$\chi^{\Gamma_8}$	$\chi^{\Gamma_8}$	$\chi^{\Gamma_8}$	$\chi^{\Gamma_8}$	$\chi^{\Gamma_8}$	$\chi^{\Gamma_8}$	$\chi^{\Gamma_8}$	

 $Tab \ I-2 : \mbox{Table de caractère d'un groupe } D_2h$ 

$$\sum_{i=1}^{k} n_i^2 = g {(I.22)}$$

 $D_{2h}$  de g=8 et K=8

$$n_1^2 + n_2^2 + n_3^2 + n_4^2 + n_5^2 + n_6^2 + n_7^2 + n_8^2 = 8$$
 (I.23)

Soit un groupe a g élément et a k classe. Chaque classe a  $k_i$  élément :

$$\sum_{i=1}^{k} g_i \chi_R^{\Gamma_i} \chi_R^{\Gamma_j} = g \delta_{\Gamma_i, \Gamma_j}$$
 (I.24)

Avec  $\delta_{\Gamma_i,\Gamma_j}$  et le symbole de cornaquer

$\Gamma_1 \otimes \Gamma_1$	$\Gamma_2 \otimes \Gamma_1$	$\Gamma_3 \otimes \Gamma_1$	$\Gamma_4 \otimes \Gamma_1$	$\Gamma_5 \otimes \Gamma_1$	$\Gamma_6 \otimes \Gamma_1$	$\Gamma_7 \otimes \Gamma_1$	$\Gamma_8 \otimes \Gamma_1$
$\Gamma_1 \otimes \Gamma_2$	$\Gamma_2 \otimes \Gamma_2$	$\Gamma_3 \otimes \Gamma_2$	$\Gamma_4 \otimes \Gamma_2$	$\Gamma_5 \otimes \Gamma_2$	$\Gamma_6 \otimes \Gamma_2$	$\Gamma_7 \otimes \Gamma_2$	$\Gamma_8 \otimes \Gamma_2$
$\Gamma_1 \otimes \Gamma_3$	$\Gamma_2 \otimes \Gamma_3$	$\Gamma_3 \otimes \Gamma_3$	$\Gamma_4 \otimes \Gamma_3$	$\Gamma_5 \otimes \Gamma_3$	$\Gamma_6 \otimes \Gamma_3$	$\Gamma_7 \otimes \Gamma_3$	$\Gamma_8 \otimes \Gamma_3$
$\Gamma_1 \otimes \Gamma_4$	$\Gamma_2 \otimes \Gamma_4$	$\Gamma_3 \otimes \Gamma_4$	$\Gamma_4 \otimes \Gamma_4$	$\Gamma_5 \otimes \Gamma_4$	$\Gamma_6 \otimes \Gamma_4$	$\Gamma_7 \otimes \Gamma_4$	$\Gamma_8 \otimes \Gamma_4$
$\Gamma_1 \otimes \Gamma_5$	$\Gamma_2 \otimes \Gamma_5$	$\Gamma_3 \otimes \Gamma_5$	$\Gamma_4 \otimes \Gamma_5$	$\Gamma_5 \otimes \Gamma_5$	$\Gamma_6 \otimes \Gamma_5$	$\Gamma_7 \otimes \Gamma_5$	$\Gamma_8 \otimes \Gamma_5$
$\Gamma_1 \otimes \Gamma_6$	$\Gamma_2 \otimes \Gamma_6$	$\Gamma_3 \otimes \Gamma_6$	$\Gamma_4 \otimes \Gamma_6$	$\Gamma_5 \otimes \Gamma_6$	$\Gamma_6 \otimes \Gamma_6$	$\Gamma_7 \otimes \Gamma_6$	$\Gamma_8 \otimes \Gamma_6$
$\Gamma_1 \otimes \Gamma_7$	$\Gamma_2 \otimes \Gamma_7$	$\Gamma_3 \otimes \Gamma_7$	$\Gamma_4 \otimes \Gamma_7$	$\Gamma_5 \otimes \Gamma_7$	$\Gamma_6 \otimes \Gamma_7$	$\Gamma_7 \otimes \Gamma_7$	$\Gamma_8 \otimes \Gamma_7$
$\Gamma_1 \otimes \Gamma_8$	$\Gamma_2 \otimes \Gamma_8$	$\Gamma_3 \otimes \Gamma_8$	$\Gamma_4 \otimes \Gamma_8$	$\Gamma_5 \otimes \Gamma_8$	$\Gamma_6 \otimes \Gamma_8$	$\Gamma_7 \otimes \Gamma_8$	$\Gamma_8 \otimes \Gamma_8$

 $\delta_{\Gamma_i,\Gamma_j} = 0 \text{ si } \Gamma_i \neq \Gamma_j \quad \text{ou 1 si } \Gamma_i = \Gamma_j$ 

1)  $\Gamma_1 \otimes \Gamma_1$ 

$$\Gamma_{1} \otimes \Gamma_{1} = (g_{1}) \left( \chi_{E}^{\Gamma_{1}} \right) \left( \chi_{E}^{\Gamma_{1}} \right) + (g_{2}) \left( \chi_{C_{2z}}^{\Gamma_{1}} \right) \left( \chi_{C_{2z}}^{\Gamma_{1}} \right) + (g_{3}) \left( \chi_{C_{2y}}^{\Gamma_{1}} \right) \left( \chi_{C_{2y}}^{\Gamma_{1}} \right) + (g_{4}) \left( \chi_{C_{2x}}^{\Gamma_{1}} \right) \left( \chi_{C_{2x}}^{\Gamma_{1}} \right) + (g_{5}) \left( \chi_{i}^{\Gamma_{1}} \right) \left( \chi_{C_{i}}^{\Gamma_{1}} \right) + (g_{6}) \left( \chi_{\sigma_{xy}}^{\Gamma_{1}} \right) \left( \chi_{\sigma_{xy}}^{\Gamma_{1}} \right) + (g_{7}) \left( \chi_{\sigma_{xz}}^{\Gamma_{1}} \right) \left( \chi_{\sigma_{xz}}^{\Gamma_{1}} \right) + (g_{8}) \left( \chi_{\sigma_{yz}}^{\Gamma_{1}} \right) \left( \chi_{\sigma_{yz}}^{\Gamma_{1}} \right) = 8$$
(1.25)

$$(1)(1)^{2}+(1)(\chi_{C_{2z}}^{2})+(1)(\chi_{C_{2z}}^{2})+(1)(\chi_{C_{2y}}^{2})+(1)(\chi_{C_{2y}}^{2})+(1)(\chi_{C_{2x}}^{2})+(1)(\chi_{i}^{2})+(1)(\chi_{\sigma_{xy}}^{2})+(1)(\chi_{\sigma_{xy}}^{2})+(1)(\chi_{\sigma_{xy}}^{2})=8$$
(I.26)

2)  $\Gamma_1 \otimes \Gamma_2$ 

$$\Gamma_{1} \otimes \Gamma_{2} = (g_{1}) \left( \chi_{E}^{\Gamma_{1}} \right) \left( \chi_{E}^{\Gamma_{2}} \right) + (g_{2}) \left( \chi_{C_{2z}}^{\Gamma_{1}} \right) \left( \chi_{C_{2z}}^{\Gamma_{2}} \right) + (g_{3}) \left( \chi_{C_{2y}}^{\Gamma_{1}} \right) \left( \chi_{C_{2y}}^{\Gamma_{2}} \right) + (g_{4}) \left( \chi_{C_{2x}}^{\Gamma_{1}} \right) \left( \chi_{C_{2x}}^{\Gamma_{2}} \right) + (g_{5}) \left( \chi_{i}^{\Gamma_{1}} \right) \left( \chi_{C_{i}}^{\Gamma_{2}} \right) + (g_{6}) \left( \chi_{\sigma_{xy}}^{\Gamma_{1}} \right) \left( \chi_{C_{\sigma_{xy}}}^{\Gamma_{2}} \right) + (g_{7}) \left( \chi_{\sigma_{xz}}^{\Gamma_{1}} \right) \left( \chi_{\sigma_{xz}}^{\Gamma_{2}} \right) + (g_{8}) \left( \chi_{\sigma_{yz}}^{\Gamma_{1}} \right) \left( \chi_{C_{\sigma_{yz}}}^{\Gamma_{2}} \right) = 0$$
(I.27)

3)  $\Gamma_1 \otimes \Gamma_3$ 

$$\Gamma_{1} \otimes \Gamma_{3} = (g_{1}) \left( \chi_{E}^{\Gamma_{1}} \right) \left( \chi_{E}^{\Gamma_{3}} \right) + (g_{2}) \left( \chi_{C_{2z}}^{\Gamma_{1}} \right) \left( \chi_{C_{2z}}^{\Gamma_{3}} \right) + (g_{3}) \left( \chi_{C_{2y}}^{\Gamma_{1}} \right) \left( \chi_{C_{2y}}^{\Gamma_{3}} \right) + (g_{4}) \left( \chi_{C_{2x}}^{\Gamma_{1}} \right) \left( \chi_{C_{2x}}^{\Gamma_{3}} \right) + (g_{5}) \left( \chi_{i}^{\Gamma_{1}} \right) \left( \chi_{C_{i}}^{\Gamma_{3}} \right) + (g_{6}) \left( \chi_{\sigma_{xy}}^{\Gamma_{1}} \right) \left( \chi_{\sigma_{xy}}^{\Gamma_{3}} \right) + (g_{7}) \left( \chi_{\sigma_{xz}}^{\Gamma_{1}} \right) \left( \chi_{\sigma_{xz}}^{\Gamma_{3}} \right) + (g_{8}) \left( \chi_{\sigma_{yz}}^{\Gamma_{1}} \right) \left( \chi_{\sigma_{yz}}^{\Gamma_{3}} \right) = 0$$
(I.28)

4)  $\Gamma_1 \otimes \Gamma_4$ 

$$\Gamma_{1} \otimes \Gamma_{4} = (g_{1}) \left( \chi_{E}^{\Gamma_{1}} \right) \left( \chi_{E}^{\Gamma_{4}} \right) + (g_{2}) \left( \chi_{C_{2z}}^{\Gamma_{1}} \right) \left( \chi_{C_{2z}}^{\Gamma_{4}} \right) + (g_{3}) \left( \chi_{C_{2y}}^{\Gamma_{1}} \right) \left( \chi_{C_{2y}}^{\Gamma_{4}} \right) + (g_{4}) \left( \chi_{C_{2x}}^{\Gamma_{1}} \right) \left( \chi_{C_{2x}}^{\Gamma_{4}} \right) + (g_{5}) \left( \chi_{i}^{\Gamma_{1}} \right) \left( \chi_{C_{i}}^{\Gamma_{4}} \right) + (g_{6}) \left( \chi_{\sigma_{xy}}^{\Gamma_{1}} \right) \left( \chi_{\sigma_{xy}}^{\Gamma_{4}} \right) + (g_{7}) \left( \chi_{\sigma_{xz}}^{\Gamma_{1}} \right) \left( \chi_{\sigma_{xz}}^{\Gamma_{4}} \right) + (g_{8}) \left( \chi_{\sigma_{yz}}^{\Gamma_{1}} \right) \left( \chi_{\sigma_{yz}}^{\Gamma_{4}} \right) = 0$$
(I.29)

5)  $\Gamma_1 \otimes \Gamma_5$ 

$$\Gamma_{1} \otimes \Gamma_{5} = (g_{1}) \left( \chi_{E}^{\Gamma_{1}} \right) \left( \chi_{E}^{\Gamma_{5}} \right) + (g_{2}) \left( \chi_{C_{2z}}^{\Gamma_{1}} \right) \left( \chi_{C_{2z}}^{\Gamma_{5}} \right) +$$

$$(g_{3}) \left( \chi_{C_{2y}}^{\Gamma_{1}} \right) \left( \chi_{C_{2y}}^{\Gamma_{5}} \right) + (g_{4}) \left( \chi_{C_{2x}}^{\Gamma_{1}} \right) \left( \chi_{C_{2x}}^{\Gamma_{5}} \right) + (g_{5}) \left( \chi_{i}^{\Gamma_{1}} \right) \left( \chi_{C_{i}}^{\Gamma_{5}} \right)$$

$$+ (g_{6}) \left( \chi_{\sigma_{xy}}^{\Gamma_{1}} \right) \left( \chi_{C_{\sigma_{xy}}}^{\Gamma_{5}} \right) + (g_{7}) \left( \chi_{\sigma_{xz}}^{\Gamma_{1}} \right) \left( \chi_{\sigma_{xz}}^{\Gamma_{5}} \right) + (g_{8}) \left( \chi_{\sigma_{yz}}^{\Gamma_{1}} \right) \left( \chi_{C_{\sigma_{yz}}}^{\Gamma_{5}} \right) = 0$$
(I.30)

**6**) Γ<sub>1</sub>⊗Γ<sub>6</sub>

$$\Gamma_{1} \otimes \Gamma_{6} = (g_{1}) \left( \chi_{E}^{\Gamma_{1}} \right) \left( \chi_{E}^{\Gamma_{6}} \right) + (g_{2}) \left( \chi_{C_{2z}}^{\Gamma_{1}} \right) \left( \chi_{C_{2z}}^{\Gamma_{6}} \right) +$$

$$(g_{3}) \left( \chi_{C_{2y}}^{\Gamma_{1}} \right) \left( \chi_{C_{2y}}^{\Gamma_{6}} \right) + (g_{4}) \left( \chi_{C_{2x}}^{\Gamma_{1}} \right) \left( \chi_{C_{2x}}^{\Gamma_{6}} \right) + (g_{5}) \left( \chi_{i}^{\Gamma_{1}} \right) \left( \chi_{C_{i}}^{\Gamma_{6}} \right)$$

$$+ (g_{6}) \left( \chi_{\sigma_{xy}}^{\Gamma_{1}} \right) \left( \chi_{C_{\sigma_{xy}}}^{\Gamma_{6}} \right) + (g_{7}) \left( \chi_{\sigma_{xz}}^{\Gamma_{1}} \right) \left( \chi_{\sigma_{xz}}^{\Gamma_{6}} \right) + (g_{8}) \left( \chi_{\sigma_{yz}}^{\Gamma_{1}} \right) \left( \chi_{C_{\sigma_{yz}}}^{\Gamma_{6}} \right) = 0$$
(I.31)

7)  $\Gamma_1 \otimes \Gamma_7$ 

$$\Gamma_{1} \otimes \Gamma_{7} = (g_{1}) \left( \chi_{E}^{\Gamma_{1}} \right) \left( \chi_{E}^{\Gamma_{7}} \right) + (g_{2}) \left( \chi_{C_{2z}}^{\Gamma_{1}} \right) \left( \chi_{C_{2z}}^{\Gamma_{7}} \right) +$$

$$(g_{3}) \left( \chi_{C_{2y}}^{\Gamma_{1}} \right) \left( \chi_{C_{2y}}^{\Gamma_{7}} \right) + (g_{4}) \left( \chi_{C_{2x}}^{\Gamma_{1}} \right) \left( \chi_{C_{2x}}^{\Gamma_{7}} \right) + (g_{5}) \left( \chi_{i}^{\Gamma_{1}} \right) \left( \chi_{C_{i}}^{\Gamma_{7}} \right)$$

$$+ (g_{6}) \left( \chi_{\sigma_{xy}}^{\Gamma_{1}} \right) \left( \chi_{\sigma_{xy}}^{\Gamma_{7}} \right) + (g_{7}) \left( \chi_{\sigma_{xz}}^{\Gamma_{1}} \right) \left( \chi_{\sigma_{xz}}^{\Gamma_{7}} \right) + (g_{8}) \left( \chi_{\sigma_{yz}}^{\Gamma_{1}} \right) \left( \chi_{\sigma_{yz}}^{\Gamma_{7}} \right) = 0$$
(I.32)

8)  $\Gamma_1 \otimes \Gamma_8$ 

$$\Gamma_{1} \otimes \Gamma_{8} = (g_{1}) \left(\chi_{E}^{\Gamma_{1}}\right) \left(\chi_{E}^{\Gamma_{8}}\right) + (g_{2}) \left(\chi_{C_{2z}}^{\Gamma_{1}}\right) \left(\chi_{C_{2z}}^{\Gamma_{8}}\right) + (g_{3}) \left(\chi_{C_{2y}}^{\Gamma_{1}}\right) \left(\chi_{C_{2y}}^{\Gamma_{8}}\right) + (g_{4}) \left(\chi_{C_{2x}}^{\Gamma_{1}}\right) \left(\chi_{C_{2x}}^{\Gamma_{8}}\right) + (g_{5}) \left(\chi_{i}^{\Gamma_{1}}\right) \left(\chi_{C_{i}}^{\Gamma_{8}}\right) + (g_{6}) \left(\chi_{C_{xy}}^{\Gamma_{1}}\right) \left(\chi_{C_{xy}}^{\Gamma_{8}}\right) + (g_{7}) \left(\chi_{\sigma_{xz}}^{\Gamma_{1}}\right) \left(\chi_{\sigma_{xz}}^{\Gamma_{8}}\right) + (g_{8}) \left(\chi_{\sigma_{yz}}^{\Gamma_{1}}\right) \left(\chi_{C_{xy}}^{\Gamma_{8}}\right) = 0$$
(I.33)

9)  $\Gamma_2 \otimes \Gamma_2$ 

$$\Gamma_{2} \otimes \Gamma_{2} = (g_{1}) \left( \chi_{E}^{\Gamma_{2}} \right) \left( \chi_{E}^{\Gamma_{2}} \right) + (g_{2}) \left( \chi_{C_{2z}}^{\Gamma_{2}} \right) \left( \chi_{C_{2z}}^{\Gamma_{2}} \right) + (g_{3}) \left( \chi_{C_{2y}}^{\Gamma_{1}} \right) \left( \chi_{C_{2y}}^{\Gamma_{9}} \right) + (g_{4}) \left( \chi_{C_{2x}}^{\Gamma_{1}} \right) \left( \chi_{C_{2x}}^{\Gamma_{9}} \right) + (g_{5}) \left( \chi_{i}^{\Gamma_{1}} \right) \left( \chi_{C_{i}}^{\Gamma_{9}} \right) + (g_{6}) \left( \chi_{\sigma_{xy}}^{\Gamma_{2}} \right) \left( \chi_{C_{\sigma_{xy}}}^{\Gamma_{2}} \right) + (g_{7}) \left( \chi_{\sigma_{xz}}^{\Gamma_{2}} \right) \left( \chi_{\sigma_{xz}}^{\Gamma_{2}} \right) + (g_{8}) \left( \chi_{\sigma_{yz}}^{\Gamma_{2}} \right) \left( \chi_{C_{\sigma_{yz}}}^{\Gamma_{2}} \right) = 0$$
(I.34)

10)  $\Gamma_2 \otimes \Gamma_3$ 

$$\Gamma_2 \otimes \Gamma_2 = (g_1) \big( \chi_E^{\Gamma_2} \big) \big( \chi_E^{\Gamma_3} \big) + (g_2) \big( \chi_{C_{2z}}^{\Gamma_2} \big) \big( \chi_{C_{2z}}^{\Gamma_3} \big) +$$

$$(g_{3})\left(\chi_{C_{2y}}^{\Gamma_{2}}\right)\left(\chi_{C_{2y}}^{\Gamma_{3}}\right) + (g_{4})\left(\chi_{C_{2x}}^{\Gamma_{2}}\right)\left(\chi_{C_{2x}}^{\Gamma_{3}}\right) + (g_{5})\left(\chi_{i}^{\Gamma_{2}}\right)\left(\chi_{C_{i}}^{\Gamma_{3}}\right) + (g_{6})\left(\chi_{C_{xy}}^{\Gamma_{2}}\right)\left(\chi_{C_{xy}}^{\Gamma_{3}}\right) + (g_{7})\left(\chi_{\sigma_{xz}}^{\Gamma_{2}}\right)\left(\chi_{\sigma_{xz}}^{\Gamma_{3}}\right) + (g_{8})\left(\chi_{\sigma_{yz}}^{\Gamma_{2}}\right)\left(\chi_{C_{\sigma_{yz}}}^{\Gamma_{3}}\right) = 0$$
 (I.35)

11)  $\Gamma_2 \otimes \Gamma_4$ 

$$\Gamma_{2} \otimes \Gamma_{4} = (g_{1}) \left( \chi_{E}^{\Gamma_{2}} \right) \left( \chi_{E}^{\Gamma_{4}} \right) + (g_{2}) \left( \chi_{C_{2z}}^{\Gamma_{2}} \right) \left( \chi_{C_{2z}}^{\Gamma_{4}} \right) + (g_{3}) \left( \chi_{C_{2y}}^{\Gamma_{2}} \right) \left( \chi_{C_{2y}}^{\Gamma_{4}} \right) + (g_{4}) \left( \chi_{C_{2x}}^{\Gamma_{2}} \right) \left( \chi_{C_{2x}}^{\Gamma_{4}} \right) + (g_{5}) \left( \chi_{i}^{\Gamma_{2}} \right) \left( \chi_{C_{i}}^{\Gamma_{4}} \right) + (g_{6}) \left( \chi_{\sigma_{xy}}^{\Gamma_{2}} \right) \left( \chi_{\sigma_{xy}}^{\Gamma_{4}} \right) + (g_{7}) \left( \chi_{\sigma_{xz}}^{\Gamma_{2}} \right) \left( \chi_{\sigma_{xz}}^{\Gamma_{4}} \right) + (g_{8}) \left( \chi_{\sigma_{yz}}^{\Gamma_{2}} \right) \left( \chi_{\sigma_{yz}}^{\Gamma_{4}} \right) = 0$$
(I.36)

12)  $\Gamma_2 \otimes \Gamma_5$ 

$$\Gamma_{2} \otimes \Gamma_{5} = (g_{1}) \left(\chi_{E}^{\Gamma_{2}}\right) \left(\chi_{E}^{\Gamma_{5}}\right) + (g_{2}) \left(\chi_{C_{2z}}^{\Gamma_{2}}\right) \left(\chi_{C_{2z}}^{\Gamma_{5}}\right) + (g_{3}) \left(\chi_{C_{2y}}^{\Gamma_{2}}\right) \left(\chi_{C_{2y}}^{\Gamma_{5}}\right) + (g_{4}) \left(\chi_{C_{2x}}^{\Gamma_{2}}\right) \left(\chi_{C_{2x}}^{\Gamma_{5}}\right) + (g_{5}) \left(\chi_{i}^{\Gamma_{2}}\right) \left(\chi_{C_{i}}^{\Gamma_{5}}\right) + (g_{6}) \left(\chi_{\sigma_{xy}}^{\Gamma_{2}}\right) \left(\chi_{\sigma_{xy}}^{\Gamma_{5}}\right) + (g_{7}) \left(\chi_{\sigma_{xz}}^{\Gamma_{2}}\right) \left(\chi_{\sigma_{xz}}^{\Gamma_{5}}\right) + (g_{8}) \left(\chi_{\sigma_{yz}}^{\Gamma_{2}}\right) \left(\chi_{\sigma_{yz}}^{\Gamma_{5}}\right) = 0 \quad (\mathbf{I.37})$$

13)  $\Gamma_2 \otimes \Gamma_6$ 

$$\Gamma_{2} \otimes \Gamma_{6} = (g_{1}) \left(\chi_{E}^{\Gamma_{2}}\right) \left(\chi_{E}^{\Gamma_{6}}\right) + (g_{2}) \left(\chi_{C_{2z}}^{\Gamma_{2}}\right) \left(\chi_{C_{2z}}^{\Gamma_{6}}\right) + (g_{3}) \left(\chi_{C_{2y}}^{\Gamma_{2}}\right) \left(\chi_{C_{2y}}^{\Gamma_{6}}\right) + (g_{4}) \left(\chi_{C_{2x}}^{\Gamma_{2}}\right) \left(\chi_{C_{2x}}^{\Gamma_{6}}\right) + (g_{5}) \left(\chi_{i}^{\Gamma_{2}}\right) \left(\chi_{C_{i}}^{\Gamma_{6}}\right) + (g_{6}) \left(\chi_{C_{xy}}^{\Gamma_{2}}\right) \left(\chi_{C_{xy}}^{\Gamma_{6}}\right) + (g_{7}) \left(\chi_{\sigma_{xz}}^{\Gamma_{2}}\right) \left(\chi_{\sigma_{xz}}^{\Gamma_{6}}\right) + (g_{8}) \left(\chi_{\sigma_{yz}}^{\Gamma_{2}}\right) \left(\chi_{C_{\sigma_{yz}}}^{\Gamma_{6}}\right) = 0 \quad (\mathbf{I.38})$$

**14**)  $\Gamma_2 \otimes \Gamma_7$ 

$$\Gamma_{2} \otimes \Gamma_{7} = (g_{1}) \left( \chi_{E}^{\Gamma_{2}} \right) \left( \chi_{E}^{\Gamma_{7}} \right) + (g_{2}) \left( \chi_{C_{2z}}^{\Gamma_{2}} \right) \left( \chi_{C_{2z}}^{\Gamma_{7}} \right) +$$

$$(g_{3}) \left( \chi_{C_{2y}}^{\Gamma_{2}} \right) \left( \chi_{C_{2y}}^{\Gamma_{7}} \right) + (g_{4}) \left( \chi_{C_{2x}}^{\Gamma_{2}} \right) \left( \chi_{C_{2x}}^{\Gamma_{7}} \right) + (g_{5}) \left( \chi_{i}^{\Gamma_{2}} \right) \left( \chi_{C_{i}}^{\Gamma_{7}} \right)$$

$$+(g_6)\left(\chi^{\Gamma_2}_{\sigma_{xy}}\right)\left(\chi^{\Gamma_7}_{\sigma_{\sigma_{xy}}}\right) + (g_7)\left(\chi^{\Gamma_2}_{\sigma_{xz}}\right)\left(\chi^{\Gamma_7}_{\sigma_{xz}}\right) + (g_8)\left(\chi^{\Gamma_2}_{\sigma_{yz}}\right)\left(\chi^{\Gamma_7}_{\sigma_{\sigma_{yz}}}\right) = 0 \qquad \textbf{(I.39)}$$

15)  $\Gamma_2 \otimes \Gamma_8$ 

$$\Gamma_{2} \otimes \Gamma_{8} = (g_{1}) \left( \chi_{E}^{\Gamma_{2}} \right) \left( \chi_{E}^{\Gamma_{8}} \right) + (g_{2}) \left( \chi_{C_{2z}}^{\Gamma_{2}} \right) \left( \chi_{C_{2z}}^{\Gamma_{8}} \right) + (g_{3}) \left( \chi_{C_{2y}}^{\Gamma_{2}} \right) \left( \chi_{C_{2y}}^{\Gamma_{8}} \right) + (g_{4}) \left( \chi_{C_{2x}}^{\Gamma_{2}} \right) \left( \chi_{C_{2x}}^{\Gamma_{8}} \right) + (g_{5}) \left( \chi_{i}^{\Gamma_{2}} \right) \left( \chi_{C_{i}}^{\Gamma_{8}} \right) + (g_{6}) \left( \chi_{C_{xy}}^{\Gamma_{2}} \right) \left( \chi_{C_{xy}}^{\Gamma_{8}} \right) + (g_{7}) \left( \chi_{\sigma_{xz}}^{\Gamma_{2}} \right) \left( \chi_{\sigma_{xz}}^{\Gamma_{8}} \right) + (g_{8}) \left( \chi_{\sigma_{yz}}^{\Gamma_{2}} \right) \left( \chi_{C_{\sigma_{yz}}}^{\Gamma_{8}} \right) = 0$$
(I.40)

- Le nombre important de formules (64) on a proposé de montrer comment se fait le calcul pour remplir et obtenir la table de caractère de groupe  $D_2h$ , an se limité dans ce travail aux 15 premières formules.

\_

D <sub>2</sub> h	Ε	$C_2(z)$	$C_2(y)$	$C_2(x)$	) i	$\sigma_{xy}$	$\sigma_{\chi}$	$\sigma_{yz}$	
$A_g$	1	1	1	1	1	1	1	1	$H, \alpha x x, \alpha y y, \alpha z z$
$B_{1g}$	1	1	-1	-1	1	1	-1	-1	$Rz, \alpha xy$
$B_{2g}$	1	-1	1	-1	1	-1	1	-1	$Ry, \alpha zx$
$\mathbf{B}_{3g}$	1	-1	-1	1	1	-1	-1	1	$Rx, \alpha yz$
$A_{\rm u}$	1	1	1	1	-1	-1	-1	-1	•
$B_{1u}$	1	1	-1	-1	-1	-1	1	1	$Tz$ , $\mu z$
$B_{2u}$	1	-1	1	-1	-1	1	-1	1	$Ty, \mu y$
$B_{3u}$	1	-1	-1	1	-1	1	1	-1	$Tx, \mu x$
									21

 $Tab \ I-3 : \ \ \ Table \ de \ caractère \ d'un \ groupe \ D_2h$ 

### 1-4- Détermination des modes de vibration des molécules D2h

D <sub>2</sub> h	Ε	$C_2(z)$	$C_2(y)$	$C_2(x)$	i	$\sigma_{xy}$	$\sigma_{\chi_Z}$	$\sigma_{yz}$
$n_R$	6	0	0	2	0	6	2	0
- N			_		-			-
$\chi_R$	3	-1	-1	-1	-3	1	1	1
$\chi_{vib} = \Gamma_{vib}$	12	2	2	0	0	6	2	0

Rotation propre

Rotation impropre

$$\chi_R = 1 + 2\cos\alpha$$

$$\chi_R = -1 + 2\cos\alpha$$

$$\chi_{vib} = (n_R - 2) \chi_R$$

$$\chi_{vib} = n_R * \chi_R$$

 $Tab\ I-4$ : Table de caractères (vibrations et rotations) du groupe  $D_2h$ 

$$C_2 \to \alpha = \frac{2\pi}{n} = \frac{2\pi}{2} \to \alpha = \pi$$
 (I.41)

$$i = \alpha = \pi \tag{I.42}$$

$$\sigma = \alpha = 2\pi \tag{I.43}$$

$$cos2\pi = 1 (I.44)$$

La formule de la représentation irréductible :

$$a_u = \frac{1}{g} \sum_{i=1}^k g_i \chi_i^{\mathbf{x}(\mathbf{u})} \chi_i^{\text{vib}}$$
 (I.45)

$$a_{A_g} = \frac{1}{8} [(1)(1)(12) + (1)(1)(2) + (1)(1)(2) + (1)(1)(0) + (1)(1)(0) + (1)(1)(6) + (1)(1)(2) + (1)(1)(0)] = \frac{1}{8} [12 + 2 + 2 + 6 + 2] = \frac{24}{8}$$
(I.46)

$$a_{A_g} = 3 \tag{I.47}$$

$$a_{B_{1g}} = 2 \tag{I.48}$$

$$a_{B_{2g}} = 1 \tag{I.49}$$

$$a_{B_{3g}} = 0 (I.50)$$

$$a_{A_u} = 1 \tag{I.51}$$

$$a_{B_{1u}} = 1 \tag{I.52}$$

$$a_{B_{2u}}=2 \tag{I.53}$$

$$a_{B_{3u}}=2 (I.54)$$

$$\Gamma_{vib} = 3A_g \oplus 2B_{1g} \oplus B_{2g} \oplus A_u \oplus B_{1u} \oplus 2B_{2u} \oplus 2B_{3u}$$
 (I.55)

On trouve ainsi douze (12) fréquences fondamentales de symétrie :

Mode	$\nu_1$	$\nu_2$	$\nu_3$	$\nu_4$	$\nu_5$	$\nu_6$	$\nu_7$	ν <sub>8</sub>	ν <sub>9</sub>	$\nu_{10}$	ν <sub>11</sub>	$\nu_{12}$
Symétrie	$A_g$	$A_g$	$A_g$	$B_{1g}$	$B_{1g}$	$B_{2g}$	$A_u$	$B_{1u}$	$B_{2u}$	$B_{2u}$	$B_{3u}$	$B_{3u}$

 $Tab\ I-5$ : Symétries des modes de vibrations des molécules du groupe  $D_2h$ 

#### 1-5- Niveaux d'énergie

La Figure 15 donne l'ordre de grandeur de l'énergie des premiers niveaux moléculaires excités au-dessus du niveau fondamental qui représenterait l'état énergétique des molécules à 0 K. Le premier niveau rotationnel se situe vers 0,03 kJ/mol, le premier niveau rotationnel vers 39 kJ/mol et le premier niveau électronique vers 300 kJ/mol.

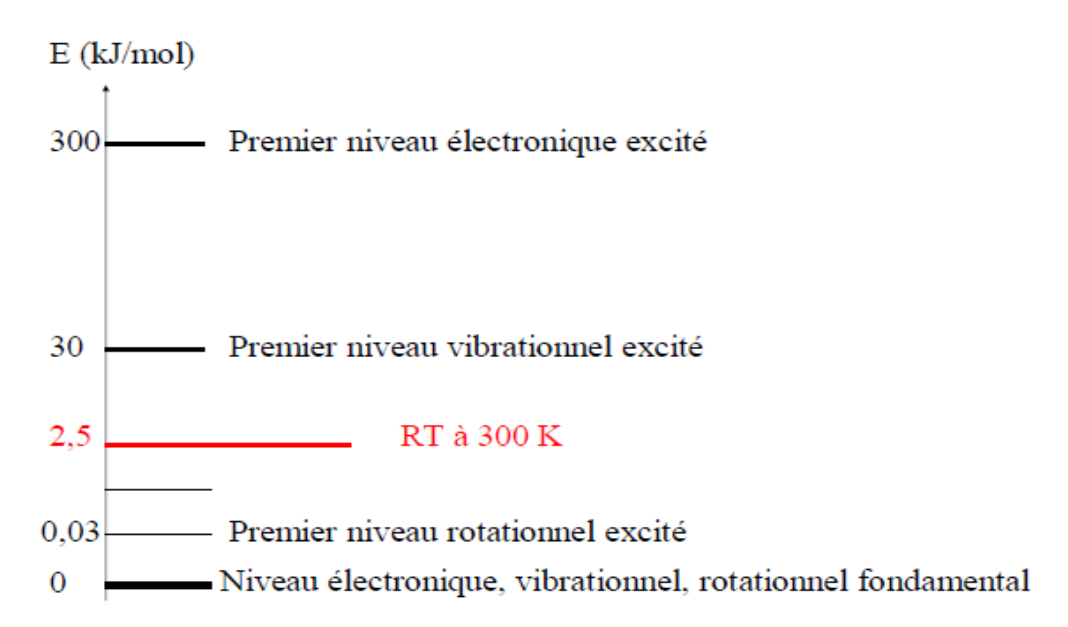


Fig I-15 : Valeurs relatives des diverses énergies moléculaires

A la température ambiante, « agitation thermique », RT vaut environ 2,5 kJ/mol. La population moléculaire, en l'absence d'autre mode d'excitation, se répartit sur ces niveaux selon la relation de Boltzmann. En général donc, à cette température, seul le niveau électronique fondamental est pratiquement peuplé ; le plus bas niveau vibrationnel est peuplé par plus de 90 % des molécules, quelques autres se plaçant sur le premier niveau excité, enfin, un certain nombre de niveaux rotationnels sont largement peuplés.

#### 1-5-1- Vibration moléculaire

L'énergie vibrationnelle est la somme de l'énergie cinétique et de l'énergie potentielle. A l'élongation maximale, elle se réduit à l'énergie potentielle quand le système s'approche de sa position d'équilibre, l'énergie cinétique tend vers un maximum et l'énergie potentielle décroît. La variation d'énergie entre deux niveaux de vibration consécutifs est : [42]

$$\Delta E_{vib} = hv = \left[\frac{h}{2\pi} \sqrt{\frac{k}{\mu}} \times \left(v + 1 + \frac{1}{2}\right)\right] - \left[\frac{h}{2\pi} \sqrt{\frac{k}{\mu}} \times \left(v + \frac{1}{2}\right)\right]$$
 (I-56)

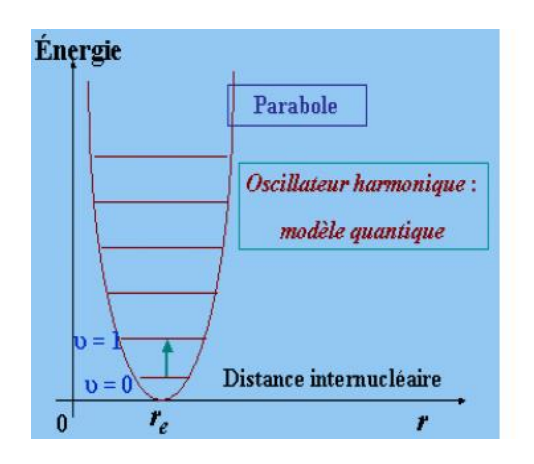
$$\Delta E_{vib} = \frac{h}{2\pi} \sqrt{\frac{k}{\mu}}$$
 (I-57)

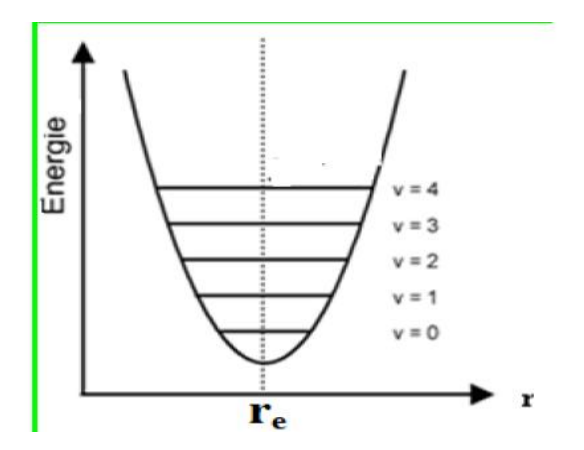
C'est-à-dire:

$$v = v_{vib} = \frac{1}{2\pi} \sqrt{\frac{k}{\mu}} \tag{I-58}$$

Dans le cas de l'approximation de l'oscillateur harmonique, les niveaux sont équidistants les transitions vibrationnelles génèrent une seule raie et la fréquence de la lumière émise ou absorbée est égale à la fréquence de l'oscillateur harmonique classique. La molécule vibre à une fréquence égale à celle de la radiation absorbée ou émise.

Fig I-16: Diagramme des niveaux d'énergie





#### 1-5-2- Rotation moléculaire

En mécanique quantique, le moment cinétique d'un système microscopique (électron atome, molécule etc....) est quantifié : [42]

$$L^2 = \hbar^2 I (I + 1)$$
 (I-59)

Avec : J = 0, 1, 2,

La combinaison de ces deux relations nous donne:

$$E_{rot} = \frac{L^2}{2I} = \frac{\hbar^2}{2I} J (J + 1)$$
 (I-60)

Le diagramme des niveaux d'énergie de la molécule en rotation apparaît comme une série de lignes horizontales représentant les niveaux possibles (figure ci-dessous). Ces niveaux d'énergie possibles correspondent aux valeurs J = 0, 1, 2, ...

Fig I-17 : Diagramme des niveaux d'énergie de la molécule en rotation

Energie

J = 4

- 20 
$$\frac{\hbar^2}{2I}$$

J = 3

- 12  $\frac{\hbar^2}{2I}$ 

- - 6  $\frac{\hbar^2}{2I}$ 

J = 1
J = 0

 $\frac{2 \pi^2}{2I}$ 

#### I-6- Activité des fréquences fondamentales

Il est presqu'impossible d'obtenir des spectres d'absorption de vibration pure et pour décrire le mouvement d'une molécule diatomique, le modèle le plus réaliste est de tenir en compte simultanément les mouvements de rotation et de vibration.

#### I-6-1- Spectre infrarouge

Pour interpréter les spectres de vibration-rotation, on utilise l'approximation de Born-Oppenheimer qui considère les énergies de rotation et de vibration comme séparables L'énergie de vibration-rotation s'écrit alors :

$$E_{v,J} = \left(v + \frac{1}{2}\right)hv_0 + BJ(J+1)h \quad avec B = \frac{h}{8\pi^2 I}$$
 (I-61)

Si  $\Delta v = 0$ , nous avons le spectre d'une rotation pure sinon le spectre est celui d'une vibration avec des changements rotationnels superposés. Il montre deux états vibrationnels correspondant à v = 0 et v = 1. Les nombres quantiques rotationnels sont désignés par J dans l'état v = 0 et par J dans l'état v = 1.

Les règles de sélection d'un mouvement harmonique strict, dans le cas de transitions vibration-rotation, sont généralement :

$$\Delta v = \pm 1$$
 et  $\Delta J = \pm 1$  (I-62)

En d'autres termes, on ne peut avoir une transition d'un niveau vibrationnel vers le niveau voisin que lorsque dans le même le temps, on a une transition entre deux niveaux rotationnels voisins.

#### I-6-2- Spectre Raman:

Le spectre de vibration Raman dépend de la polarisabilité qui peut varier lorsque la molécule vibre. Si la polarisabilité varie, le mouvement vibratoire est actif en Raman. C'est pourquoi les molécules diatomiques homonucléaires et hétéronucléaires donnent des spectres de vibration Raman.

La règle de sélection spécifique pour la vibration Raman est  $\Delta v = \pm 1$ 

#### Chapitre I : Spectroscopie moléculaires et théorie des représentations

 $\Delta v = -1$  Pour des raies situées à des fréquences supérieures à celle de la lumière incidente : les raies anti-Stokes. Elles sont généralement très faibles car très peu de molécules sont dans un état excité vibrationnellement à l'état initial

 $\Delta v = +1$  Correspond aux raies de Stokes c'est-à-dire celles situées à des fréquences inférieures.

Généralement, seul le plus bas niveau de vibration est occupé et la transition  $v = 0 \rightarrow v = 1$ est la plus intense des bandes de Raman.

Il existe une structure de branches superposées à ces raies du fait des mouvements de rotation des molécules. Les règles de sélection de ces transitions rotationnelles sont régies par  $\Delta J = 0, \pm 2$  qui conduisent à 3 séries de raies ou branches.

Branche  $Q \rightarrow \Delta J = 0$  souvent interdite correspond à la fréquence excitatrice.

Branche  $Q \rightarrow \Delta I = -2$  correspond aux raies anti-Stokes du spectre avec des fréquences

$$v = v_0 + 2B(2J - 1) \tag{I-63}$$

Branche S  $\rightarrow \Delta J = +2$  correspond aux raies Stokes du spectre avec des fréquences

$$\bar{\nu} = \overline{\nu_0} - 2B(2I+3) \tag{I-64}$$



## II-1- Hamiltonien Moléculaire

Lors de ce chapitre nous allons présenter le développement de l'Hamiltonien de la molécule d'éthylène. Pour cela le modèle de l'Hamiltonien effectif va être mis en jeu. Nous allons appliquer la transformation de contact introduite par Van-Vleck afin de rendre la matrice de l'Hamiltonien rovibrationnels  $\boldsymbol{H}$  diagonale par blocs vibrationnels (bandes isolées ou poliades). Enfin, les expressions pour les éléments matriciels de l'Hamiltonien à champ nul vont être obtenues.

#### **II-1-1- Operateurs rovibrationnels**

On définit l'opérateur rotationnel  $R^{\Omega(K)}$  à la construction de Moret-Bailly **[44]** avec  $R_{\alpha}^{\ 1(1)}$ 

$$R^{\Omega(K)} = \{ (R^{I(I)} \times R^{I(I)})^0 \times R^{I(I)} \times R^{I(I)} \}^0 \times R^{I(I)} \times R^{I(I)} \}^K$$
 (II.1)

 $R^{\Omega(_{K_{g,n\Gamma_r}})}$  est un opérateur rotationnel quelconque orienté  $D_{2h}$  , selon la relation :

$$R^{\Omega(K_{g,n\Gamma_{\Gamma}})} = \sum_{M} {}^{(K_g)} G^{M}_{n\Gamma_{\Gamma}} R^{\Omega(K)}$$
(II.2)

Il est caractérisé par :

- Son ordre  $\Omega$  en composantes du moment cinétique  $J_x$ ,  $J_y$ ,  $J_z$ .
- Son rang  $K_g = \Omega, \Omega$  -2,...,1 ou 0 dans O(3).
- Sa symétrie  $\Gamma_r$  de parité g dans  $D_{2h}$ .

On définit les opérateurs élémentaires création  $a_s^{+(C)}$  et annihilation  $a_s^{(C)}$  correspondant à chaque mode normal de vibration en fonction des coordonnées normales  $q_s$  et des moments conjugués  $p_s$ . Ces opérateurs se transforment selon la représentation (C) du groupe  $D_{2h}$ :

$$\begin{cases} a_s^{+(C)} = \frac{1}{\sqrt{2}} (q_s - ip_s) \\ a_s^{(C)} = \frac{1}{\sqrt{2}} (q_s + ip_s) \end{cases},$$
 (II.3)

Ou (s) est le mode de vibration associé.

Si nous considérons les douze modes normaux existants pour les molécules de symétrie  $D_{2h}$ , nous pouvons construire un opérateur  $A_{(n_c)}^{(\Gamma_1)}$  tel que :

$$A_{(n_s)}^{(\Gamma_1)} = \left(a_1^{(A_1)}\right)^{n_1} \times ... \times \left(a_{12}^{(B_{3u})}\right)^{n_{12}}$$
 (II.4)

Donc les opérateurs vibrationnels à partir de l'opérateur  $A_{(n_s)}^{(\Gamma_1)}$  et de son adjoint [2] :

$$^{\epsilon}V_{\{n_{s}\}\{m_{s}\}}^{\Gamma_{1}\Gamma_{2}(\Gamma_{v})} = \frac{1}{N}e^{i\Phi}\left[\left(A_{\{n_{s}\}}^{(\Gamma_{1})} \times A_{\{m_{s}\}}^{+(\Gamma_{2})}\right)^{(\Gamma_{v})} + \epsilon(A_{\{n_{s}\}}^{+(\Gamma_{1})} \times A_{\{m_{s}\}}^{(\Gamma_{2})})^{(\Gamma_{v})}\right]$$
(II.5)

Où  $\epsilon=\pm 1$ . Si  $\epsilon=1$  l'opérateur V est pair par rapport aux  $p_s$  et  $e^{i\Phi}=1$  et si  $\epsilon=-1$ 

L'opérateur  ${}^{\epsilon}V_{\{n_S\}\{m_S\}}^{\Gamma_1\Gamma_2(\Gamma_v)}$  est impair par rapport aux  $p_S$  et  $e^{i\Phi}=-1$ . N est un facteur de normalisation.

Tout opérateur rovibrationnel s'obtiendra par produit tensoriel d'un opérateur vibrationnel

$$\mathcal{O}_{rv}^{(\Gamma)} = \left( R^{\Omega(K_g, n\Gamma_r)} \otimes {}^{\varepsilon}V_{\{n_s\}\{m_s\}}^{\Gamma_1 \Gamma_2 \Gamma_v} \right)^{(\Gamma)} \tag{II.6}$$

#### II-1-2- Hamiltonien initial et base couplée

L'Hamiltonien se construit dans le formalisme tensoriel [2] à partir d'une somme d'opérateurs rovibrationnels T de symétrie totale  $A_g$ :

$$T_{\{n_S\}\{m_S\}}^{\Omega(K,n\Gamma_r)\Gamma_1\Gamma_2\Gamma_v} = \beta \left( R^{\Omega(K_g,n\Gamma_r)} \otimes {}^{\varepsilon}V_{\{n_S\}\{m_S\}}^{\Gamma_1\Gamma_2\Gamma_v} \right)^{(A_g)}$$
 (II.7)

L'Hamiltonien doit être hermétique et rester invariant dans un renversement du temps, ce qui implique que  $\varepsilon$  est égal à +1 si  $\Omega$  est pair et à -1 sinon. B est un coefficient numérique égal à si  $(K_g, n\Gamma_r) = (0, 0Ag)$  et à 1 sinon.

L'Hamiltonien initial a champ nul s'écrit donc :

$$H_0 = \sum_{indices} t_{\{n_s\}\{m_s\}}^{\Omega(K,n\Gamma_r)\Gamma_1\Gamma_2\Gamma_\nu} \otimes T_{\{n_s\}\{m_s\}}^{\Omega(K,n\Gamma_r)\Gamma_1\Gamma_2\Gamma_\nu}$$
(II.8)

Où les coefficients t sont les paramètres de notre hamiltonien.

Les vecteurs de base rotationnels sont simplement les fonctions de base du rotateur rigide,  $|J, M\rangle$ , orientées dans le groupe  $D_2h$  de la même manière que les opérateurs rotationnels définis précédemment :

$$|Jn_r C_r\rangle = \sum_M {}^{(J)} G^M_{n_r G_r} |J, M\rangle$$
 (II.9)

Nous poserons comme convention que les vecteurs rotationnels sont de parité g. Les vecteurs de base vibrationnels sont construits en couplant les vecteurs de base des oscillateurs harmoniques et s'écrivent :

$$|\psi^{\{v\}C_{\nu}}\rangle = |(\psi^{\nu_{1}(\Gamma_{1}),C_{\nu_{1}}} \times ... \times \psi^{\nu_{12}(\Gamma_{12}),C_{\nu_{12}}})^{(C_{\nu})}\rangle$$
 (II.10)

 $C_v$  La symétrie de l'état vibrationnel

v et  $\{v\}$  L'ensemble des nombres quantiques vibrationnels  $\{v\} = \{v_1\} \dots \{v_{12}\}$ .

 $C_{v_i}$  est égal à  $\Gamma_i$  pour  $v_i$  impair ou  $A_g$  pour  $v_i$  pair.

Les vecteurs de base rovibrationnels sont construits par produit tensoriel des vecteurs de base précédents suivant le même couplage de tout opérateur tensoriel (tel l'Hamiltonien) :

$$|\{v\}\mathcal{C}_v, Jn_r\mathcal{C}_r; \mathcal{C}\rangle = \left| (\psi^{Jn_r\mathcal{C}_r} \times \psi^{\{v\}\mathcal{C}_v})^{(\mathcal{C})} \right\rangle$$
 (II.11)

Avec

$$C = C_r \otimes C_v \tag{II.12}$$

#### II-1-3- Hamiltonien transformé effectif et base propre

La matrice Hamiltonien rovibrationnel effective étant infinie, nous sommes amenés à appliquer des transformations de contact sur H. Cela nous permettra de revenir à des dimensions finies en ne considérant que certains états ou groupes d'états (dits polyades) vibrationnels. Une transformation T unitaire est appliquée à l'Hamiltonien rovibrationnel H et nous obtenons l'hamiltonien transformé : [45]

$$\widetilde{H} = T^{-1}HT \tag{II.13}$$

Après la transformation unitaire T, les valeurs propres de l'hamiltonien restent inchangées et l'équation de Schrödinger devient :

$$\widetilde{H}\widetilde{\emptyset} = E\widetilde{\emptyset}$$
 (II.14)

Ou les nouvelles fonctions d'onde sont

$$\widetilde{\emptyset} = T\emptyset$$
 (II.15)

La transformation unitaire est choisie telle que

$$T = e^{i\lambda S} (II.16)$$

L'opérateur S est donc hermétique et T peut s'écrire comme un développement limité :

$$T = 1 + i\lambda S - \frac{1}{2}\lambda^2 S^2 + \cdots$$
 (II.17)

Ainsi que T<sup>-1</sup>:

$$T^{-1} = 1 - i\lambda S - \frac{1}{2}\lambda^2 S^2 + \cdots$$
 (II.18)

En remplaçant ces expressions dans l'Equation (II.10),

$$\widetilde{H} = H - i\lambda[S, H] - \frac{1}{2}\lambda^2[S, [S, H]] + \cdots.$$
 (II.19)

En posant

$$\widetilde{H}_n = H_n + i[S, H_{n-1}] - \frac{1}{2} [S, [S, H_{n-2}]] + \dots + \frac{i^n}{n} [S, [S, \dots [S, H_0] \dots]].$$
 (II.20)

L'opérateur S est choisi tel que la matrice du terme  $\widetilde{H}_1$  de l'Hamiltonien transformé soit complètement diagonale ou diagonale par blocs. Le nouvel Hamiltonien transformé s'écrit :

$$\widetilde{H} = T'^{-1}T^{-1}HTT' \tag{II.21}$$

Dans le formalisme tensoriel, l'opérateur S de transformation de contact s'écrit :

$$S = \sum_{indices} s_{\{n_S\}\{m_S\}}^{\Omega(K,n\Gamma_r)\Gamma_1\Gamma_2A_g} \otimes S_{\{n_S\}\{m_S\}}^{\Omega(K,n\Gamma_r)\Gamma_1\Gamma_2A_g}$$
 (II.22)

S est un opérateur rovibrationnel formellement semblable à ceux de l'Hamiltonien initial H, de symétrie Ag, tel que  $\Omega \geq 2$ . Les s sont les paramètres de cet opérateur. Ainsi, nous pouvons écrire l'Hamiltonien transformé sous la forme :

$$H = \sum_{indices} \tilde{t}_{\{n_s\}\{m_s\}}^{\Omega(K,n\Gamma_r)\Gamma_1\Gamma_2\Gamma_v} \otimes T_{\{n_s\}\{m_s\}}^{\Omega(K,n\Gamma_r)\Gamma_1\Gamma_2\Gamma_v}$$
 (II.23)

La matrice de l'Hamiltonien effectif à champ nul  $\widetilde{H}_0$ , Si la matrice  $D_{\widetilde{H}_0}$  diagonalise  $\widetilde{H}_0$ , c'est-à-dire :

$$D_{\widetilde{H}_0} = D_{\widetilde{H}_0}^{-1} \widetilde{H}_0 D_{\widetilde{H}_0} \tag{II.24}$$

Alors les vecteurs propres  $de\widetilde{H}_0$  sont combinaisons linéaires des vecteurs de base  $\{|Jn_rC_r,\{v\}C_{v,c}\}\}$  et sont obtenues suivant la transformation :

$$|J,C_{\alpha}\rangle = \sum_{J,n_rC_r,\{v\}C_v} \left[D_{\widetilde{H}_0}\right]_{(Jn_rC_r,\{v\}C_v)}^{(J,C_{\alpha})} |Jn_rC_r,\{v\}C_v;C\rangle \quad \textbf{(II.25)}$$

Ou les  $\left[D_{\widetilde{H}_0}\right]_{(In_rC_r,\{v\}C_v)}^{(J,C_\alpha)}$  sont les éléments de la matrice de passage d'une base à l'autre, $D_{\widetilde{H}_0}$ 

# II-1-4- Eléments matriciels et règles de sélection

Pour connaître les éléments matriciels de l'Hamiltonien, il suffit de calculer ceux des opérateurs rovibrationnels  $(R^{\Omega(K,n\Gamma)} \otimes {}^{\varepsilon}V_{\{n_s\}\{m_s\}}^{\Gamma_1\Gamma_2\Gamma})^{(A_g)}$ , dont l'Hamiltonien effectif (**II.23**) est une combinaison linéaire.

Nous découplons les opérateurs rotationnels et vibrationnels sur leurs espaces respectifs:

$$\left\langle J'n_rC'_{r},\{v'\}C'_{v};C'\right\|(R^{\Omega(K,n\Gamma)}\otimes \,^{\varepsilon}V_{\{n_s\}\{m_s\}}^{\Gamma_1\Gamma_2(\Gamma)})^{\left(A_g\right)}\|Jn_rC_r,\{v\}C_v;C\rangle=0$$

$$\begin{cases}
\Gamma & C_r & C'_r \\
\Gamma & C_v & C'_v \\
A & C & C'
\end{cases} \langle J' n_r C'_r \| R^{\Omega(K,n\Gamma)} \| J n_r C_r \rangle \langle \{v'_s\} C'_v \| {}^{\varepsilon} V_{\{n_s\}\{m_s\}}^{\Gamma_1 \Gamma_2(\Gamma_v)} \| \{v_s\} C_v \rangle. \tag{II.26}$$

Connaissant les conditions d'existence du symbole 9C, nous pouvons l'écrire simplement comme

$$\begin{Bmatrix}
\Gamma & C_r & C'_r \\
\Gamma & C_v & C'_v \\
A & C & C'
\end{Bmatrix} = \delta_{\Gamma \times C_r, C'_r} \delta_{\Gamma \times C_v, C'_v} \delta_{C_r \times C_v, C} \delta_{C, C'} \tag{II.27}$$

Sachant que:

$$C_r \times C_v = C \tag{II.28}$$

La matrice d'un opérateur  $R^{\Omega(K)}$  dans la base rotationnelle est toujours diagonale en J, ce qui donne, après application de la relation de Wigner-Eckart :

$$\langle J'n'_rC'_r \| R^{\Omega(K,n\Gamma)} \| Jn_rC_r \rangle = \delta_{J,J'} \Xi_{C_r} F \begin{pmatrix} K & J & J \\ n\Gamma_r & n_rC_r & n'_rC'_r \end{pmatrix} \langle J \| R^{\Omega(K)} \| J \rangle, \qquad (II.29)$$

Sachant que, dans notre formalisme, nous avons :

$$F\begin{pmatrix} K & J & J \\ n\Gamma_r & n_rC_r & n'_rC'_r \end{pmatrix} = K\begin{pmatrix} K & J & J \\ n\Gamma_r & n_rC_r & n'_rC'_r \end{pmatrix}$$
 (II.30)

$$\langle C' | T^{(C_0)} | C \rangle = \langle C' | | T^{(C_0)} | | C \rangle$$
(II.31)

Les éléments matriciels réduits de ces opérateurs dans O(3) se calculent comme suit :

Et 
$$(2K - 1)!! = (2K - 1)(2K - 3) \times ... \times 2$$
 ou 1 si  $K > 0$  ou = 1 sinon.

Les éléments matriciels de l'Hamiltonien à champ nul sont combinaisons linéaires de ceux des opérateurs rovibrationnels  $T^{\{i\}}$ :

$$\left\{ \{v'_{s}\}C'_{v'}J'n'_{r}C'_{r'}; C' \| (R^{\Omega(K,n\Gamma)} \otimes {}^{\varepsilon}V_{\{n_{s}\}\{m_{s}\}}^{\Gamma_{1}\Gamma_{2}(\Gamma)})^{(A_{g})} \| \{v_{s}\}C_{v'}Jn_{r}C_{r'}; C\} = \right. \\
\left. \delta_{J,J'}\delta_{\Gamma \times C_{r},C'_{r}}\delta_{\Gamma \times C_{v},C'_{v}}\delta_{C_{r} \times C_{v},C}\delta_{C,C'}\Xi_{C_{r}}F\begin{pmatrix} K & J & J \\ n\Gamma_{r} & n_{r}C_{r} & n'_{r}C'_{r} \end{pmatrix} \times \\
\left. \langle J \| R^{\Omega(K)} \| J \rangle \left\langle \{v'_{s}\}C'_{v} \| {}^{\varepsilon}V_{\{n_{s}\}\{m_{s}\}}^{\Gamma_{1}\Gamma_{2}(\Gamma)} \| \{v_{s}\}C_{v} \right\rangle. \tag{II.32}$$

Les règles de sélection sont directement déduites des éléments matriciels réduits de l'Hamiltonien donnés ci-dessus :

$$\Delta I = 0, \Delta M = 0, C' = C.$$
 (II.33)

## II-2- Moments de transition

Afin de pouvoir calculer les intensités des transitions rovibrationnelles, nous avons besoin de définir deux grandeurs : le moment dipolaire et la polarisabilité. De plus, l'opérateur moment dipolaire va être utilisé pour le calcul de l'intensité de transition Stark. Il est alors nécessaire de construire un modèle pour ces moments de transition adapté à notre groupe de symétrie en utilisant la chaîne de groupe  $D_{2h}$ .

#### II-2-1- Moments de transition initiaux

Les composantes du moment dipolaire dans le repère du laboratoire  $\mu_{\Theta}$  ( $\Theta=X,\,Y,\,Z$ ) peuvent être exprimées comme une combinaison linéaire des composantes du moment dipolaire dans le repère moléculaire  $\mu_{\Theta}$  ( $\Theta=x,\,y,\,z$ ) :

$$\mu_{\Theta} = \sum_{\theta} \lambda_{\Theta\theta} \mu_{\theta}. \tag{II.34}$$

Les coefficients  $\lambda_{\Theta\theta}$  du développement sont les cosinus directeurs entre les axes  $(O\Theta)$  et  $(O\theta)$ . Si l'on se place dans la limite des faibles oscillations, chaque composante  $\mu_{\theta}$  peut être développée en série des coordonnées normales sans dimension :

$$\mu_{\theta} = \mu_{\theta_e} + \sum_{s} \left(\frac{\partial \mu_{\theta}}{\partial \mu_{s}}\right)_{e} q_{s} + \frac{1}{2} \sum_{s,s'} \left(\frac{\partial^{2} \mu_{\theta}}{\partial q_{s} \partial q_{s'}}\right)_{e} q_{s} q_{s'} + \cdots$$
 (II.35)

Le terme,  $\mu_{\theta_e}$  est le moment dipolaire permanent de la molécule ;

Les composantes de la polarisabilité dans le repère du laboratoire  $\alpha_{\Theta_1\Theta_2}(\Theta_1, \Theta_2 = X, Y, Z)$  peuvent être exprimées comme une combinaison linéaire des composantes de la polarisabilité dans le repère moléculaire  $\alpha_{\Theta_1\Theta_2}(\Theta_1, \Theta_2 = x, y, z)$ :

$$\alpha_{\Theta_1\Theta_2} = \sum_{\theta_1\theta_2} \lambda_{\Theta_1\theta_1} \lambda_{\Theta_2\theta_2} \alpha_{\theta_1\theta_2}$$
 (II.36)

Dans l'approximation de mouvements de faible amplitude, la polarisabilité dans le repère moléculaire peut être développée en série des coordonnées normales :

$$\alpha_{\theta_1 \theta_2} = (\alpha_{\theta_1 \theta_2})_e + \sum_s \left(\frac{\partial \alpha_{\theta_1 \theta_2}}{\partial q_s}\right)_e q_s + \frac{1}{2} \sum_{s,s'} \left(\frac{\partial^2 \alpha_{\theta_1 \theta_2}}{\partial q_s \partial q_{s'}}\right)_e q_s q_{s'} + \cdots$$
 (II.37)

On appelle  $(\alpha_{\theta_1\theta_2})_e$  la polarisabilité permanente. Les autres termes non-nuls définissent alors la polarisabilité induite par les vibrations de la molécule.

#### II-2-2- Moments de transition transformés

Les fonctions propres de Hamiltonien transformé (effectif)  $\widetilde{H}$  s'expriment par :

$$\tilde{\phi} = T\phi \tag{II.38}$$

Nous avons donc les relations :

$$\langle \tilde{\phi}' | \tilde{\mu} | \tilde{\phi} \rangle = \langle \phi' | \mu | \phi \rangle \tag{II.39}$$

Avec l'opérateur transformé

$$\tilde{\mu}T^{-1}\mu T \tag{II.40}$$

$$\langle \tilde{\phi}' | \tilde{\alpha} | \tilde{\phi} \rangle = \langle \phi' | \alpha | \phi \rangle \tag{II.41}$$

$$\tilde{\alpha} = T^{-1}\alpha T \tag{II.42}$$

La transformation unitaire considérée est la même que celle appliquée à l'Hamiltonien H. L'opérateur T étant rovibrationnels, les composantes des opérateurs transformés  $\tilde{\mu}$  et  $\tilde{\alpha}$  sont également de type rovibrationnels.

De même que pour l'Hamiltonien initial, nous appliquons les transformations successives S, S', etc. Le moment dipolaire effectif  $\tilde{\mu}^{(Au)}$  est un tenseur de type rovibrationnel. Ses composantes dans le repère fixe s'écrivent à l'aide d'un produit symétrisé :

$$\tilde{\mu}_{\Theta} = \frac{1}{2} \sum_{\theta} (\lambda_{\Theta\theta} \tilde{\mu}_{\theta} + \tilde{\mu}_{\theta} \lambda_{\Theta\theta})$$
 (II.43)

Pour relier les composantes sphériques exprimées dans le repère du laboratoire à celles relatives au repère de la molécule, on utilise les fonctions harmoniques de Wigner :

$$\tilde{\mu}_m^{(1_u)} = \sum_k \mathcal{D}_{km}^{(1_g)} \tilde{\mu}_k^{(1_u)}$$
 (II.44)

où k, m = -1, 0, 1 et  $\tilde{\mu}_m^{(-1_u)}$  sont les composantes sphériques dans le repère du laboratoire.

Les  $\tilde{\mu}_k^{(-1_u)}$  sont les composantes sphériques dans le repère lié à la molécule. Par la suite, nous utiliserons l'opérateur cosinus directeur C défini comme :

$$\mathcal{D}_{km}^{(1g)} = (-1)^k C_{-k}^{(1g)}$$
 (II.45)

Ou m est ignoré pour simplifier la notation.

Nous en déduisons que :

$$\tilde{\mu}_{m}^{(1_{u})} = \sum_{k} (-1)^{k} C_{-k}^{(1_{g})} \mu_{k}^{(1_{u})} = -\sqrt{3} \left[ C^{(1_{g})} \times \tilde{\mu}^{(1_{u})} \right]^{(0_{g})}$$
(II.44)

ou intervient, comme dans (3.7), le produit symétrisé (entre crochets) :

$$\left[A^{(C_1)} \otimes B^{(C_2)}\right]^{(C_0)} = \frac{1}{2} \left( \left(A^{(C_1)} \otimes B^{(C_2)}\right)^{(C_0)} + \left(B^{(C_2)} \otimes A^{(C_1)}\right)^{(C_0)} \right)$$
 (II.45)

Les composantes cartésiennes peuvent être reliées aux composantes sphériques à l'aide des coefficients de Stone :

$$\tilde{\mu}_{\Theta} = \sum_{m} \langle 1; m | \Theta \rangle \, \tilde{\mu}_{m}^{(1_{u})} \tag{II.46}$$

Finalement, on montre que:

$$\tilde{\mu}_{\Theta}^{(0_u,A_u)} = \sqrt{3} \sum_m \langle 1; m | \Theta \rangle \sum_{\Gamma} \left[ \mathcal{C}^{(1_g,0\Gamma_g)} \otimes \tilde{\mu}^{(1_u\Gamma_u)} \right]^{(0_u,A_u)} \quad \textbf{(II.47)}$$

Nous pouvons exprimer le terme  $\tilde{\mu}^{(1_u\Gamma_u)}$ comme une somme.

$$\tilde{\mu}_{\Theta}^{(A_u)} = \sum_{m} \langle 1; m | \Theta \rangle \sum_{\Gamma} \sum_{\{i\}} \tilde{\mu}^{(1_g, 0\Gamma_u), \{i\}} \left[ \mathcal{C}^{(1_g, 0\Gamma_g)} \otimes M^{(\{i\}, \Gamma_u)} \right]^{(A_u)} \quad \textbf{(II.48)}$$

Avec

$$M^{(\{f\},\Gamma_u)} = \left(R^{\Omega(K,n\Gamma)} \otimes^{(-1)^k} V_{\{n_s\}\{m_s\}}^{\Gamma_1 \Gamma_2(\Gamma_v)}\right)^{(\Gamma_u)}$$
 (II.49)

 $\Gamma_u$  est un opérateur rovibrationnels de symétrie,  $\{i\}$  d'indices rotationnels et vibrationnels,  $\tilde{\mu}^{(1_g,0\Gamma_u),\{i\}}$ sont les paramètre transformés :

$\langle 1; m   \Theta \rangle$					$\langle L; m \Theta_1\Theta_2 \rangle$				
1	m	X	Y	Z	L m XX YY ZZ XY XZ YZ				
1	1	$\frac{1}{\sqrt{2}}$ -	$-\frac{i}{\sqrt{2}}$	0	$0  0  -\frac{1}{\sqrt{3}}  -\frac{1}{\sqrt{3}}  -\frac{1}{\sqrt{3}}  0  0  0$				
1	0	0	0	1	$2 - 2 \qquad \frac{1}{2}  -\frac{1}{2} \qquad 0  -\frac{i}{2}  0  0$				
					$2 - 1  0  0  0  \frac{1}{2} - \frac{i}{2}$				
1	-1	$-\frac{1}{\sqrt{2}}$	$-\frac{1}{\sqrt{2}}$	0	$2  0  -\frac{1}{\sqrt{3}}  -\frac{1}{\sqrt{6}}  \sqrt{\frac{2}{3}}  0  0  0$				
					$2  1  0  0  0  -\frac{1}{2} - \frac{i}{2}$				
					$2  2  \frac{1}{2}  -\frac{1}{2}  0  \frac{i}{2}  0  0$				

Tab II.1: Coefficients de Stone

Par le même raisonnement que pour le moment dipolaire, nous avons pour la polarisabilité transformée :

$$\tilde{\alpha}_{\Theta_1\Theta_2} = \frac{1}{2} \sum_{\theta_1\theta_2} (\lambda_{\Theta_1\theta_1} \lambda_{\Theta_2\theta_2} \tilde{\alpha}_{\theta_1\theta_2} + \tilde{\alpha}_{\theta_1\theta_2} \lambda_{\Theta_1\theta_1} \lambda_{\Theta_2\theta_2})$$
 (II.50)

Dans O(3), la polarisabilité est un tenseur d'ordre  $L_g=0$  (partie isostrope) ou  $L_g=2$  (partie anisostrope). Les composantes sphériques  $\tilde{\alpha}_m^{(L_g)}$  de ce tenseur dans le repère du laboratoire sont reliées aux composantes sphériques  $\tilde{\alpha}_k^{(L_g)}$  dans le repère moléculaire comme suit :

$$\tilde{\alpha}_m^{(L_g)} = \sum_k D_{km}^{(L_g)} \tilde{\alpha}_k^{(L_g)} \tag{II.51}$$

Où  $|k| \le L_q$ . Si posant

$$D_{km}^{(L_g)} = (-1)^k C_{-k}^{(L_g)}$$
 (II.52)

à écrire:

$$\tilde{\alpha}_{m}^{(L_{g})} = \sum_{k} (-1)^{k} C_{-k}^{(L_{g})} \tilde{\alpha}_{k}^{(L_{g})} = (-1)^{(L_{g})} \sqrt{2L_{g} + 1} \left( C^{(L_{g})} \times \tilde{\alpha}^{(L_{g})} \right)^{(0_{g})}$$
(II.53)

Le lien entre les composantes cartésiennes et sphériques s'exprime par :

$$\tilde{\alpha}_{\Theta_1\Theta_2} = \sum_{L=0,2} \sum_{m} \langle L, m | \Theta_1 \Theta_2 \rangle \tilde{\alpha}_m^{(L_g)}$$
(II.54)

soit

$$\tilde{\alpha}_{\Theta_{1}\Theta_{2}}^{(0_{g},A_{g})} \sum_{L=0,2} \sum_{m} \langle L, m | \Theta_{1}\Theta_{2} \rangle \sum_{n\Gamma} \left[ \mathcal{C}^{(L_{g},n\Gamma_{g})} \otimes \tilde{\alpha}^{(L_{g},n\Gamma_{g})} \right]^{(0_{g},A_{g})}$$
(II.55)

Par la suite,

$$\tilde{\alpha}_{\Theta_1\Theta_2}^{(A_g)} = \sum_{L=0,2} \sqrt{2L_g + 1} \sum_{m} \langle L, m | \Theta_1 \Theta_2 \rangle$$
 (II.56)

$$\sum_{n\Gamma} \sum_{\{i\}} \tilde{\alpha}^{(L_g, n\Gamma_g), \{i\}} \left[ C^{(L_g, n\Gamma_g)} \otimes P^{(\{i\}, \Gamma_g)} \right]^{(A_g)}$$
(II.57)

Avec

$$P^{(\{i\},\Gamma_g)} = \left(R^{\Omega(K,n_r\Gamma_r)} \otimes^{(-1)^k} V_{\{n_s\}\{m_s\}}^{\Gamma_1 \Gamma_2(\Gamma_v)}\right)^{(\Gamma_g)}$$
(II.58)

Est un opérateur rovibrationnels de symétrie  $\Gamma_g$  dans  $D_{2h}$  et d'indices rovibrationnels  $\{i\}$ . Les  $\tilde{\alpha}^{\{i\}}$ sont des paramètres du développement.

#### II-2-3- Eléments matriciels et règles de sélection

Nous donnerons simplement les expressions des éléments matriciels des opérateurs de base dont le moment dipolaire et la polarisabilité sont respectivement combinaisons linéaires.

$$\left[C^{(1_g,\Gamma_g)} \otimes M^{(\{i\},\Gamma_u)}\right]^{(A_u)} et \left[C^{(L_g,n\Gamma_g)} \otimes P^{(\{i\},\Gamma_g)}\right]^{(A_g)}$$
(II.59)

Comme pour le moment dipolaire, l'expression pour les éléments matriciels de la polarisabilité s'obtient en utilisant les expressions obtenues avec le théorème de Wigner-Eckart :

$$\left\langle \{v'_{s}\}C'_{v'},J'n'_{r}C'_{r'};C'\left[C^{(L_{g},n\Gamma_{g})}\otimes P^{(\{i\},\Gamma_{g})}\right]^{(A_{g})}\|\{v_{s}\}C_{v'},Jn_{r}C_{r'};C\rangle\frac{1}{2}\delta_{C,C'}\langle J'^{\|C^{(L)}\|}J\rangle\right.$$

$$\langle \{v'_{s}\}C'_{v} \parallel {}^{\varepsilon}V_{\{n_{s}\}\{m_{s}\}}^{\Gamma_{1}\Gamma_{2}(\Gamma_{v})} \parallel \{v_{s}\}C_{v}\rangle \Xi_{C_{r}}\sum_{n''_{r}C''_{r}} \left[\Xi_{C''_{r}}\delta_{\Gamma_{r}\times C_{r},C''_{r}}\delta_{\Gamma_{r}\times C_{v},C'_{v}} \times F\left(\begin{matrix} L & J & J \\ n\Gamma & n''_{r}C''_{r} & n'_{r}C'_{r} \end{matrix}\right)F\left(\begin{matrix} K & J & J \\ n\Gamma_{r} & n_{r}C_{r} & n''_{r}C''_{r} \end{matrix}\right)\langle J \parallel R^{\Omega(K)} \parallel J \rangle + \Xi_{C''_{r}}\delta_{\Gamma_{r}\times C''_{r},C'_{r}}\delta_{\Gamma_{r}\times C_{v},C'_{v}} \times F\left(\begin{matrix} L & J & J & J \\ n\Gamma & n_{r}C_{r} & n''_{r}C''_{r} \end{matrix}\right)F\left(\begin{matrix} K & J & J \\ n\Gamma_{r} & n''_{r}C''_{r} & n'_{r}C''_{r} \end{matrix}\right)\langle J' \parallel R^{\Omega(K)} \parallel J' \rangle \right]$$
(II.60)

Les règles de sélection s'obtiennent facilement à partir des équations (II.57). Nous les donnons dans le Tableau (II.2).

	μ	$lpha^{(0)}$ $lpha^{(0)}$
$\Delta J$	0, <u>±</u> 1	$0  0, \pm 1, \pm 2$
$\Delta J$	0, <u>±</u> 1	$0  0, \pm 1, \pm 2$
<i>C'</i>	$C \otimes A_u$	C C

Tab II-2: Règles de sélection pour les opérateurs moment dipolaire et polarisabilité

#### II-3- Intensité des transitions

#### II-3-1- Généralités

Un rayonnement électromagnétique est absorbé dans un milieu gazeux par la loi de Beer-Lambert :

$$I_t(\sigma) = I_0(\sigma)e^{-lk(\sigma,p)}$$
 (II.61)

Avec  $I_0(\sigma)$  est l'intensité du faisceau incident au nombre d'onde, et  $I_t(\sigma)$  est l'intensité transmise après une distance l traversée dans le gaz,  $k(\sigma, p)$  est le coefficient d'absorption spectrale linéique à la pression p.

On définit:

$$A(\sigma) = \frac{I_0(\sigma) - I_t(\sigma)}{I_0(\sigma)} = 1 - e^{-lk(\sigma, p)}$$
 (II.62)

Pour une transition donnée s'écrit :

$$S_{if}(p) = \int_0^{+\infty} k(\sigma, p) d\sigma$$
 (II.63)

Avec  $|i\rangle \equiv |J, C, \alpha\rangle$  et  $|f\rangle \equiv |J', C', \alpha'\rangle$  les états initial et final respectivement, pour des pressions faibles en définit un coefficient d'absorption par unité de pression exprimé en cm<sup>2</sup> atm<sup>-1</sup>:

$$S_{if}^p = \frac{S_{if}(p)}{p} \tag{II.64}$$

On peut réécrire

$$S_{if}^{p} = \frac{LT_0}{TN_V} S_{if}(p)$$
 (II.65)

Avec

Le nombre de Loschmidt L=2,686754. $10^{19}$ cm<sup>-3</sup>, la température de référence  $T_0$ =273.15 K, la température du gaz T en K, et le nombre volumique de molécules absorbantes  $N_V$ .

#### II-3-2- Intensités dipolaires électriques et Raman

Le coefficient intégré par unité de pression est l'intensité de la transition  $|i\rangle \square |f\rangle$  au nombre d'onde. Pour le moment dipolaire en absorption, cette dernière est fonction du carré de l'élément matriciel d'une composante du moment de transition transformé dans le repère du laboratoire :

$$S_{if}^{p} = \frac{8\pi^{3}}{hcQ(T)} \frac{LT_{0}}{T} \sigma_{if} e^{-\frac{hcE_{i}}{kT}} \left( 1 - e^{-\frac{hc\sigma_{if}}{kT}} \right) g_{i} \sum_{M_{i},M_{f}} \left| \left\langle \widetilde{\Phi}_{f} \middle| \widetilde{\mu}_{Z} \middle| \widetilde{\Phi}_{i} \right\rangle \right|^{2}$$
(II.66)

Dans le cas du groupe de symétrie  $D_{2h}$ , il dépend de la symétrie totale de l'état  $|i\rangle$ :

$$g_{i} = \begin{cases} 7 & si \quad C_{i} = A_{r}, \\ 3 & si \quad C_{i} = B_{1r}, \\ 3 & si \quad C_{i} = B_{2r}, \\ 3 & si \quad C_{i} = B_{3r}, \end{cases}$$
 (II.67)

Ou r peut être la parité g ou u.

Q(T) est la fonction de partition totale du syst\_eme, produit d'une fonction vibrationnelle  $Q_v$  et d'une fonction rotationnelle  $Q_r$ : Q(T) =  $Q_v \times Q_r$ . La fonction vibrationnelle s'exprime en fonction des énergies des 12 modes fondamentaux de la molécule :

$$Q_v = \prod_{n=1}^{12} \left( 1 - e^{-\frac{hcv_n}{kT}} \right)^{-g_{vn}}$$
 (II.68)

Et  $Q_r$  la fonction rotationnelle est égale :

$$Q_r = \sum_n (2J+1) e^{-\frac{hcE_n}{kT}}$$
 (II.69)

la fréquence harmonique et la dégénérescence du mode vibrationnel n respectivement par  $v_n$  et  $g_{vn}$ .

L'intensité dipolaire électrique est égale à :

$$S_{if} = K_{if} g_i e^{-\frac{hcE_i}{kT}} \sum_{M_i, M_f} \left| \left\langle \widetilde{\Phi}_f \middle| \widetilde{\mu}_Z \middle| \widetilde{\Phi}_i \right\rangle \right|^2$$
 (II.70)

Avec

$$K_{if} = \frac{8\pi^3}{hcQ(T)} \frac{LT_0}{T} \sigma_{if} \left( 1 - e^{-\frac{hc\sigma_{if}}{kT}} \right)$$
 (II.71)

De plus, en l'absence de champ \_électrique, il y a dégénérescence des états en fonction du nombre quantique M. Cela entrante une sommation des éléments matriciels du moment dipolaire sur  $M_i$  et $M_f$ .

L'intensité Raman est égale à :

$$I_{if} = K'_{if} g_i e^{-\frac{hcE_i}{kT}} \sum_{\Theta_1,\Theta_2} \sum_{M_i,M_f} \left| \left\langle \widetilde{\Phi}_f \middle| \widetilde{\alpha}_{\Theta_1,\Theta_2} \middle| \widetilde{\Phi}_i \right\rangle \right|^2$$
 (II.72)

 $K'_{if}$  est une constante.

A partir de l'équation (2.38), on montre pour les molécule tétraédrique :

$$\sum_{M_i,M_f} \left| \left\langle \widetilde{\Phi}_f \middle| \widetilde{\alpha}_{\Theta_1,\Theta_2} \middle| \widetilde{\Phi}_i \right\rangle \right|^2 = (2J_i + 1) \left( 2J_f + 1 \right) \times \left( S_0 \middle| U_0(\alpha_i, \alpha_f \middle|^2 + S_2 \middle| U_2(\alpha_i, \alpha_f \middle|^2) \right)$$
 (II.73)

Avec

$$S_0 = \sum_{\Theta_1,\Theta_2} |\langle 0,0|\Theta_1\Theta_2\rangle|^2 \quad et \, S_5 = \frac{1}{5} \sum_{\Theta_1,\Theta_2,m} |\langle 2,m|\Theta_1\Theta_2\rangle|^2 \tag{II.74}$$

Par d'exemples:

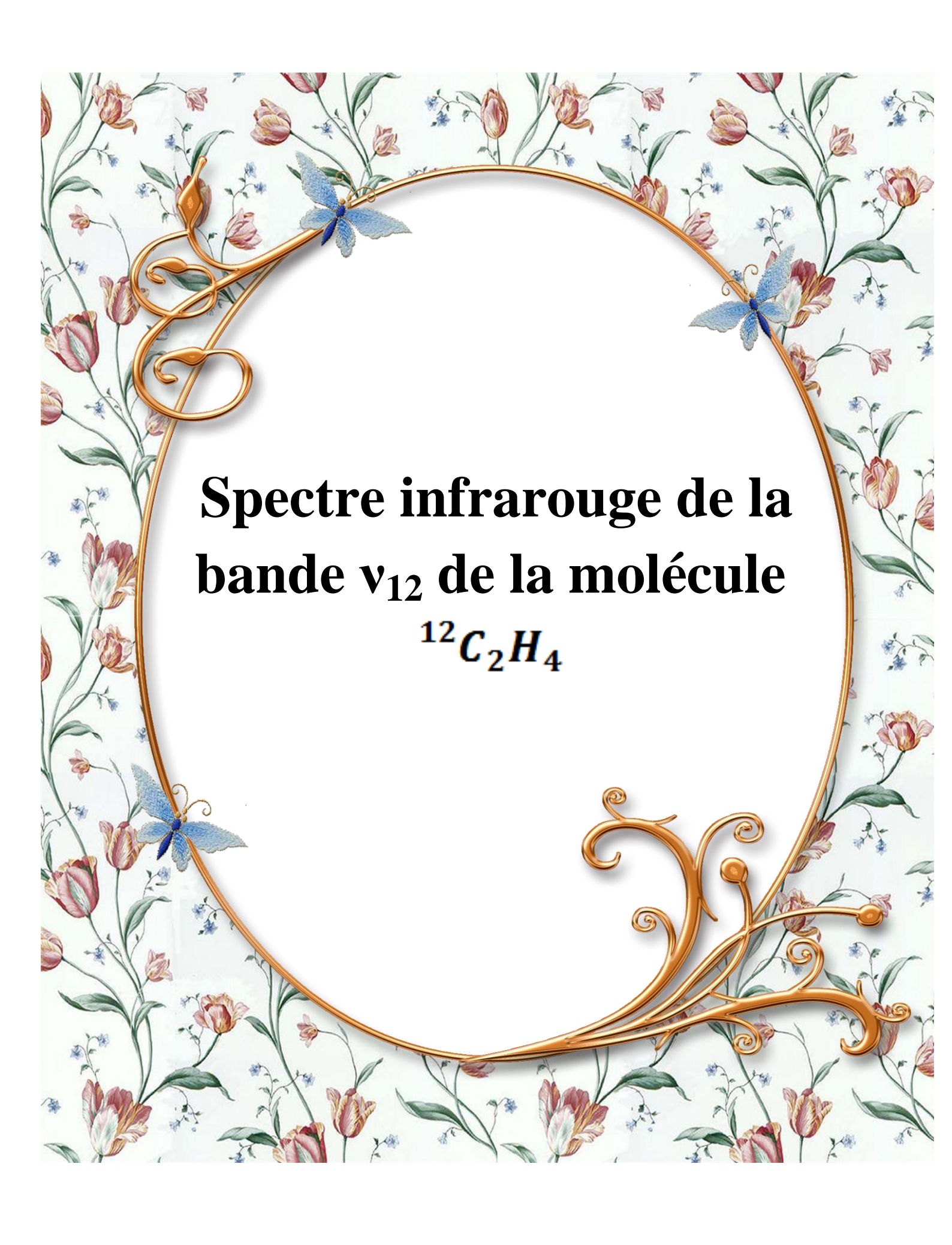
si les champs laser sonde $\vec{E}_s$  et pompe  $\vec{E}_p$  sont polarisés parallèlement (Raman stimulé) et suivant l'axe OZ, nous avons :

$$\Theta_1\Theta_2 = ZZ$$
  $S_0 = \frac{1}{3} S_2 = \frac{2}{15}$   $\Delta J = 0, \pm 1, \pm 2,$  (II.75)

si les champs laser sonde $\vec{E}_s$  et pompe  $\vec{E}_p$  sont polarisés perpendiculairement et sont tels que  $\vec{E}_p \|OZ$  et  $\vec{E}_s \|O$ , nous avons

$$\Theta_1\Theta_2 = XZ$$
  $S_0 = 0$   $S_2 = \frac{1}{10}$   $\Delta J = 0, \pm 1, \pm 2,$  (II.76)

Les formules d'intensités ci-dessus ne sont valables qu'en l'absence de champ électrique. Le calcul des intensités dipolaires et Raman pour les transitions rovibrationnels Stark est donné dans la Deuxième Partie.



#### III.1) INRODUCTION:

Généralement dans le domaine de la spectroscopie moléculaire, on utilise une méthode itérative d'analyse numérique dérivée de la méthode des moindres carrées, pour déterminer les paramètres de l'Hamiltonien, et pour rapprocher le plus possible les grandeurs observées aux grandeurs calculées.

Les spectroscopistes ont toujours œuvré pour rendre leurs résultats disponibles à tous les chercheurs. Ainsi, beaucoup de logiciels ont été mis au point et sont généralement disponibles gratuitement via le web. Parmi ces logiciels. Le logiciel SPFIT et SPCAT développés par Pickett au JPL (Jet propulsion Laboratory, California [46], et il existe d'autres logiciels à interface graphique. Par exemple, le PGOPHER. [47] Le groupe de Dijon a commencé à développer ses propres logiciels de simulation et d'analyse des spectres des molécules de hautes symétrie (toupie sphérique) [48]. Ce type de molécules nécessite des outils mathématiques spéciaux [49]. Pouvant être également utilisés pour les autres molécules à faible symétrie [50-52]. Ils ont, donc, réalisé des programmes à interface Java permettant d'analyser et de simuler les spectres rovibrationnels.

Ils ont ainsi regroupé tous ces programmes, pour les différents types de molécules, dans un logiciel à interface graphique nommé "XTDS", en se basant sur les outils mathématiques développé à Dijon (formalisme tensoriel).Pour la même raison, ils ont développé le logiciel "SPVIEW" qui permet de faire des attributions automatiques. Ces deux logiciels sont à interface Java, et qui s'exécutent sur la plus part des systèmes d'exploitation.

Dans ce chapitre, nous donnons un aperçu sur le logiciel XTDS qu'on a utilisée pour calculer et prédire de spectre des transitions rovibrationnelles du bond  $\nu_{12}$  de la molécule  $^{12}C_2H_4$ .

#### III.2) Description de logiciel XTDS:

Les programmes de logiciel "XTDS" se basent sur l'écriture tensorielle de tous les opérateurs, pour calculer et prédire les spectres à haute résolution des molécules à haute symétrie. Jusqu'à présent, il contient des programmes permettant de traiter les spectres des molécules appartenant aux cinq groupes ponctuels, et que chaque groupe possède son propre programme, comme suivant : [46]

- 1. **STDS**: Pour les molécules XY<sub>4</sub> (groupe T<sub>d</sub>).
- 2. **HTDS**: Pour les molécules XY<sub>6</sub> (groupe O<sub>h</sub>).
- 3.  $D_{2h}$  **TDS**: Pour les molécules  $X_2Y_4$  (groupe  $D_{2h}$ ).
- 4.  $C_{4v}$  **TDS** : Pour les molécules  $XY_5Z$  (groupe  $C_{4v}$ ).
- 5.  $C_{2y}$  **TDS**: Pour les molécules  $XY_2Z_2$  (groupe  $C_{2y}$ ).

L'interface graphique de ce logiciel, nous permet une utilisation facile, grâce aux différents onglets. Chaque onglet nous permet de faire :

Création des jobs : L'onglet "Créât a job", nous permet de choisir le type de job à créer.

- -Paramétrer File Création Job: Pour commencer un nouveau projet, il est nécessaire de créer un nouveau fichier de paramètres contenant les caractéristiques de ces paramètres selon le schéma tensoriel décrit dans le deuxième chapitre, avec des valeurs initialement nulles.
- Level Job : Permet de calculer les niveaux d'énergie d'une polyade donnée.
- **Spectrum Job**: Permet de calculer les spectres de transitions (absorption ou Raman).
- Simulation Job : Permet de calculer des spectres simulés sous les conditions de l'expérience.
- Fit Job: Permet d'analyser les fréquences ou les intensités des données observées.

Calcul des niveaux d'énergie et des spectres : Pour calculer les niveaux d'énergie d'une polyade, il faut créer à l'aide de "XTDS" le Job correspondant et qui est "Level Job". Tandis que, pour obtenir des spectres, on utilise "Spectrum Job". La différence entre les deux Jobs, c'est que le premier nécessite la définition de deux polyades (un inférieur et l'autre supérieur).

Tout d'abord, il faut choisir la molécule en question et une valeur maximale de nombre quantique rotationnel principal  $(J_{max})$ , puis on introduit le fichier de paramètres de bande à étudier, selon le schéma :  $[P]n=(I_1,I_2,...,I_N)$ ,N étant le mode normal de vibration, en tenant compte l'ordre de développement de l'Hamiltonien pour les deux polyades (inférieur et supérieur). Après, en précisant le type de transition dip ou pol (pour les spectres d'absorption ou Raman respectivement), la fenêtre de fréquence  $(F_{min}$  et  $F_{max})$ , la température  $(T_{vib}$  et  $T_{rot})$ , l'intensité minimale  $(R_{min})$  et enfin, on donne l'ordre de développement de moment de transition(moment dipolaire ou la polarisabilité).

Calcul des spectres simulés: Une fois le spectre des transition est calculé, on peut faire une simulation ,en précisant les conditions de l'expérience (température, pression, résolution, fenêtre de fréquences, masse molaire,...) et les résultats du spectre calculé (spectr.xy).

Analyse des données expérimentales : L'analyse des données observées, nous permet d'obtenir un bon jeu de paramètres, en utilisant la méthode des moindres carrée pondérée itérative. Ce jeu de paramètres entre dans le développement de l'Hamiltonien. On utilise "Fit Job", et le logiciel "SPVIEW".

En choisissant, tout d'abord le type de fichier à analyser (fréquences ou intensités) pour des valeurs des paramètres utilisées dans le calcul (en précisant l'emplacement de fichier de paramètres), et à l'aide de fichier des attributions obtenu par "SPVIEW", on peut obtenir un nouveau jeu de paramètres utilisé à nouveau dans le calcul et la simulation.

**Visualisation des résultats** : On peut visualiser nos résultats obtenus numériquement sur l'interface graphique de "XTDS", en choisissant l'onglet "Visualize Results", par exemple :

- Les niveaux d'énergie : En utilisant les fichiers "Jener. xy", "Ener[-assign]-Pn" ou "Jener.t", "Starkl.t".
  - Les spectres : En utilisant le fichier "Spectr.xy" ou "Simul.xy".

File Help

Create a job Run a job Visualize results Recompile a package Create a molecule

Choose a Package:

C2vTDS
C4vTDS
D2hTDS
HTDS
STDS

Level Job
Spectrum Job
Simulation Job
Fit Job

- L'écart quadratique moyen : En utilisant le fichier "Perd-mix" crée par "Fit Job".

Fig III-1- L'onglet "Creat a job" dans XTDS

#### III.3) Description de D2hTDS:

Dans notre travail, on s'intéresse à la molécule <sup>12</sup>C<sub>2</sub>H<sub>4</sub> appartenant au groupe D<sub>2h</sub>, et dans le but de calculer les fréquences des transitions rovibrationnelles, on choisit parmi les programmes de "XTDS" le "D2hTDS". Ce programme contient sept répertoires, présentés par le schéma de la **figure (III.1). [39]** 

L'organigramme de la **figure** (**III.2**), explique comment on peut calculer un spectre avec "HTDS". Le premier programme "hmdel" permet de déterminer les opérateurs utilisés dans le développement de l'Hamiltonien à un ordre choisi, selon le schéma tensoriel décrit dans le deuxième chapitre, puis, on définit la base rovibrationnelle par le programme "Rovbas". "Hmatri". Nous permet de calculer les éléments matriciels de l'Hamiltonien et l'utilisation des paramètres dans la formule de l'Hamiltonien et par le programme "Hdi", on peut calculer les fréquences des transitions rovibrationnelles. La suite de ces programmes et faite pour les deux polyades inférieur et supérieur. Puis, on utilise "dipmod" et (respectivement "polmod") et "dipmat" (respectivement "polmod") pour calculer les éléments matriciels de l'opérateur de moment dipolaire (respectivement la polarizabilité). Les deux programmes "trm" et "tra" permis de calculer le moment de transition.

Finalement le programme "spectr" permet de calculer le spectre (fréquences et intensités des raies), en tenant compte les conditions expérimentales.

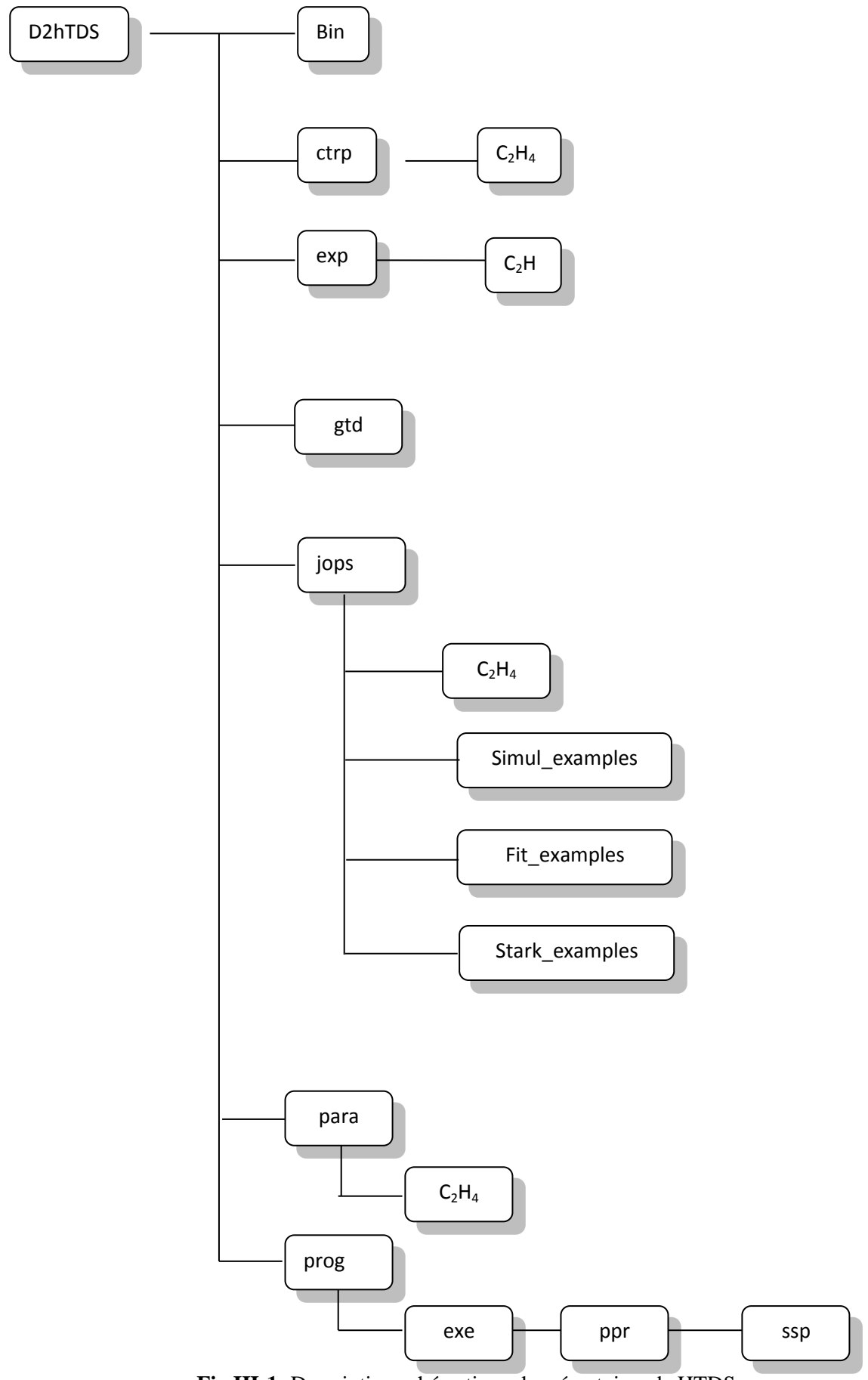
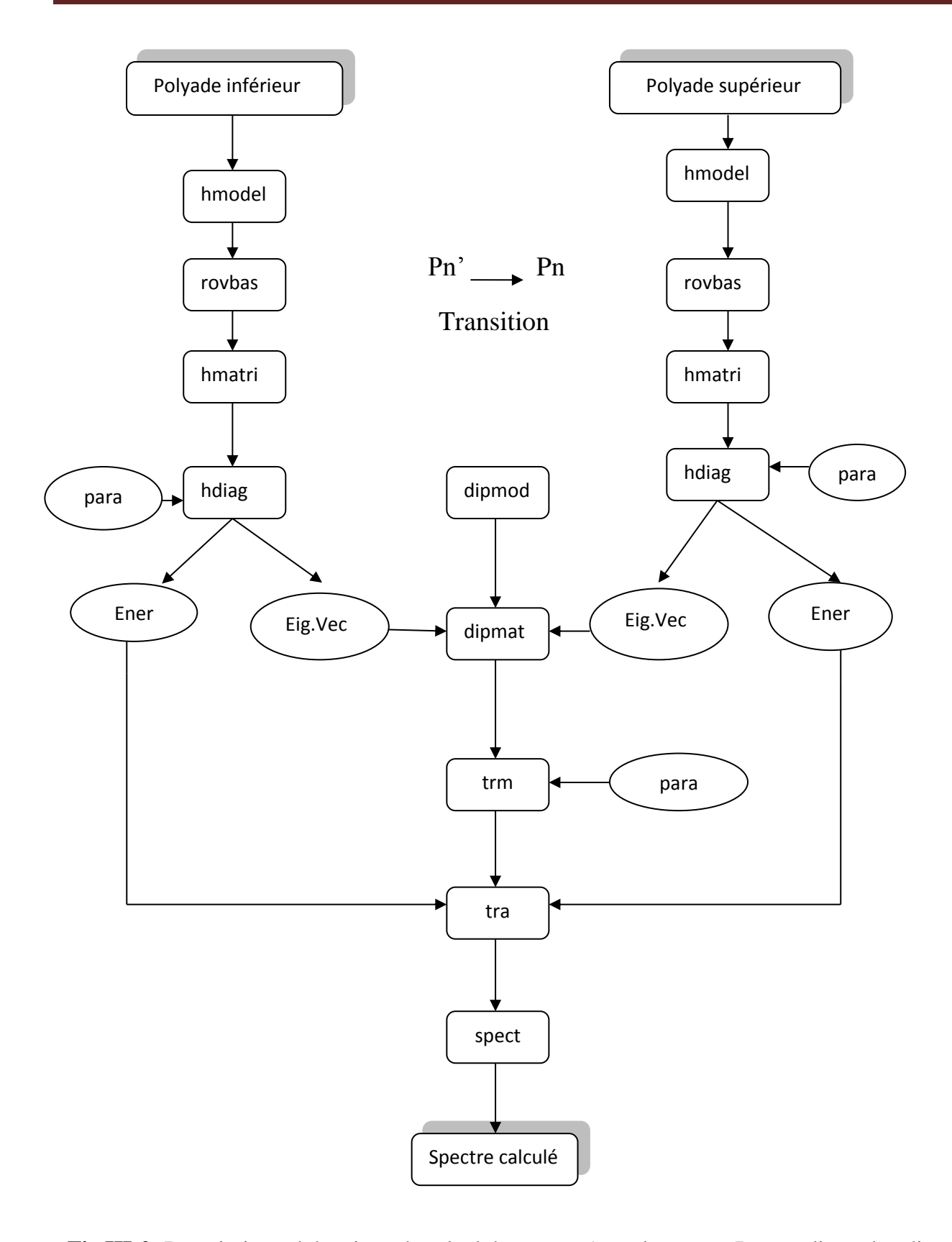


Fig III-1- Description schématique des répertoires de HTDS.



**Fig III-2-** Description schématique de calcul du spectre.(pour le spectre Raman dipmod et dipmat sont remplacés par polmod et polmat respectivement).

# III-4- Calcul des transitions rovibrationnelles de la $v_{12}$ de la molécule ${}^{12}C_2H_4$ :

#### **III-4-1- Introduction**

Les vibrations des atomes et les rotations possibles de la molécule, ainsi que les interactions entre les vibrations et les rotations correspondent à des énergies. [43]

Ces énergies sont propres à chaque molécule appartenant au groupe  $D_{2h}$ . Ce qui veut dire que deux molécule de groupe  $D_{2h}$  ayant des atomes X (ou Y) différents n'ont pas le même ensemble de niveau d'énergie (chaque molécule à un spectre propre).

Ces molécules ont douze modes de vibrations normaux : [45]

- La vibration non dégénérée  $v_1$  de symétrie  $A_g$ , actif en Raman.
- La vibration doublement dégénérée  $\nu_2$  de symétrie  $A_g$ , actif en Raman.
- La vibration triplement dégénérée  $v_3$  de symétrie  $A_g$ , actif en Raman.
- La vibration triplement dégénéréev<sub>4</sub> de symétrie A<sub>u</sub>, inactif.
- La vibration triplement dégénérée  $v_5$  de symétrie  $B_{1g}$ , actif en IR.
- La vibration triplement dégénérée ν<sub>6</sub> de symétrie B<sub>1g</sub>, actif en IR.
- La vibration non dégénérée  $v_7$  de symétrie  $B_{1u}$ , actif en Raman.
- La vibration doublement dégénérée  $v_8$  de symétrie  $B_{2g}$ , actif en IR.
- La vibration triplement dégénérée  $v_9$  de symétrie  $B_{2u}$ , actif en IR.
- La vibration triplement dégénéréev<sub>10</sub> de symétrie B<sub>2u</sub>, actif en Raman.
- La vibration triplement dégénérée  $v_{11}$  de symétrie  $B_{3u}$ , actif en Raman.
- La vibration triplement dégénérée  $v_{12}$  de symétrie  $B_{3u}$ , actif en IR.

Comme nous le savons, il existe quatre types des niveaux d'énergie rovibrationnels  $v_s$  qui sont :

- Le niveau de base ou tous les  $v_s$  sont nuls.
- Les niveaux fondamentaux ou un seul  $v_s$  et non nul et égal 1.
- Les niveaux harmoniques ou un seul  $v_s$  et non nul et différent de 1.
- Les niveaux de combinaisons ou plusieurs  $v_s$  sont non nuls.

Dans ce travail, nous allons donc analyser et calculer le spectre des transitions rovibrationnelles entre le niveau  $\nu_{12}$  et le niveau de base de la molécule  $^{12}C_2H_4$ .

La bande  $v_{12}$  est l'ensemble des transitions rovibrationnelles entre les niveaux rovibrationnelles ayant le nombre quantique  $v_{12} = 1$  et les niveaux de base.

La variation de nombre quantique rotationnel J peut nous donne l'ensemble des niveaux rovibrationnels possibles.

Le niveau vibrationnel  $\nu_{12}$  se décompose en sous niveaux vibrationnels caractérisés par des nombres quantiques secondaires ( $l_s$ ) et par leurs symétries dans le groupe  $O_h$ .

On peut obtenir des niveaux rovibrationnels appartenant au même niveau vibrationnel par la variation des nombres quantiques rotationnels J.

#### III-4-2- Développement de l'Hamiltonien

Le développement de l'Hamiltonien relatif à la bande  $v_{12}$  des molécules  $X_2Y_4$  comporte, et suivant le modèle octaédrique, 54 opérateurs à l'ordre 8, dont 19 relatif au niveau de base GS.

1   11(K, n I)   n, m,	i	$\Omega(K, n \Gamma)$	$n_c$ $\Gamma$	$m_c$ $\Gamma'$	Г	Hmn	Frdm	Value/cm-1	St.Dev./cm-1
2 2(2,0A g) 00000000000A g 000000000000 g A g 02 0 0.30579095560E-01 0.000000E+00 0 0 0 0 0 0 0 0 0 0 0 0 0 0 0									
3 2 (2, 1A, g) 000000000000A g 0000000000000 g A g 0 4 (2, 0A, g) 00000000000000 g A g 0 4 (2, 0A, g) 0000000000000 g O000000000000 g A g 0 4 (2, 1A, g) 0000000000000 g O000000000000 g A g 0 4 (4, 0A, g) 000000000000 g O000000000000 g A g 0 4 (4, 0A, g) 000000000000 g O000000000000 g A g 0 4 (4, 0A, g) 000000000000 g O000000000000 g A g 0 4 (4, 0A, g) 000000000000 g O0000000000000 g A g 0 4 (4, 0A, g) 000000000000 g O00000000000 g A g 0 4 (4, 0A, g) 0000000000000 g O00000000000 g A g 0 4 (4, 0A, g) 0000000000000 g O00000000000 g A g 0 4 (4, 0A, g) 0000000000000 g O00000000000 g A g 0 4 (4, 0A, g) 00000000000000 g O000000000000 g A g 0 6 (4, 0A, g) 0000000000000 g O00000000000 g A g 0 6 (4, 0A, g) 0000000000000 g O00000000000 g A g 0 6 (4, 0A, g) 0000000000000 g O00000000000 g A g 0 6 (4, 0A, g) 0000000000000 g O00000000000 g A g 0 6 (4, 0A, g) 0000000000000 g O00000000000 g A g 0 6 (4, 0A, g) 0000000000000 g O00000000000 g A g 0 6 (4, 0A, g) 0000000000000 g O000000000000 g A g 0 6 (4, 0A, g) 0000000000000 g O000000000000 g A g 0 6 (4, 0A, g) 00000000000000 g O000000000000 g A g 0 6 (4, 0A, g) 0000000000000 g O000000000000 g A g 0 6 (4, 0A, g) 00000000000000 g O000000000000 g A g 0 6 (6, 0A, g) 00000000000000 g O000000000000 g A g 0 6 (6, 0A, g) 000000000000000 g O00000000000 g A g 0 6 (6, 0A, g) 00000000000000 g O000000000000 g A g 0 6 (6, 0A, g) 00000000000000 g O000000000000 g A g 0 6 (6, 0A, g) 00000000000000 g O000000000000 g A g 0 6 (6, 0A, g) 00000000000000 g O000000000000000000							-		
4 4 (0,0 A g) 000000000000 g 00000000000 g A g 0 0 4 125 0.74575169450e-05 0.4329492e-0. 6 4(2,1A g) 0000000000000 g 000000000000 g A g 0 0 4 125 0.74575169450e-05 0.4329492e-0. 7 4(4,0A g) 000000000000 g 0000000000000 g A g 0 0 4 191 -0.25848827400e-05 0.4150084e-0 1 0 6(0,0A g) 000000000000 g A g 0 0 4 191 -0.25848827400e-05 0.4150084e-0 1 0 6(0,0A g) 000000000000 g A g 0 0 4 1 0 0.0000000000000000 0 0 0 0 0 0 0 0							-		
5 4(2,1A g) 000000000000A g 00000000000A g A g 0 4									
6 4 (2 / 1 A g) 000000000000 g 000000000000 A g A g 04 (4 , 1 A g) 0000000000000 A g 0000000000000 A g A g						:			
7 4(4,0A g) 000000000000A g 00000000000A g A g 04 211 -0.25848827400E-05 0.4150084E-0.9 4 (4,1A g) 0000000000000A g 00000000000A g A g 04 211 -0.67801866780E-06 0.4775317E-0.9 4 (4,2A g) 000000000000A g 00000000000A g A g 06 42 0.8679792380E-09 0.130339E-11 11 6 (2,0A g) 000000000000A g O0000000000A g A g 06 42 0.8679792380E-09 0.23203E-12 12 6 (2,1A g) 000000000000A g O0000000000A g A g 06 0 0.25959310210E-10 0.0000000E+01 13 6 (4,0A g) 000000000000A g O00000000000A g A g 06 0 0.25959310210E-10 0.0000000E+01 13 6 (4,0A g) 000000000000A g O00000000000A g A g 06 0 0.25959310210E-10 0.000000E+01 15 6 (4,2A g) 000000000000A g O00000000000A g A g 06 0 0.25959310210E-10 0.08915343E-11 15 6 (4,2A g) 000000000000A g O00000000000A g A g 06 0 0.000000000E+00 0.000000E+01 17 6 (6,1A g) 000000000000A g O00000000000A g A g 06 0 0.2593103930E-10 0.00000000E+01 18 6 (6,2A g) 0000000000000A g O00000000000A g A g 06 0 0.2593103930E-10 0.000000000E+01 18 6 (6,2A g) 0000000000000A g O00000000000A g A g 06 0 0.2593103930E-10 0.000000000E+01 19 6 (6,3A g) 0000000000000A g O00000000000A g A g 06 0 0.2593103930E-10 0.000000000E+01 18 6 (6,2A g) 00000000000000A g O00000000000A g A g 06 0 0.2593103930E-10 0.0000000000E+01 19 6 (6,3A g) 0000000000000A g O00000000000A g A g 06 0 0.2593103930E-10 0.000000000E+01 19 6 (6,3A g) 0000000000000A g O00000000000A g A g 06 0 0.2593103930E-10 0.0000000000E+01 19 6 (6,3A g) 0000000000000A g O000000000000000000000			- : : : : : : : : : :	- : : : : : : : : : :					
8 4 (4, 1A g) 00000000000A g 00000000000A g A g 04									
9 4(4,2A ğ) 00000000000A ğ 000000000000A ğ A ğ 06					_				
10 6(0,0A g) 00000000000A g 00000000000A g A g 06						- : :			
11 6(2,0A g) 00000000000A g 00000000000A g A g 06	_						-		
12 6(2,1A g) 000000000000A g 00000000000A g A g 06					_				
13 6(4,0A g) 000000000000A g 00000000000A g A g 06									
14 6(4,1A g) 000000000000A g 00000000000A g A g 06							-		
15 6(4,2A g) 000000000000 g 0000000000 g A g 0 6					_				
16 6(6,0A g) 00000000000A g 00000000000A g A g 06									
17									
18 6(6,2A g) 000000000000A g 0000000000A g A g 06							-		
19 6(6,3A g) 000000000000 g 00000000000 g A g O 0 0.0000000000000000000000000000000							-		
20 0(0,0A g) 00000000001B1u 000000000001B1u A g 20 21 2(0,0A g) 000000000001B1u 00000000001B1u A g 22 37 0.21737760135E-01 0.3864250E-01 22 2(2,0A g) 000000000001B1u 000000000001B1u A g 22 47 0.11796475865E-01 0.2141838E-01 22 2(2,1A g) 000000000001B1u 000000000001B1u A g 22 47 0.11796475865E-01 0.2141838E-01 22 4(0,0A g) 000000000001B1u 000000000001B1u A g 24 4(0,0A g) 000000000001B1u 000000000001B1u A g 24 5 0.18409569929E-05 0.4370409E-01 24 4(2,1A g) 000000000001B1u 00000000001B1u A g 24 5 0.18409569929E-05 0.1592759E-01 22 4(4,1A g) 000000000001B1u 00000000001B1u A g 24 18 -0.77831629518E-06 0.5986665E-01 22 4(4,1A g) 000000000001B1u 00000000001B1u A g 24 18 -0.77831629518E-06 0.5986665E-01 22 4(4,1A g) 000000000001B1u 00000000001B1u A g 24 20 -0.20534234498E-06 0.5986665E-01 22 4(4,1A g) 000000000001B1u 00000000001B1u A g 24 20 -0.20534234498E-06 0.5986665E-01 22 4(4,1A g) 000000000001B1u 000000000001B1u A g 24 20 -0.20534234498E-06 0.5986665E-01 22 4(4,1A g) 0000000000001B1u 000000000001B1u A g 24 20 -0.20534234498E-06 0.5986665E-01 22 4(4,1A g) 0000000000001B1u 000000000001B1u A g 26 20 .11117155197E-08 0.1573523E-11 22 6(2,1A g) 000000000001B1u 000000000001B1u A g 26 20 .11117155197E-08 0.1573523E-11 22 6(2,1A g) 000000000001B1u 000000000001B1u A g 26 20 .114143487355E-09 0.1829559E-11 23 6(4,1A g) 000000000001B1u 000000000001B1u A g 26 20 .000000000000E+00 0.00000000E+00 0.0000000000							•		
21 2(0,0A g) 00000000001Blu 0000000001Blu A g 22 d 7 0.11796475865E-01 0.2141838E-01 22 (2,1A g) 00000000001Blu 00000000001Blu A g 22 d 7 0.11796475865E-01 0.2141838E-01 23 2(2,1A g) 000000000001Blu 00000000001Blu A g 22 d 6 0.14191118063E-02 0.6951339E-01 24 4(0,0A g) 000000000001Blu 00000000001Blu A g 24 d 6 -0.47825566983E-05 0.4370409E-01 25 4(2,0A g) 00000000001Blu 00000000001Blu A g 24 d 5 0.18409569929E-05 0.1592759E-01 26 4(2,1A g) 0000000001Blu 00000000001Blu A g 24 d 9 0.14621921957E-06 0.3634140E-01 27 4(4,0A g) 00000000001Blu 00000000001Blu A g 24 d 18 -0.77831629518E-06 0.5986665E-01 28 4(4,1A g) 000000000001Blu 00000000001Blu A g 24 d 0 0.00000000000E+00 0.5986665E-01 29 4(4,2A g) 00000000001Blu 000000000001Blu A g 24 d 0 0.00000000000E+00 0.0000000E+00 0.3634140E-01 0000000000000000000000000000000000									
22 2(2,0A g) 00000000001Blu 00000000001Blu A g 22 47 0.11796475865E-01 0.2141838E-06 23 2(2,1A g) 000000000001Blu 00000000001Blu A g 22 168 0.14191118063E-02 0.6951339E-01 0.2141838E-06 17 0.2141838E-06 0.4370409E-06 0.40000000000000000000000000000000000									
23 2(2,1A g) 00000000001B1u 000000000001B1u A g 22 168 0.14191118063E-02 0.6951339E-02 4 (0,0A g) 00000000001B1u 00000000001B1u A g 24 6 -0.47825506983E-05 0.4370409E-02 6 (2,0A g) 00000000001B1u 00000000001B1u A g 24 5 0.18409569929E-05 0.1592759E-02 7 (4,0A g) 000000000001B1u 00000000001B1u A g 24 19 0.14621921957E-06 0.3634140E-02 7 (4,0A g) 000000000001B1u 000000000001B1u A g 24 18 -0.77831629518E-06 0.5986665E-02 8 4(4,1A g) 000000000001B1u 000000000001B1u A g 24 20 -0.20534234498E-06 0.5430697E-02 9 4(4,2A g) 00000000001B1u 000000000001B1u A g 24 0 0.00000000000E+00 0.0000000E+00 0.0000000000									
24 4(0,0A g) 00000000001B1u 00000000001B1u A g 24 5 0.18409569929E-05 0.1592759E-06 26 4(2,1A g) 00000000001B1u 00000000001B1u A g 24 19 0.14621921957E-06 0.3634140E-05 28 4(4,0A g) 00000000001B1u 00000000001B1u A g 24 18 -0.77831629518E-06 0.5986665E-06 28 4(4,1A g) 000000000001B1u 00000000001B1u A g 24 20 -0.20534234498E-06 0.5986665E-06 29 4(4,2A g) 000000000001B1u 000000000001B1u A g 24 20 -0.20534234498E-06 0.5430697E-09 29 4(4,2A g) 00000000001B1u 000000000001B1u A g 26 20 0.11117155197E-08 0.1573523E-10 31 6(2,0A g) 00000000001B1u 000000000001B1u A g 26 20 0.11117155197E-08 0.1573523E-10 32 6(2,1A g) 00000000001B1u 000000000001B1u A g 26 10 0.21474273753E-09 0.2937493E-11 33 6(4,0A g) 00000000001B1u 000000000001B1u A g 26 10 0.1440417773E-12 0.3362953E-11 33 6(4,0A g) 000000000001B1u 000000000001B1u A g 26 10 0.14143487355E-09 0.1829559E-11 35 6(4,0A g) 000000000001B1u 000000000001B1u A g 26 10 0.00000000000E+00 0.0000000E+00 0.000000000E+00 0.0000000000									
25 4(2,0A g) 00000000001Blu 00000000001Blu A g 24									
26 4(2,1A g) 00000000001B1u 00000000001B1u A g 24 18 -0.77831629518E-06 0.5986665E-09 24 (4,1A g) 00000000001B1u 00000000001B1u A g 24 20 -0.20534234498E-06 0.5430697E-09 29 4(4,2A g) 00000000001B1u 00000000001B1u A g 24 20 -0.20534234498E-06 0.5430697E-09 20 4(4,2A g) 000000000001B1u 00000000001B1u A g 24 20 -0.20534234498E-06 0.5430697E-09 20 20 20 20 20 20 20 20 20 20 20 20 20							-		
27 4(4,0A g) 00000000001B1u 00000000001B1u A g 24 20 -0.20534234498E-06 0.5430697E-09 (4,2A g) 00000000001B1u 00000000001B1u A g 24 20 -0.20534234498E-06 0.5430697E-09 (4,2A g) 000000000001B1u 00000000001B1u A g 24 00 0.0000000000E+00 0.0000000E+00 0.00000000E+00 0.00000000E+00 0.00000000E+00 0.00000000E+00 0.00000000E+00 0.00000000E+00 0.00000000E+00 0.0000000E+00 0.0000000E+00 0.0000000E+00 0.0000000E+00 0.00000000E+00 0.00000000E+00 0.0000000E+00 0.0000000E+00 0.0000000E+00 0.0000000E+00 0.0000000E+00 0.00000000E+00 0.0000000E+00 0.0000000E+00 0.0000000E+00 0.00000000E+00 0.0000000E+00 0.00000000E+00 0.00000000E+00 0.0000000E+00 0.00000000E+00 0.000000000E+00 0.00000000E+00 0.00000000E+00 0.00000000E+00 0.000000000E+00 0.000000000E+00 0.000000000E+00 0.00000000E+00 0.000000000E+00 0.000000000E+00 0.000000000E+00 0.000000000E+00 0.0000000000									
28 4(4,1A g) 00000000001B1u 00000000001B1u A g 24						= :			
29 4(4,2A g) 00000000001B1u 00000000001B1u A g 26									
30 6(0,0A g) 00000000001B1u 00000000001B1u A g 26 1 0.21474273753E-09 0.2937493E-13 2 6(2,1A g) 00000000001B1u 00000000001B1u A g 26 1 0.21474273753E-09 0.2937493E-13 3 6(4,0A g) 00000000001B1u 00000000001B1u A g 26 3 -0.14143487355E-09 0.1829559E-13 4 6(4,1A g) 00000000001B1u 00000000001B1u A g 26 3 -0.14143487355E-09 0.1829559E-13 5 6(4,2A g) 00000000001B1u 00000000001B1u A g 26 5 0.0000000000E+00 0.0000000E+00 36 6(6,0A g) 00000000001B1u 000000000001B1u A g 26 5 0.00000000000E+00 0.0000000E+00 36 6(6,0A g) 00000000001B1u 00000000001B1u A g 26 17 0.33605556282E-10 0.4305506E-13 37 6(6,1A g) 000000000001B1u 000000000001B1u A g 26 17 0.33605556282E-10 0.4305506E-13 36 6(6,2A g) 000000000001B1u 000000000001B1u A g 26 1 0.00000000000E+00 0.0000000E+00 36 6(6,3A g) 000000000001B1u 000000000001B1u A g 26 29 0.0000000000E+00 0.0000000E+00 40 8(0,0A g) 000000000001B1u 000000000001B1u A g 28 0 0.00000000000E+00 0.0000000E+00 41 8(2,0A g) 000000000001B1u 000000000001B1u A g 28 0 0.00000000000E+00 0.0000000E+00 41 8(2,0A g) 0000000000001B1u 0000000000001B1u A g 28 0 0.00000000000000000000000000000000									
31 6(2,0A g) 00000000001B1u 00000000001B1u A g 26 1 0.21474273753E-09 0.2937493E-1: 32 6(2,1A g) 000000000001B1u 00000000001B1u A g 26 100 0.10440417773E-12 0.3362953E-1: 33 6(4,0A g) 00000000001B1u 00000000001B1u A g 26 3 -0.14143487355E-09 0.1829559E-1: 34 6(4,1A g) 00000000001B1u 0000000001B1u A g 26 5 0.0000000000E+00 0.000000E+00 36 6(4,2A g) 00000000001B1u 00000000001B1u A g 26 0 0.0000000000E+00 0.0000000E+00 36 6(6,0A g) 00000000001B1u 00000000001B1u A g 26 17 0.33605556282E-10 0.4305506E-1: 37 6(6,1A g) 00000000001B1u 00000000001B1u A g 26 17 0.33605556282E-10 0.4305506E-1: 38 6(6,2A g) 000000000001B1u 000000000001B1u A g 26 1 0.00000000000E+00 0.0000000E+00 38 6(6,3A g) 000000000001B1u 000000000001B1u A g 26 29 0.0000000000E+00 0.0000000E+00 40 8(0,0A g) 00000000001B1u 000000000001B1u A g 28 0 0.0000000000E+00 0.0000000E+00 41 8(2,0A g) 000000000001B1u 000000000001B1u A g 28 0 0.00000000000E+00 0.0000000E+00 41 8(2,0A g) 000000000001B1u 000000000001B1u A g 28 0 0.00000000000E+00 0.0000000E+00 41 8(2,0A g) 0000000000001B1u 0000000000001B1u A g 28 0 0.00000000000E+00 0.00000000E+00 0.0000000000									
32 6(2,1A g) 00000000001Blu 00000000001Blu A g 26 100 0.10440417773E-12 0.3362953E-1. 33 6(4,0A g) 00000000001Blu 0000000001Blu A g 26 3 -0.14143487355E-09 0.1829559E-1. 34 6(4,1A g) 00000000001Blu 0000000001Blu A g 26 5 0.0000000000E+00 0.0000000E+00 1. 35 6(4,2A g) 00000000001Blu 00000000001Blu A g 26 0 0.0000000000E+00 0.0000000E+01 0.000000000E+01 0.0000000000E+01 0.0000000000E+01 0.0000000000E+01 0.00000000000E+01 0.00000000000E+01 0.0000000000E+01 0.0000000000E+01 0.0000000000E+01 0.00000000000E+01 0.000000000000E+01 0.00000000000E+01 0.00000000000E+01 0.00000000000E+01 0.00000000000E+01 0.00000000000E+01 0.00000000000E+01 0.0000000000E+01 0.00000000000E+01 0.00000000000E+01 0.00000000000E+01 0.00000000000E+01 0.0000000000E+01 0.0000000000E+01 0.0000000000E+01 0.0000000000E+01 0.0000000000E+01 0.0000000000E+01 0.0000000000E+01 0.00000000000E+01 0.00000000000E+01 0.00000000000E+01 0.0000000000E+01 0.00000000000E+01 0.0000000000E+01 0.00000000000E+01 0.00000000000E+01 0.00000000000E+01 0.00000000000E+01 0.00000000000E+01 0.0000000000000000000000000000000000									
33 6(4,0A g) 00000000001B1u 00000000001B1u A g 26 3 -0.14143487355E-09 0.1829559E-12 34 6(4,1A g) 00000000001B1u 00000000001B1u A g 26 5 0.0000000000E+00 0.0000000E+00 35 6(4,2A g) 00000000001B1u 00000000001B1u A g 26 0 0.0000000000E+00 0.0000000E+00 36 6(6,0A g) 00000000001B1u 00000000001B1u A g 26 17 0.33605556282E-10 0.4305506E-12 37 6(6,1A g) 00000000001B1u 00000000001B1u A g 26 0 0.000000000E+00 0.0000000E+00 38 6(6,2A g) 00000000001B1u 00000000001B1u A g 26 1 0.0000000000E+00 0.000000E+00 39 6(6,3A g) 000000000001B1u 00000000001B1u A g 26 29 0.0000000000E+00 0.0000000E+00 40 8(0,0A g) 000000000001B1u 000000000001B1u A g 28 0 0.00000000000E+00 0.0000000E+00 41 8(2,0A g) 000000000001B1u 000000000001B1u A g 28 0 0.00000000000E+00 0.0000000E+00							_		
34 6(4,1A g) 00000000001B1u 00000000001B1u A g 26 5 0.00000000000E+00 0.0000000E+00 35 6(4,2A g) 00000000001B1u 00000000001B1u A g 26 0 0.00000000000E+00 0.0000000E+00 36 6(6,0A g) 00000000001B1u 00000000001B1u A g 26 17 0.33605556282E-10 0.4305506E-1. 37 6(6,1A g) 00000000001B1u 00000000001B1u A g 26 0 0.0000000000E+00 0.0000000E+00 38 6(6,2A g) 00000000001B1u 0000000001B1u A g 26 1 0.0000000000E+00 0.0000000E+00 39 6(6,3A g) 00000000001B1u 00000000001B1u A g 26 29 0.0000000000E+00 0.0000000E+00 40 8(0,0A g) 00000000001B1u 00000000001B1u A g 28 0 0.00000000000E+00 0.0000000E+00 41 8(2,0A g) 000000000001B1u 000000000001B1u A g 28 0 0.00000000000E+00 0.0000000E+00 41 8(2,0A g) 000000000001B1u 0000000000001B1u A g 28 0 0.000000000000E+00 0.00000000E+00 41 8(2,0A g) 0000000000001B1u 0000000000001B1u A g 28 0 0.000000000000E+00 0.00000000E+00 41 8(2,0A g) 0000000000001B1u 0000000000000000000000									
35 6(4,2A g) 00000000001B1u 00000000001B1u A g 26	34						5		
36 6(6,0A g) 00000000001B1u 000000000001B1u A g 26 17 0.33605556282E-10 0.4305506E-13 37 6(6,1A g) 00000000001B1u 00000000001B1u A g 26 0 0.0000000000E+00 0.0000000E+00 38 6(6,2A g) 00000000001B1u 00000000001B1u A g 26 1 0.0000000000E+00 0.0000000E+00 40 8(0,0A g) 0000000001B1u 0000000001B1u A g 28 0 0.0000000000E+00 0.0000000E+00 41 8(2,0A g) 00000000001B1u 00000000001B1u A g 28 0 0.0000000000E+00 0.0000000E+00 41 8(2,0A g) 000000000001B1u 00000000001B1u A g 28 0 0.00000000000E+00 0.0000000E+00 0.0000000000	35								
38 6(6,2A g) 00000000001B1u 00000000001B1u A g 26						26	17		
38 6(6,2A g) 00000000001B1u 00000000001B1u A g 26	37	6(6.1A a)	00000000001B1u	00000000001B1u	A a	26	0	0.0000000000E+00	0.000000E+00
40 8(0,0A g) 00000000001Blu 00000000001Blu A g 28 0 0.0000000000E+00 0.0000000E+00 41 8(2,0A g) 0000000001Blu 00000000001Blu A g 28 0 0.0000000000E+00 0.0000000E+00 0.0000000E+00 0.00000000E+00 0.000000000E+00 0.000000000E+00 0.000000000E+00 0.000000000E+00 0.0000000000	38	6(6,2A q)	00000000001B1u	00000000001B1u	Aq	26	1	0.0000000000E+00	0.000000E+00
41 8(2,0A g) 00000000001Blu 00000000001Blu A g 28 0 0.0000000000E+00 0.000000E+00	39	6(6,3A q)	00000000001B1u	00000000001B1u	Αğ	26	29	0.0000000000E+00	0.000000E+00
	40	8(0.0Aq)	00000000001B1u	00000000001B1u	Aq	28	0	0.0000000000E+00	0.000000E+00
42 8(2,1A g) 00000000001B1u 00000000001B1u A g 28 0 0.0000000000E+00 0.000000E+00	41	8(2,0A g)	00000000001B1u	00000000001B1u	Αğ	28	0	0.0000000000E+00	0.000000E+00
	42		00000000001B1u	00000000001B1u	Αğ	28	0	0.0000000000E+00	0.000000E+00
43 8(4,0A q) 000000000001B1u 00000000001B1u A q 28 0 0.000000000E+00 0.000000E+00	43		00000000001B1u	00000000001B1u	Aq	28	0	0.0000000000E+00	0.000000E+00
44 8(4,1A g) 00000000001Blu 00000000001Blu A g 28 0 0.0000000000E+00 0.000000E+00						_ :	Ó		
45 8(4,2A g) 00000000001B1u 00000000001B1u A g 28 0 0.0000000000E+00 0.000000E+00	45					28	0		
46 8(6,0A g) 00000000001Blu 00000000001Blu A g 28 0 0.0000000000E+00 0.000000E+00	46					28	0		
47 8(6,1A g) 00000000001B1u 00000000001B1u A g 28 0 0.0000000000E+00 0.000000E+00	47		00000000001B1u	00000000001B1u	Αq	28	0	0.0000000000E+00	0.000000E+00
48 8(6,2A g) 00000000001B1u 00000000001B1u A g 28 0 0.0000000000E+00 0.0000000E+00	48	8(6,2A g)	00000000001B1u	00000000001B1u	Aq	28	0	0.0000000000E+00	0.000000E+00
49 8(6,3A g) 00000000001B1u 00000000001B1u A g 28 0 0.0000000000E+00 0.000000E+00	49					28	0		
50 8(8,0A g) 00000000001B1u 00000000001B1u A g 28 0 0.0000000000E+00 0.000000E+00	50	8(8,0A g)	00000000001B1u	00000000001B1u	Αğ	28	0	0.0000000000E+00	0.000000E+00
51 8(8,1A g) 00000000001B1u 00000000001B1u A g 28 0 0.0000000000E+00 0.000000E+00		8(8,1A g)	00000000001B1u	00000000001B1u	Αg	28	0	0.0000000000E+00	0.000000E+00
52 8(8,2A g) 00000000001B1u 00000000001B1u A g 28 0 0.0000000000E+00 0.0000000E+00									
53 8(8,3A g) 00000000001B1u 00000000001B1u A g 28 0 0.0000000000E+00 0.0000000E+00							-		
54 8(8,4A g) 00000000001B1u 00000000001B1u A g 28 0 0.0000000000E+00 0.0000000E+00	54	8(8,4A g)	00000000001B1u	00000000001B1u	A g	28	0	0.0000000000E+00	0.000000E+00

**Tab III-1-** Les paramètres de l'Hamiltonien relatif à la bande  $v_{12}$  de la molécule  $^{12}C_2H_4$ 

Où les différents termes de ce tableau représentent :

- i : Indice permettant de numéroter les différents paramètres.
- $\Omega$  (K, n  $\Gamma$ ): Les caractéristiques de l'opérateur relatif au paramètre i.
- $n_s$ : Le nombre de fois que  $\hat{a}^+$  a été couple pour former un tenseur de symétrie  $\Gamma_1$ .
- $\Gamma_1$ : la symétrie de l'opérateur résultant de couplage des  $\hat{a}^+$ .
- $m_s$ : Le nombre de fois que â a été couplé pour former un tenseur de symétrie  $\Gamma_2$ .
- $\Gamma_2$ : la symétrie de l'opérateur résultant de couplage des â.
- $\Gamma$ : la symétrie de l'opérateur rovibrationnel.
- Les deux dernières colonnes représentent la valeur du paramètre i et sa précision respectivement.

L'ensemble des paramètres reporté au tableau 4.1, nous a permis ensuite de calculer et de prédire le spectre complet de la bande  $\nu_{12}$  de la molécule  $^{12}C_2H_4$  dans la région 1380-1510 cm<sup>-1</sup>. Ce spectre contient 5400 raies de transitions rovibrationnelles.

La figure ci-dessous illustre l'ensemble des raies calculées avec les paramètres du tableau 4.1, pour une valeur de Jmax=39 et avec un EQM= 3,334. 10<sup>-3</sup> cm<sup>-1</sup>.

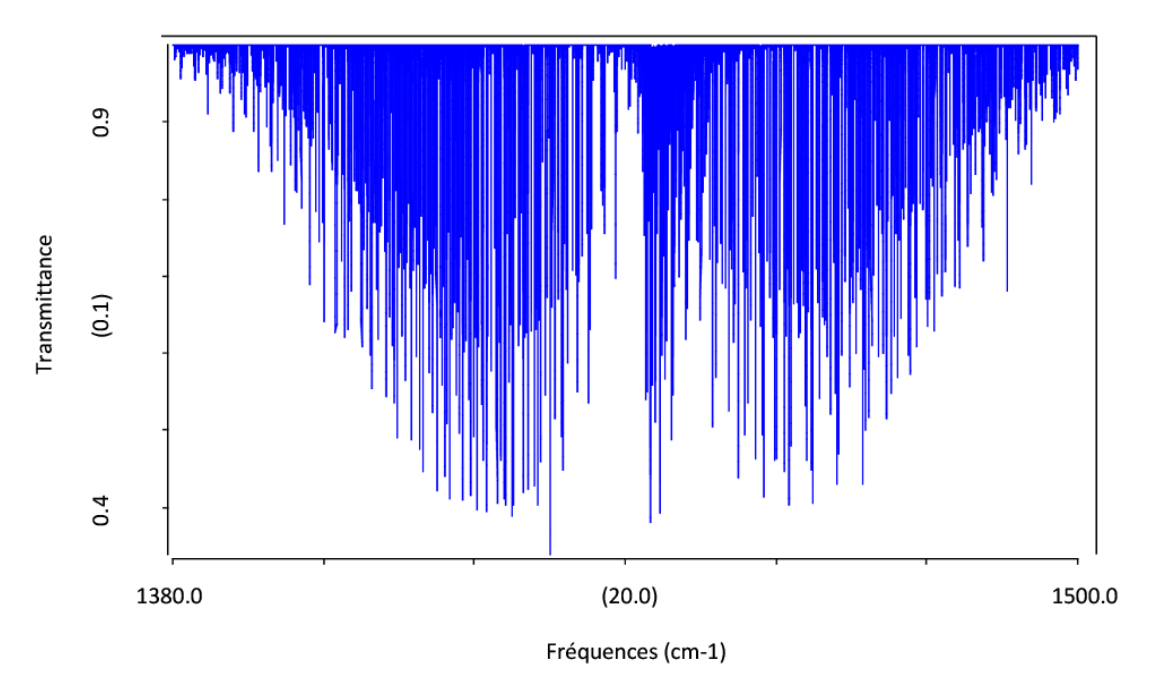


Fig III-4- Spectre des transitions rovibrationnelles de la bande  $v_{12}$  de la molécule  $^{12}C_2H_4$  pour Jmax=39

Dans le tableau ci-dessous nous reportons un extrait de fichier spect.t obtenu par le logiciel XTDS ; où les différentes colonnes de ce tableau reperésentent :

1ère colonne : La fréquence de transition rovibrationnelles en cm<sup>-1</sup>.

2ème colonne: L'intensité calculée pour chaque transition en atm<sup>-1</sup>. Cm<sup>-1</sup>.

3ème colonne : La branche de raie spécifique à chaque transition.

 $4^{\grave{e}_{me}}$  colonne et  $8^{\grave{e}_{me}}$  colonne : Le nombre quantique rotationnel de niveau vibrationnel inférieur et supérieur respectivement.

5<sup>ème</sup> colonne et 9<sup>ème</sup> colonne : La symétrie de niveau vibrationnel inférieur et supérieur respectivement.

 $6^{\rm ème}$  colonne et  $10^{\rm ème}$  colonne : pourcentage de vibration de niveau inférieur et supérieur respectivement.

11ème colonne : L'énergie de niveau inférieur.

Fréquences Inten	J" C" n" #vib"	J C n #vib	énergie
Frequences inten	3 C 11 #V15	J C 11 #V1D	inferieur
1440.613434 1.12E-02	P 1 B1g 1 1 100%	0 B1u 1 1 100%	1.829097
1444.276584 2.58E-02	R 0 A g 1 1 100%	1 A u 1 1 100%	0.000000
1438.795005 5.21E-02 1422.985006 3.87E-05	P 2 A g 1 1 100% P 2 A g 2 1 100%	1 A u 1 1 100% 1 A u 1 1 100%	5.481578 21.291577
1442.328257 1.65E-02	Q 1 B2g 1 1 100%	1 B2u 1 1 100%	5.865542
1439.016068 1.63E-02	P 2 B2g 1 1 100%	1 B2u 1 1 100%	9.177731
1442.682216 1.62E-02	Q 1 B3g 1 1 100%	1 B3u 1 1 100%	5.692575
1438.678170 1.66E-02 1458.492431 7.39E-06	P 2 B3g 1 1 100% Q 2 A g 1 1 100%	1 B3u 1 1 100% 2 A u 1 1 100%	9.696620 5.481578
1442.682432 7.84E-02	Q 2 A g 1 1 100% Q 2 A g 2 1 100%	2 A u 1 1 100% 2 A u 1 1 100%	21.291577
1437.201205 3.95E-02	P 3 A q 1 1 100%	2 A u 1 1 100%	26.772804
1446.109433 2.17E-02	R 1 B1g 1 1 100%	2 B1u 1 1 100%	1.829097
1462.151037 2.09E-06	R 1 B1g 1 1 100% Q 2 B1g 1 1 100%	2 B1u 2 1 100% 2 B1u 1 1 100%	1.829097
1426.652628 2.83E-05 1442.694232 3.36E-02	Q 2 B1g 1 1 100% Q 2 B1g 1 1 100%	2 B1u 1 1 100% 2 B1u 2 1 100%	21.285901 21.285901
1436.992464 3.29E-02	P 3 B1q 1 1 100%	2 B1u 1 1 100%	10.946065
1421.137387 5.28E-05	P 3 B1q 2 1 100%	2 B1u 1 1 100%	26.801142
1453.034068 1.07E-06	P 3 B1g 1 1 100%	2 Blu 2 1 100%	10.946065
1437.178991 1.70E-02 1446.358267 1.58E-02	P 3 B1g 2 1 100% R 1 B2g 1 1 100%	2 B1u 2 1 100% 2 B2u 1 1 100%	26.801142 5.865542
1443.046079 8.63E-03	Q 2 B2q 1 1 100%	2 B2u 1 1 100% 2 B2u 1 1 100%	9.177731
1436.784280 2.91E-02	P 3 B2q 1 1 100%	2 B2u 1 1 100%	15.439529
1405.703289 1.11E-05	P 3 B2g 2 1 100%	2 B2u 1 1 100%	46.520520
1445.988276 1.61E-02 1441.984230 9.20E-03	R 1 B3g 1 1 100% Q 2 B3g 1 1 100%	2 B3u 1 1 100% 2 B3u 1 1 100%	5.692575 9.696620
1437.278943 2.83E-02	P 3 B3g 1 1 100%	2 B3u 1 1 100% 2 B3u 1 1 100%	14.401907
1405.160446 1.06E-05	P 3 B3q 2 1 100%	2 B3u 1 1 100%	46.520404
1447.934514 7.37E-02	R 2 A g 1 1 100%	3 A u 1 1 100%	5.481578
1432.124515 2.72E-05 1464.024808 1.64E-05	R 2 A g 2 1 100% R 2 A g 1 1 100%	3 A u 1 1 100% 3 A u 2 1 100%	21.291577
1404.024808 1.04E-03 1448.214809 3.78E-02	R 2 A g 1 1 100% R 2 A g 2 1 100%	3 A u 2 1 100%	5.481578 21.291577
1426.643288 2.25E-04	O 3 A Q 1 1 100%	3 A u 1 1 100%	26.772804
1442.733582 5.33E-02	Q 3 A g 1 1 100%	3 A u 2 1 100%	26.772804
1435.210379 9.97E-02	P 4 A g 1 1 100% P 4 A g 2 1 100%	3 A u 1 1 100% 3 A u 1 1 100%	18.205714
1419.247261 2.60E-04 1451.300672 8.33E-06	P 4 A g 2 1 100% P 4 A g 1 1 100%	3 A u 1 1 100% 3 A u 2 1 100%	34.168831 18.205714
1435.337555 6.97E-02	P 4 A q 2 1 100%	3 A u 2 1 100%	34.168831
1388.035834 3.08E-05	P 4 A q 3 1 100%	3 A u 2 1 100%	81.470552
1448.189911 1.62E-02	R 2 B1g 1 1 100% Q 3 B1g 1 1 100%	3 B1u 1 1 100% 3 B1u 1 1 100%	21.285901
1458.529747 1.07E-05 1442.674669 2.29E-02	Q 3 B1g 1 1 100% Q 3 B1g 2 1 100%	3 B1u 1 1 100% 3 B1u 1 1 100%	10.946065 26.801142
1435.391701 2.98E-02	P 4 B1g 1 1 100%	3 B1u 1 1 100%	34.084110
1388.005262 1.32E-05	P 4 B1q 2 1 100%	3 B1u 1 1 100%	81.470550
1447.729864 2.80E-02	R 2 B2g 1 1 100%	3 B2u 1 1 100%	9.177731
1480.333217 9.07E-10 1441.468066 6.47E-03	R 2 B2g 1 1 100% Q 3 B2g 1 1 100%	3 B2u 2 1 100% 3 B2u 1 1 100%	9.177731 15.439529
1410.387075 9.25E-06	Q 3 B2q 2 1 100%	3 B2u 1 1 100%	46.520520
1474.071418 1.25E-09	Q 3 B2g 1 1 100%	3 B2u 2 1 100%	15.439529
1442.990427 4.67E-02 1435.546598 3.88E-02	Q 3 B2g 2 1 100%	3 B2u 2 1 100%	46.520520
1435.346398 3.88E-02 1403.060900 2.58E-05	P 4 B2g 1 1 100% P 4 B2g 2 1 100%	3 B2u 1 1 100% 3 B2u 1 1 100%	21.360997 53.846696
1468.149951 7.41E-09	P 4 B2g 1 1 100%	3 B2u 2 1 100%	21.360997
1435.664252 1.58E-02	P 4 B2g 2 1 100%	3 B2u 2 1 100%	53.846696
1448.296718 2.70E-02	R 2 B3g 1 1 100%	3 B3u 1 1 100%	9.696620
1479.814457 4.95E-13 1443.591431 5.70E-03	R 2 B3g 1 1 100% Q 3 B3g 1 1 100%	3 B3u 2 1 100% 3 B3u 1 1 100%	9.696620 14.401907
1411.472934 1.02E-05	Q 3 B3g 2 1 100%	3 B3u 1 1 100%	46.520404
1475.109170 7.96E-09	Q 3 B3g 1 1 100%	3 B3u 2 1 100%	14.401907
1442.990673 4.67E-02	Q 3 B3g 2 1 100%	3 B3u 2 1 100%	46.520404
1434.903682 4.01E-02 1404.145828 2.85E-05	P 4 B3g 1 1 100% P 4 B3g 2 1 100%	3 B3u 1 1 100% 3 B3u 1 1 100%	23.089656 53.847510
1466.421421 2.03E-09	P 4 B3g 1 1 100%	3 B3u 2 1 100%	23.089656
1435.663567 1.58E-02	P 4 B3g 2 1 100%	3 B3u 2 1 100%	53.847510
1450.033828 6.55E-02	R 3 A g 1 1 100%	4 A u 1 1 100%	26.772804
1498.108364 1.84E-06 1458.600918 5.49E-05	R 3 A g 1 1 100% Q 4 A g 1 1 100%	4 A u 2 1 100% 4 A u 1 1 100%	26.772804 18.205714
1442.637801 3.98E-02	Q 4 A g 2 1 100%	4 A u 1 1 100%	34.168831
1395.336080 1.90E-05	Q 4 A g 3 1 100%	4 A u 1 1 100%	81.470552
1506.675454 6.47E-09	Q 4 A g 1 1 100%	4 A u 2 1 100%	18.205714

**Tab III-2-** Prédiction du spectre des transitions rovibrationnelles de la  $\nu_{12}$  de la molécule  $^{12}C_2H_4$  pour Jmax=39.

Fréquences	Inten	J" C"		J C	n #vib	énergie inferieur
1490.712337 1443.410616 1433.590719 1386.180376 1481.665255 1434.254911 1449.745058 1433.889980 1465.951953 1450.096875 1498.080028 1426.607012 1442.813907 1395.427468 1490.797060 1443.410620 1433.452310 1417.278827 1449.659204 1433.485722 1386.271743 1497.642357 1481.468875 1434.254896 1450.238865 1419.157874 1481.419.387 1450.338395 1444.317397 1411.831699 1475.497919 1443.012220 1433.037818 1402.666278 1464.218339 1433.846799 1449.467708 1417.349211 1482.456103 1450.337606 1440.779959 1441.0022105 1473.768354 1443.010500 1433.819827	1.22E-06 1.26E-01 9.40E-02 7.01E-05 2.69E-07 3.19E-02 4.02E-05 1.55E-05 2.80E-02 7.88E-07 2.13E-04 1.69E-02 8.14E-06 5.39E-02 1.91E-04 7.28E-06 4.05E-02 1.91E-04 7.28E-06 4.05E-02 3.00E-05 1.37E-02 3.63E-02 2.81E-06 2.85E-09 1.13E-07 1.37E-02 3.63E-02 2.81E-06 2.85E-09 1.48E-02 4.98E-02 4.98E-02 4.98E-02 5.35E-05 6.99E-03 3.48E-02 2.37E-06 2.18E-09 1.48E-02 4.78E-02 4.78E-02	Q Q P P P P R R R R Q Q Q Q P P P P P R R R R	2 1 100% 3 1 100% 1 1 100% 2 1 100% 1 1 100%	4 A u u 4 A A u u 4 A A u u 4 A A u u 4 A A u u 4 A A u u 4 A B1u 4 B2u 4 B3u	2 1 100% 1 1 100% 1 1 100% 2 1 100% 2 1 100% 1 1 100% 2 1 100% 1 1 100% 2 1 100% 3 1 100% 2 1 100% 2 1 100% 3 1 100% 2 1 100% 2 1 100% 2 1 100% 3 1 100% 1 1 100% 2 1 100% 3 1 100% 1 1 100% 1 1 100% 2 1 100% 2 1 100% 2 1 100% 1 1 100% 2 1 100% 2 1 100% 2 1 100% 1 1 100% 2 1 100% 2 1 100% 2 1 100% 2 1 100% 2 1 100% 1 1 100% 2 1 100% 2 1 100% 2 1 100% 1 1 100% 2 1 100% 2 1 100% 2 1 100% 1 1 100% 1 1 100% 2 1 100% 2 1 100% 1 1 100% 1 1 100% 1 1 100% 2 1 100% 2 1 100% 1 1 100%	inferieur  34.168831 81.470552 43.215913 90.626257 43.215913 90.626257 10.946065 26.801142 10.946065 26.801142 34.084110 34.084110 34.084110 81.470550 27.238813 43.412296 27.238813 43.412296 27.238813 43.412296 90.626274 27.238813 43.412296 90.626274 15.439529 46.520520 15.439529 46.520520 15.360997 53.846696 21.360997 53.846696 21.360997 53.846696 32.640577 63.012117 32.640577 63.012117 32.640577 63.012117 14.401907 46.520404 14.401907 46.520404 23.089656 53.847510 23.089656 53.847510 30.049788
1449.467708 1417.349211 1482.456103 1450.337606 1440.779959 1410.022105 1473.768354 1443.010500 1433.819827 1400.860751 1466.808222 1433.849146 1451.534560 1435.571443 1388.269722 1467.968293 1452.005176 1404.703455 1499.894032 1452.592312 1426.524361 1442.958094 1395.547750 1490.846951 1443.436607 1431.720256 1415.188480 1448.153989 1431.622213	3.82E-02 2.37E-06 2.18E-09 1.48E-02 5.02E-03 2.79E-05 9.26E-10 3.48E-02 4.78E-02 4.54E-05 3.87E-08 2.79E-02 1.13E-01 2.22E-04 1.74E-08 6.38E-05 8.68E-02 3.73E-06 4.09E-06 2.90E-04 3.02E-02 5.70E-05 3.71E-06 9.80E-02 1.37E-01 6.38E-01 2.63E-01	R R R R Q Q Q Q P P P P R R R R R R Q Q Q Q	1 1 100% 2 1 100% 1 1 100% 2 1 100% 1 1 100% 2 1 100% 1 1 100% 2 1 100% 1 1 100% 2 1 100% 1 1 100% 2 1 100% 3 1 100% 3 1 100% 3 1 100% 3 1 100% 1 1 100% 2 1 100% 3 1 100% 1 1 100% 2 1 100% 3 1 100% 1 1 100% 2 1 100% 1 1 100% 2 1 100% 1 1 100% 2 1 100% 1 1 100% 2 1 100% 1 1 100% 2 1 100% 1 1 100% 2 1 100% 1 1 100% 2 1 100% 1 1 100% 2 1 100% 1 1 100% 2 1 100% 1 1 100% 2 1 100% 1 1 100% 2 1 100% 1 1 100% 2 1 100% 1 1 100% 2 1 100%	4	1 1 100% 1 1 100% 2 1 100% 2 1 100% 1 1 100% 1 1 100% 2 1 100% 1 1 100% 2 1 100% 2 1 100% 2 1 100% 1 1 100% 2 1 100% 2 1 100% 2 1 100% 2 1 100% 3 1 100% 3 1 100% 3 1 100% 3 1 100% 4 1 100% 5 1 100% 6 1 100% 7 1 100% 8 1 100% 9 1 100%	14.401907 46.520404 14.401907 46.520404 23.089656 53.847510 23.089656 53.847510 30.049788 63.008864 30.049788 63.008864 18.205714 34.168831 81.470552 18.205714 34.168831 81.470552 34.168831 81.470552 34.168831 81.470552 34.15913 90.626257 43.215913 90.626257 43.215913 90.626257 43.215913 90.626257 38.020018 54.551794
1384.557036 1496.042845 1479.511069 1432.445893 1451.878152 1404.491713 1499.978733	1.18E-04 2.07E-08 9.63E-07 5.66E-02 3.75E-02 1.60E-06	P 6 A g P 6 A g P 6 A g P 6 A g P 6 A g R 4 B1g R 4 B1g R 4 B1g	3 1 100% 1 1 100% 2 1 100% 3 1 100% 1 1 100% 2 1 100%	5 A u 5 A u 5 A u 5 A u 5 B1u 5 B1u 5 B1u	2 1 100% 3 1 100% 3 1 100% 3 1 100% 1 1 100% 1 1 100% 2 1 100%	101.616970 38.020018 54.551794 101.616970 34.084110 81.470550 34.084110

Suite Tab III-2-

Fréquences Inten	J" C" n" #vib"	J C n #vib	énergie
			inferieur
	R 4 B1g 2 1 100% Q 5 B1g 1 1 100%	5 B1u 2 1 100% 5 B1u 1 1 100%	81.470550 27.238813
1442.549967 1.33E-02 (	5 B1g 2 1 100%	5 B1u 1 1 100%	43.412296
1395.335989 2.44E-05 (	5 Blg 3 1 100%	5 B1u 1 1 100%	90.626274
	5 B1g 1 1 100% 5 B1g 2 1 100%	5 Blu 2 1 100% 5 Blu 2 1 100%	27.238813 43.412296
	5 Blg 2 1 100% 5 Blg 3 1 100%	5 B1u 2 1 100%	90.626274
1431.798921 4.90E-02	6 B1q 1 1 100%	5 B1u 1 1 100%	54.163342
	P 6 B1g 2 1 100% P 6 B1g 1 1 100%	5 B1u 1 1 100% 5 B1u 2 1 100%	101.616882 54.163342
	6 Blg 2 1 100%	5 B1u 2 1 100%	101.616882
	R 4 B2g 1 1 100%	5 B2u 1 1 100%	21.360997
	R 4 B2g 2 1 100% R 4 B2g 1 1 100%	5 B2u 1 1 100% 5 B2u 2 1 100%	53.846696 21.360997
	4 B2g 2 1 100%	5 B2u 2 1 100%	53.846696
	5 B2g 1 1 100%	5 B2u 1 1 100%	32.640577
	5 B2g 2 1 100% 5 B2g 1 1 100%	5 B2u 1 1 100% 5 B2u 2 1 100%	63.012117 32.640577
1443.034353 2.71E-02 (	5 в2g 2 1 100%	5 B2u 2 1 100%	63.012117
	5 B2g 2 1 100%	5 B2u 3 1 100%	63.012117
	5 B2g 3 1 100% 6 B2g 1 1 100%	5 B2u 3 1 100% 5 B2u 1 1 100%	126.130592 40.462177
1398.552144 6.80E-05	P 6 B2g 2 1 100%	5 B2u 1 1 100%	74.009169
	P 6 B2g 1 1 100% P 6 B2g 2 1 100%	5 B2u 2 1 100% 5 B2u 2 1 100%	40.462177 74.009169
	P 6 B2g 2 1 100%	5 B2u 3 1 100%	74.009169
1432.962133 1.12E-02 I	P 6 B2g 3 1 100%	5 в2u 3 1 100%	137.114969
	R 4 B3g 1 1 100% R 4 B3g 2 1 100%	5 B3u 1 1 100% 5 B3u 1 1 100%	23.089656 53.847510
	R 4 B3g 2 1 100%	5 B3u 2 1 100%	23.089656
1452.202578 2.59E-02 I	R 4 B3g 2 1 100%	5 в3u 2 1 100%	53.847510
	2 5 B3g 1 1 100% 2 5 B3g 2 1 100%	5 B3u 1 1 100% 5 B3u 1 1 100%	30.049788 63.008864
1476.000300 1.07E-07 (	5 B3q 1 1 100%	5 B3u 2 1 100%	30.049788
	5 B3g 2 1 100%	5 B3u 2 1 100%	63.008864
	5 B3g 2 1 100% 5 B3g 3 1 100%	5 B3u 3 1 100% 5 B3u 3 1 100%	63.008864 126.130592
1431.188216 5.81E-02	6 B3q 1 1 100%	5 B3u 1 1 100%	44.083814
	6 B3g 2 1 100%	5 B3u 1 1 100%	74.018906
	P 6 B3g 1 1 100% P 6 B3g 2 1 100%	5 B3u 2 1 100% 5 B3u 2 1 100%	44.083814 74.018906
1496.058196 2.06E-07	Р 6 в3g 2 1 100%	5 B3u 3 1 100%	74.018906
	6 B3g 3 1 100%	5 B3u 3 1 100%	137.114970
	R 5 A g 1 1 100% R 5 A g 2 1 100%	6 A u 1 1 100% 6 A u 1 1 100%	43.215913 90.626257
1501.869032 6.82E-06 I	8 5 A g 1 1 100%	6 A u 2 1 100%	43.215913
1454.458688 5.18E-02 I	S A g 2 1 100%	6 A u 2 1 100%	90.626257
1458.917443 1.47E-04 (1442.385667 2.48E-02 (1442.38567 2.48567 2.48E-02 (1442.38567 2.48567 2.48567 2.48567 2.48567 2.48567 2.48567 2.48567 2.48567 2.48567 2.48567 2.48567 2.48567 2.48567 2.48567	Q 6 A g 1 1 100% Q 6 A g 2 1 100%	6 A u 1 1 100% 6 A u 1 1 100%	38.020018 54.551794
1395.320491 1.14E-04 (	6 A g 3 1 100%	6 A u 1 1 100%	101.616970
1507.064927 1.71E-07 (1490.533151 7.18E-06 (1490.535151 7.18E-06 (		6 A u 2 1 100% 6 A u 2 1 100%	38.020018 54.551794
1490.333131 7.18E-00 (		6 A u 2 1 100%	101.616970
1444.595665 1.19E-01 (	6 A g 4 1 100%	6 A u 3 1 100%	180.489944
	7 A g 1 1 100% 7 A g 2 1 100%	6 A u 1 1 100% 6 A u 1 1 100%	66.920584 114.44448
1478.164361 2.30E-06	P 7 A g 1 1 100%	6 A u 2 1 100%	66.920584
1430.640497 7.62E-02 I	7 A g 2 1 100%	6 A u 2 1 100%	114.444448
	P 7 A g 3 1 100% R 5 B1g 1 1 100%	6 A u 3 1 100% 6 B1u 1 1 100%	193.302220 27.238813
1437.124113 1.68E-04 I	8 5 B1g 2 1 100%	6 B1u 1 1 100%	43.412296
	R 5 B1g 3 1 100% R 5 B1g 1 1 100%	6 Blu 1 1 100%	90.626274
	R 5 B1g 1 1 100% R 5 B1g 2 1 100%	6 B1u 2 1 100% 6 B1u 2 1 100%	27.238813 43.412296
1406.729741 5.76E-06 I	8 5 B1g 3 1 100%	6 B1u 2 1 100%	90.626274
	R 5 B1g 2 1 100% R 5 B1g 3 1 100%	6 B1u 3 1 100% 6 B1u 3 1 100%	43.412296 90.626274
1434.438772 2.22E-02 1 1426.373066 5.94E-04 0		6 Blu 1 1 100%	54.163342
1443.192673 1.01E-02 (	6 B1g 1 1 100%	6 B1u 2 1 100%	54.163342
1100 001 - 0 10 00	Q 6 B1g 2 1 100% Q 6 B1g 1 1 100%	6 B1u 2 1 100% 6 B1u 3 1 100%	101.616882 54.163342
1110 100105 0 00 00	6 B1g 2 1 100%	6 Blu 3 1 100%	101.616882
	6 Blg 3 1 100%	6 Blu 4 1 100%	180.489944
1430.014055 6.49E-02	7 B1g 1 1 100%	6 Blu 1 1 100%	50.522353

Suite Tab III-2-

Fréquences Inten		J" C" n	" #vib"	J C	n #vib	énergie inferieur
1412.928244 3.70E-04 1446.833662 1.41E-05	Ρ	7 B1q	2 1 100% 1 1 100%	6 B1u 6 B1u	2 1 100%	67.608164 50.522353
1429.747851 5.70E-02 1382.911242 7.38E-05		7 B1q	2 1 100% 3 1 100%	6 B1u 6 B1u	2 1 100%	67.608164 114.444773
1494.562693 3.44E-08		7 B1q	1 1 100%	6 B1u	3 1 100%	50.522353
1477.476883 9.38E-07 1430.640273 3.26E-02		7 B1g	3 1 100%	6 B1u 6 B1u	3 1 100%	67.608164 114.444773
1431.783388 8.68E-03 1454.124491 5.02E-02			4 1 100% 1 1 100%	6 B1u 6 B2u		193.302220 32.640577
1423.752951 2.54E-05	R	5 в2g	2 1 100%	6 B2u	1 1 100%	63.012117
1484.448990 9.92E-08 1454.077450 3.43E-02		5 в2g 5 в2g	1 1 100% 2 1 100%	6 B2u 6 B2u		32.640577 63.012117
1390.958974 1.07E-06	R	5 B2g	3 1 100%	6 B2u	2 1 100%	126.130592
1454.962103 1.02E-02 1446.302891 2.25E-03		5 в2g 6 в2g	3 1 100% 1 1 100%	6 B2u 6 B2u		126.130592 40.462177
1412.755899 1.27E-04 1476.627389 2.62E-07	Q	6 B2g	2 1 100% 1 1 100%	6 B2u 6 B2u	1 1 100%	74.009169 40.462177
1443.080397 2.16E-02	Q	6 B2g 6 B2g	2 1 100%	6 B2u	2 1 100%	74.009169
1507.083526 3.75E-06 1443.977726 4.40E-02		6 в2g 6 в2g	2 1 100% 3 1 100%	6 B2u 6 B2u	3 1 100%	74.009169 137.114969
1429.356519 6.49E-02	P	7 B2g	1 1 100%	6 B2u	1 1 100%	57.408550
1399.891060 1.29E-04 1459.681017 2.18E-08		7 B2g 7 B2g	2 1 100% 1 1 100%	6 B2u 6 B2u		86.874008 57.408550
1430.215558 4.54E-02	Ρ	7 B2g	2 1 100%	6 B2u	2 1 100%	86.874008
1494.218687 7.43E-07 1431.159530 1.99E-02		7 в2g 7 в2g	2 1 100% 3 1 100%	6 B2u 6 B2u		86.874008 149.933165
1452.926363 5.45E-02 1419.967287 1.79E-05	R	5 B3q	1 1 100%	6 B3u	1 1 100%	30.049788
1487.028950 1.55E-08	R	5 B3q	1 1 100%	6 B3u 6 B3u	2 1 100%	63.008864 30.049788
1454.069874 3.43E-02 1390.948145 1.07E-06		5 в3g 5 в3g	2 1 100% 3 1 100%	6 B3u 6 B3u		63.008864 126.130592
1454.962103 1.02E-02	R	5 B3q	3 1 100%	6 B3u	3 1 100%	126.130592
1438.892336 3.52E-03 1408.957244 8.99E-05		6 в3g 6 в3g	1 1 100% 2 1 100%	6 B3u 6 B3u		44.083814 74.018906
1472.994923 1.21E-08	Q	6 B3q	1 1 100%	6 B3u	2 1 100%	44.083814
1443.059831 2.16E-02 1507.073789 3.75E-06	Q	6 B3g	2 1 100% 2 1 100%	6 B3u 6 B3u	3 1 100%	74.018906 74.018906
1443.977725 4.40E-02 1430.384732 6.17E-02		6 в3g 7 в3g	3 1 100% 1 1 100%	6 B3u 6 B3u		137.114970 52.591418
1396.126401 9.19E-05	Ρ	7 B3q	2 1 100%	6 B3u	1 1 100%	86.849750
1464.487319 3.00E-07 1430.228988 4.54E-02		7 B3q	1 1 100% 2 1 100%	6 B3u 6 B3u		52.591418 86.849750
1494.242945 7.44E-07 1431.159532 1.99E-02		7 B3g	2 1 100% 3 1 100%	6 B3u 6 B3u	3 1 100%	86.849750 149.933163
1455.030837 1.42E-01	R	6 A g	1 1 100%	7 A u	1 1 100%	38.020018
1438.499061 5.83E-04 1391.433884 4.53E-07		6 A g 6 A g	2 1 100% 3 1 100%	7 A u 7 A u		54.551794 101.616970
1472.446088 1.22E-04	R	6 A g	1 1 100%	7 A u	2 1 100%	38.020018
1455.914312 1.16E-01 1408.849136 3.05E-05		6 A g 6 A g	2 1 100% 3 1 100%	7 A u 7 A u		54.551794 101.616970
1503.398242 9.45E-06 1456.333065 6.85E-02		6 A g	2 1 100% 3 1 100%	7 A u 7 A u	3 1 100%	54.551794 101.616970
1457.444486 1.82E-02	R	6 A g	4 1 100%	7 A u	4 1 100%	180.489944
1426.130271 1.95E-03 1443.545522 1.85E-02			1 1 100% 1 1 100%	7 A u 7 A u		66.920584 66.920584
1396.021658 1.89E-04	Q	7 A g	2 1 100%	7 A u	2 1 100%	114.44448
1491.029452 1.23E-05 1443.505588 6.37E-02		7 A g	1 1 100% 2 1 100%	7 A u 7 A u		66.920584 114.44448
1444.632210 9.69E-02 1428.331052 1.62E-01	Q	7 A g	3 1 100% 1 1 100%	7 A u 7 A u	4 1 100%	193.302220 64.719803
1410.450656 1.03E-03	Р	8 A g	2 1 100%	7 A u	1 1 100%	82.600199
1445.746303 3.39E-05 1427.865907 1.47E-01		8 A g 8 A g	1 1 100% 2 1 100%	7 A u 7 A u		64.719803 82.600199
1381.353868 2.32E-04	Р	8 A g	3 1 100%	7 A u	2 1 100%	129.112238
1493.230233 2.26E-07 1475.349837 3.96E-06	Ρ	8 A g	1 1 100% 2 1 100%	7 A u 7 A u	3 1 100%	64.719803 82.600199
1428.837798 9.13E-02 1508.822191 2.03E-06		8 A g	3 1 100% 3 1 100%	7 A u 7 A u	3 1 100%	129.112238 129.112238
1429.987025 3.60E-02	Р	8 A g	4 1 100%	7 A u	4 1 100%	207.947405
1455.562626 5.09E-02 1408.109087 1.30E-05			1 1 100% 2 1 100%	7 B1u 7 B1u		54.163342 101.616882
1503.786321 4.22E-06	R	6 B1g	1 1 100%	7 B1u	2 1 100%	54.163342
1456.332781 2.94E-02	R	6 B1g	2 1 100%	7 B1u	2 1 100%	101.616882

Suite Tab III-2-

Nous donnons -ci-dessous- des détails sur le spectre calculé :

- Nombre des transitions calculées 5400
- ▶ Première transition -> 1380.023905 3.94E-05 Q 7 B2g
- > Transition la plus intense -> 1425.013934 1.72E-01 P 10 A g
- Dernière transition -> 1509.981903 5.09E-07 P 13 B2q
- Nombre quantique rotationnel -> 0 40
- ➤ Intensité sommée -> 0.38E+02

#### III-5- Les niveaux d'énergies réduits

Les niveaux d'énergies réduits sont obtenus en utilisant la formule.

$$E_{red} = E - B_0 J (J + 1) + ...$$
 (III.1)

Avec: [21]

$$B_0 = 0.22312466580E + 01 \text{ cm}^{-1}$$
 (III.2)

La figure, ci-dessous, illustre le diagramme des niveaux d'énergie rovibrationnels de la bande  $\nu_{12}$  de la molécule  $^{12}C_2H_4$  pour la valeur de Jmax=39.

Ces niveaux sont réparties suivant trois branches P, Q, R, selon les règles de selection rovibrationnelles  $\Delta J = -1, 0, +1$  respectivement.

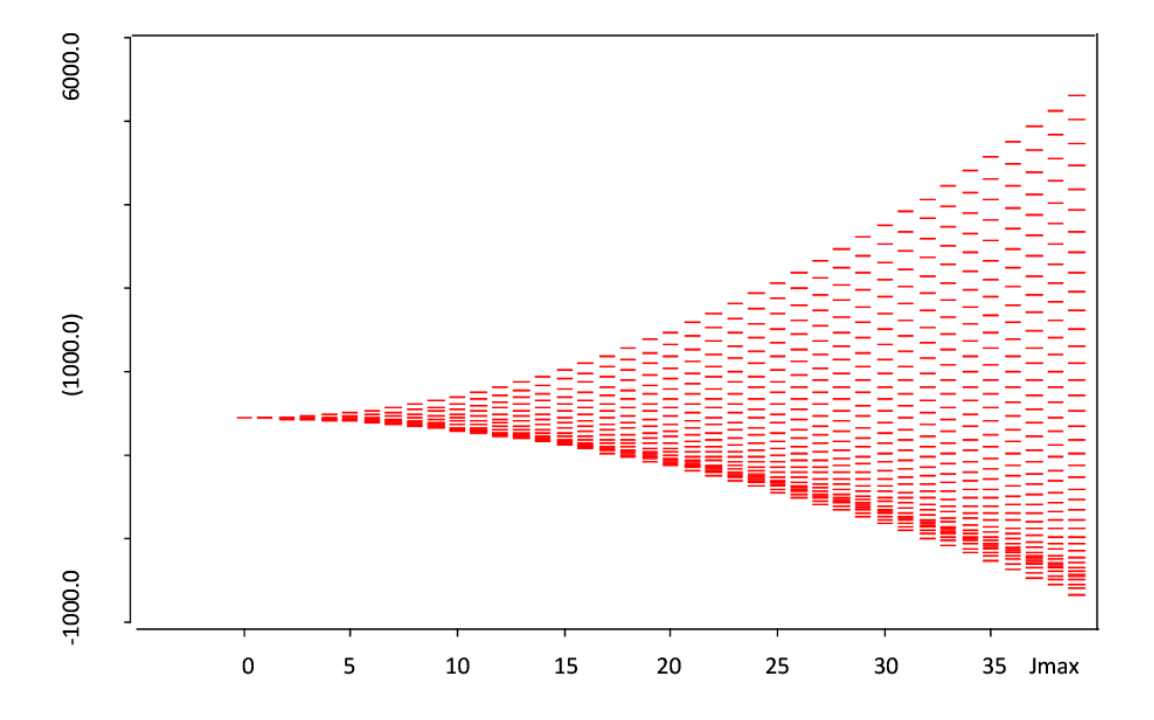
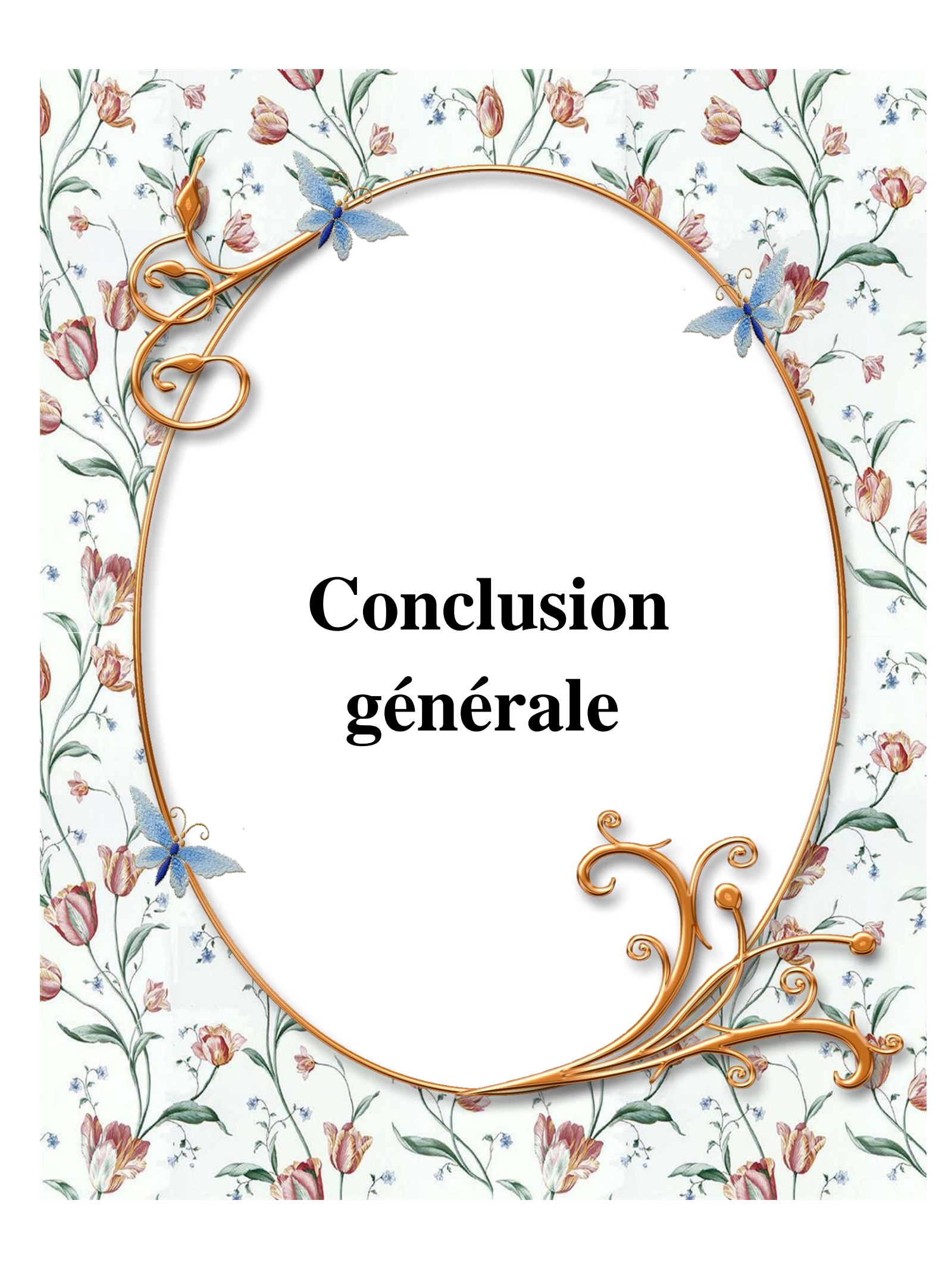


Fig III-5- Diagramme des niveaux d'énergie rovibrationnels de la bande  $\nu_{12}$  de la molécule  $^{12}C_2H_4$  pour la valeur de Jmax=39



## Conclusion générale

L'objectif de ce travail est de montrer comment on analyse n'importe quel spectre rovibrationnel d'une molécule  $X_2Y_4$ . Nous avons donné tout d'abord un aperçu général sur la notion de symétrie des molécules en question, puis le modèle théorique utilisé dans le développement de l'Hamiltonien. Pour bien montrer que tout ce qui a été présenté marche parfaitement, et comme application, nous donnerons les résultats préliminaires que nous avons obtenus lors d'une étude en cours d'une molécule importante dans l'effet de serre et qui est  $^{12}\text{C}_2\text{H}_4$ .

Dans ce travail, nous avons calculé et analyser les fréquences des raies rovibrationnelles de la bande  $\nu_{12}$  de la molécule  $^{12}\text{C}_2\text{H}_4$ , se trouvant dans la fenêtre 1380.023905 et 1509.981903 cm<sup>-1</sup>.

Le calcul et la prédiction de ce spectre pour une valeur de Jmax=39 et une intensité minimale 0.001 cm<sup>-2</sup>. atm<sup>-1</sup> a été faite grâce :

- au développement de l'Hamiltonien des molécules X<sub>2</sub>Y<sub>4</sub> à l'ordre choisi.
- A l'écriture de cette Hamiltonien comme une combinaison linéaire d'opérateur rovibrationnels  $T_{\{n_s\}\{m_s\}}^{\Omega(k,n\Gamma)\Gamma_r\Gamma_v}$ :

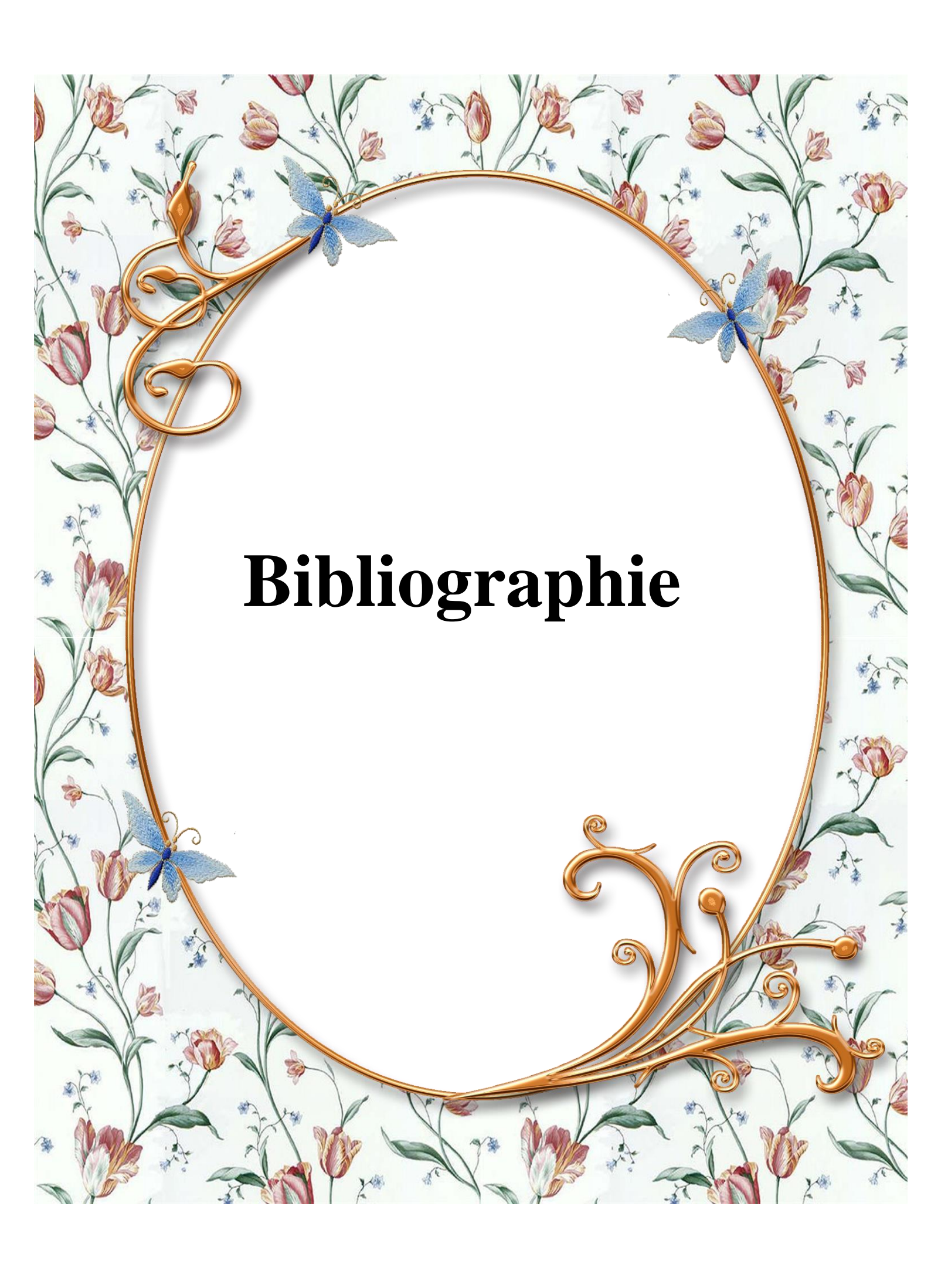
$$\mathbf{H} = \sum_{\substack{\text{tousles} \\ \text{indices}}} t \begin{array}{l} \frac{\Omega(k, n\Gamma)\Gamma_r \Gamma_v}{\{n_s\}\{m_s\}} \times \mathbf{T} \frac{\Omega(k, n\Gamma)\Gamma_r \Gamma_v}{\{n_s\}\{m_s\}} \end{array}$$

- A l'utilisation de l'ensemble de paramètres  $t \, {\Omega(k,n\Gamma) \Gamma_r \, \Gamma_v \over \{n_s\}\{m_s\}}$  .

Ces outils nous ont permis de calculer non seulement les raies observées mais aussi toutes les raies possibles avec un écart quadratique moyen de 3,334.  $10^{-3}$  cm<sup>-1</sup>.

Nous pouvons faire le calcul jusqu'à Jmax=199 et ceci grâce au fichier des G qui a été calculé au L.P.U.B (Dijon).

Comme perspectives, nous pouvons déterminer les valeurs des autres paramètres de l'Hamiltonien et les paramètres du moment dipolaire, si nous avons un spectre expérimental de la bande en question. Nous pouvons faire aussi une étude des ambiguïtés des paramètres de l'Hamiltonien.



# **Bibliographies**

- [1] D. S. Scholland, «La symétrie moléculaire » ; collection "Enseignement de Chimie" GOULLIER VILARS.
- [2] J.-P. Champion, M. Loête et G. Pierre, "Spectroscopy of the Earth's Atmosphere and Interstellar Medium" (K. N. Rao and A. Weber, Eds.), 339-422, Academic Press, San Diego, CA (1992).
- [3] N. Cheblal, M. Loête et V. Boudon, "Development of the Dipole Moment and Polarizability Operators of Octahedral Molecules", Journal of Molecular Spectroscopy 197, 222-231 (1999).
- [4] M. Rotger, V. Boudon and M. Loête, "Spectroscopy of XY5Z (C4v) Molecules: A Tensorial Formalism Adapted to the O (3)⊃Oh⊃C4v Chain", Journal of Molecular Spectroscopy 200, 123-130 (2000).
- [5] A. El Hilali, V. Boudon and M. Loête, "Spectroscopy of XY3Z (C3v) Molecules: A Tensorial Formalism Adapted to the O(3)  $\supset$  C $\infty$ v $\supset$  C3v Group Chain", J. Mol. Spectrosc. Article accepté (2005).
- [6] M. Rotger, V. Boudon et M. Lo¨ete, "Spectroscopy of XY2 Z2 (C2v) Molecules: A Tensorial For-malism Adapted to the  $O(3) \supset Td \supset C2v$  Chain. Application to the Ground State of SO2F2", J.Mol. Spectrosc. 216, 297-307, (2002).
- [7] Ch. Wenger et J.-P. Champion, "Spherical top data system (STDS) software for the simulation of spherical top spectra", J. Quant. Spectrosc. Radiat. ransfer 59, 471-480 (1998).
- [8] Ch. Wenger, V. Boudon, J.-P. Champion and G. Pierre, "Highly-spherical Top Data System (HTDS) software for spectrum simulation of octahedral XY6 molecules", J. Quant. Spectrosc. Radiat. Transfer 66, 1-16 (2000).
- [9] Ch. Wenger, M. Rotger et V. Boudon, "C4v Top Data System (C4v TDS) software for infrared spectrum simulation of XY5 Z symmetric molecules", J. Quant. Spectrosc. Radiat. Transfer 74,621-636 (2002).
- [10] Ch. Wenger, M. Rotger et V. Boudon, "C2v Top Data System (C2v TDS) software for infrared spectrum simulation of XY2Z2 asymmetric molecules: some improvements to the TDS packages", J. Quant. Spectrosc. Radiat. Transfer 93, 429-446 (2004).

- [11] T. L. Tan, S. Y. Lau, P. P. Ong, K. L. Goh et H. H. Teo, "High-Resolution Fourier Transform Infrared Spectrum of the v12 Fundamental Band of Ethylene (C2H4)", J. Mol. Spectrosc. 203,310-313 (2000).
- [12] T. L. Tan, K. L. Goh, P. P. Ong et H. H. Teo, "Analysis of the v12 Band of Ethylene-12 C2 by High-Resolution FTIR Spectroscopy", J. Mol. Spectrosc. 207, 189-192 (2001).
- [13] J.-P. Bouanich, G. Blanquet, J. Walrand et M. Lep'ere, "H2 -broadening in the v7 band of ethylene by diode-laser spectroscopy", J. Mol. Spectrosc. 218, 22-27. (2003).
- [14] J. Walrand, M. Lengel'e, G. Blanquet et M. Lep'ere, "Absolute line intensities determination in the v7 band of C2H4", Spectrochimica Acta Part A 59, 421-426 (2003).
- [15] M. Makri et C. G. Vayenas, "Successful scale up of gas recycle reactor-separators for the production of C2H4 from CH4", Applied Catalysis A 244, Issue 2, 301-310 (2003).
- [16] M. de Joannon, A. Ciajolo, R. Ragucci, A. Tregrossi et A. Cavaliere, "Spectroscopic behavior of oxygenated combustion by-products", Chemosphere 51, Volume 10, 1071-1077 (2003).
- [17] H. G. Roe, I. de Pater et C. P. McKay, "Seasonal variation of Titan's stratospheric ethylene (C2H4) observed", Icarus 169, 440-461 (2004).
- [18] R. J. Vervack Jr., B. R. Sandel et D. F. Strobel, "New perspectives on Titan's upper atmosphere from a reanalysis of the Voyager 1 UVS solar occultations", Icarus170,91-112(2004).
- [19] F. B. Abeles, "Ethylene in plant biology", Academic Press, New-York, (1973).
- [20] F. B. Abeles et H. E. Heggestad, "Ethylene: an urban air pollutant", J. Air Pollut. Control. Assoc. 23, 517-521 (1973).
- [21] T. Kostiuk, F. Espenak et M. J. Mumma, "Infrared studies of hydrocarbons on Jupiter", Infrared Phys. 29, 199-204 (1989).
- [22] T.Encrenaz, M. Combes, Y. Zeau, L. Vappillon et J. Berenze, "A tentative identification of C 2H4. In the spectrum of Saturn", Astron. Astrophys. 42, 355-356 (1975).
- [23] L. Betz, "Ethylene in IRC+10216", Astrophys. J. 244, L103-L105 (1981).
- [24] J. Cernicharo, A. M. Heras, J. R. Pardo, A. G. G. M. Tielens, M. Gu'elin, E. Dartois, R. Neri et L. B. F. M. Waters, "Methylpolyynes and small hydrocarbons in CRL618", Astrophys. J. 546, L127-L130 (2001).
- [25] M.-P. Coquard, Th'ese de Physique, Dijon (1994).
- [26] T. Tanaka, "Hamiltonian for a symmetric-top molecule in an electric field", J. Mol. Spectrosc.125, 258-273, (1987).

- [27] L. N. Gunderova et N. M. Posdeev, "The Stark effect in microwave spectra", Optika i Spektro- scopiya 29 (2), 250-258, (1970). [Opt. and Spectrosc. 29 (2), 132-135, (1970)].
- [28] Y. T. Chen et T. Oka, "Stark and Zeeman effects in ethylene observed by sub-Doppler infrared spectroscopy", J. Chem. Phys. 88 (9), 5282-5290 (1989).
- [29] A. V.nil Kumar, S. Yashonath, M. Sluiter et Y. Kawazoe, "Rotational motion of methane within the confines of zeolite NaCaA: Molecular dynamics and ab initio calculations", Phys. Rev. E 65,01120(2001).
- [30] J. Limtrakul, T. Nanok, S. Jungsuttiwong, P. Khongpracha et T. N. Truong, "Adsorption of unsaturated Hydrocarbons on zeolites; the effects of the zeolite framework on adsorption properties of ethylene", Chem. Phys. Lett. 349, 161-166 (2001).
- [31] G. Hu"bner, G. Rauhut, H. Stoll ET E. Roduner, "FTIR measurements and quantum chemical calculations of ethylene adsorbed on CuNaY", Phys. Chem. Chem. Phys. 4, 3112-3121 (2002).
- [32] V. Bernardet, A. Decrette, J. M. Simon, O. Bertrand, G. Weber ET J.-P. Bellat, "Experimental and simulated infrared spectroscopic studies of the interaction of ethylene on a MFI zeolite", Mol. Phys. 102, 1859-1870 (2004).
- [33] E. Cohen de Lara, R. Kahn ET R. Seloudoux, "Effect of an electric field on a methane molecule. I.Infrared analysis of methane (CH4CD4) adsorbed in NaA zeolite in the temperature range 15020. K", J. Chem. Phys. 83, 2646-2652 (1985).
- [34] R. Kahn, E. Cohen de Lara et K. D. Mo"ller, "Effect of an electric field on a methane molecule. II. Calculation of the degeneracy splitting of the v3 band. Expression of the second derivatives of the CH4 dipole moment and evaluation of the second derivative of the CH bond polarizability", J. Chem. Phys. 83, 2653-2660 (1985).
- [35] J. Soussen-Jacob, A. M. Goulay et E. Cohen de Lara, "Effect of an electric field on a methane molecule. I. Infrared analysis of methane adsorbed in CaA zeolite", Mol. Phys.76,1037-1047
- [36] E. Cohen de Lara, A. M. Goulay, J. Soussen-Jacob ET R. Kahn, "Effect of an electric field on a methane molecule. II. Infrared intensity of the components of the splitting of the v 3 vibrational mode", Mol. Phys. 76, 1049-1059 (1992).
- [37] E. Cohen de Lara, "Electric field effect on molecules: Relation between the orientation of the molecule with respect to the field and the vibrational frequency shift observed in IR spectra of molecules adsorbed in zeolites", Phys. Chem. Chem. Phys. 1, 501-505 (1999).

- [38] W. Raballand, M. Rotger, V. Boudon et M. Lo¨ete, "Spectroscopy of X2Y4 (D2h) molecules: ten-sorial formalism adapted to the O(3) ⊃ D2h chain, Hamiltonian and transition moment operators", J. Mol. Spectrosc. 217, 239-248, (2003).
- [39] Ch. Wenger, W. Raballand, M. Rotger et V. Boudon, "D2h top data system (D2h TDS) software for spectrum simulation of X2 Y4 asymmetric molecules", J. Quant. Spectrosc. Radiat. Transfer 95, 521-538 (2005).
- [40] Ch. Wenger, W. Raballand, M. Rotger et V. Boudon, "D2h top data system (D2h TDS) software: application to the Stark effect in X2 Y4 molecules", J. Quant. Spectrosc. Radiat. Transfer, article en pr´eparation (2005).
- [41] P. Barchwitz, « Spectroscopie atomique et moléculaire ». Edition Masson (1971)
- [42] M.MESKINE, thèse de magistère, Centre universitaire de Saida, (2006).
- [43] M.MESKINE, thèse de Doctorat, Université de Sidi Bel-abbés, (2015).
- [44] J.Moret-Bailly, "Interpretation of rotation-vibration spectra of molecules with tetrahedral or octahedral symmetry", cahiers dephysique 15,237(1961).
- [45] Wilfried.Ralland. Spectroscopie Rovibrationnelle et stark des molecules X2Y4 Application A'L'Ethylene atomique.physics. Universit de Bour-genger 2005 French
- [46] Ch. Wenger, V. Boudon, J-P. Champion and G. Pierre. *Journal of Quantitative Spectroscopy and Radiative Transfer*, 66:1–16, (2000).
- [47] C. M. Western and PGOPHER. A program for simulating rotational structure. *University of Bristol. Http://pgogher.chm.bris.ac.uk*.
- [48] C. Wenger and J-P. Champion. J. Mol. Spectrosc, 59:471–480, (1998).
- [49] J-P. Champion, M. Loete, and G. Pierre. *Spherical top spectra*. Spectroscopy of the Earth's Atmosphere and Interstellar Medium, Academic Press, San Diego, pp. 339-422, (1992).
- [50] V. Boudon, J-P. Champion, T. Gabard, M. Loete, F. Michelot, G.Pierre, M. Rotger, C. Wenger, and M. Rey. *J. Mol. Spectrosc*, 228:620–634, (2004).
- [51] A. Nikitin, J-P. Champion and V.G. Tyuterev. J. Mol. Spectrosc, 182:72–84, (1997).
- [52] A. Nikitin, J-P. Champion and V.G. Tyuterev. *J. Quant. Spectrosc. Radiat. Transfer*, 82:239–249, (2003).

#### Résumé

Ce spectre a été analysé à l'aide du logiciel DZhTD3, développé à Dijon, en France. Librement accessible à l'URL: http://www.u-bourgogne.fr/LPUB/shTD3.html.

<u>Mots clés</u>: Spectroscopie infrarouge, symétrie moléculaire, formalisme tensoriel, Hamiltonien, ELM, DZhTDS, XTDS.

#### **Abstract**

In this work, The Tensoriel formalism based on the notions of molecular symmetry is used in the calculation of the position lines of the  $\vartheta_{12}$  band of  $^{12}$   $C_zH_4$ ; we used a set of parameters determined in ICB Dijon at the order 8, for Jmax = 39 and with an R.M.S =  $3.334 \times 10^{-3}$  cm<sup>-1</sup>.

This spectrum was analysed using DZhTDS software, developed in Dijon, French. Freely accessible at the URL: <a href="http://www.u-bourgogne.fr/LPUB/shTDS.html">http://www.u-bourgogne.fr/LPUB/shTDS.html</a>.

<u>Key words</u>: Infrared spectroscopy, molecular symmetry, tensoriel formalism, Hamiltonian, RMS, DZhTDS, XTDS.

# ملخص

باستعمال نظرية الزمر التي تعتمد أساسا على خواص التناظر الجزيئي يمكننا أن نكون الشكل الممتد لمؤثر هاميلتون المتناظر كليا في الزمرة التي ينتمي إليها الجزيء ودلك بواسطة التجميع في نفس الزمرة. بإدخال جميع التأثيرات الممكنة إلى أي درجة تقريبية و من أجل أي عدد كمي دوراني ممكن 39 وعلى أساس المعطيات التجريبية يمكن أن نحدد مجموعة معاملات مؤثر هاميلتون أين يكمن دور الطريقة الرياضية التحليلية المناسبة ثم بواسطة تقطير مصفوفة هاميلتون نستطيع حساب و تنبؤ ككهتمك كل ترددات طيف الجزيئات 214 باستعمال البرنامج ككهتمكل

الكلمات المفتاحية: طيف الأشعة تحت الحمراء- التناظر الجزيئي - مؤثر هاميلتون -RMS, DZhTDS, XTDS